

# ความสามารถในการดูดซับและรายซับไอน้ำของโมเลกุลาร์ซีพ 3A และวัสดุจากห้องถังในกระบวนการผลิตเอทานอลไร้น้ำ

## Water Vapor Adsorption and Desorption Abilities of Molecular Sieve 3A and Local Materials in Anhydrous Ethanol Process

### คำนำ

ปัจจุบันปัญหาน้ำมันเชื้อเพลิงจากฟอสซิลที่กำลังจะหมดลงมีราคาแพงขึ้นมาก ทำให้มีความจำเป็นในการหาแหล่งพลังงานอื่นๆ มาทดแทนเชื้อเพลิงชนิดนี้ เอทานอลเป็นอีกทางเลือกหนึ่งซึ่งเป็นเชื้อเพลิงจากชีวภาพสามารถแปรรูปได้จากผลผลิตทางการเกษตร โดยใช้กระบวนการหมักพืชที่อุดมไปด้วยน้ำตาลหรือแป้งได้แก่ อ้อย มันสำปะหลัง ข้าวโพด เป็นต้น ซึ่งประเทศไทยมีศักยภาพสูงเนื่องจากมีแหล่งวัตถุดินทางการเกษตรที่อุดมสมบูรณ์ ปัจจุบันได้มีการนำเอาอุตสาหกรรมไร้น้ำ (ความเข้มข้นสูงกว่า 99.5 เปอร์เซ็นต์โดยน้ำหนัก) มาผสมกับน้ำมันเบนซินด้วยสัดส่วนผสมต่างๆ ซึ่งเรียกว่าแก๊สโซฮอล์มาใช้งานกันอย่างแพร่หลายและมีแนวโน้มจะเพิ่มสัดส่วนของเอทานอลในน้ำมันผสมให้มากขึ้นอีกในอนาคต (ศูนย์เทคโนโลยีโลหะและวัสดุแห่งชาติ (อีมเทค), 2547)

การผลิตเอทานอลไร้น้ำริ่มจากการหมัก (Fermentation) ซึ่งจะหมักพืชที่อุดมไปด้วยน้ำตาลหรือแป้งจนได้เอทานอลความเข้มข้น 8 ถึง 10 เปอร์เซ็นต์ โดยถูกจำกัดจากการหยุดการเจริญเติบโตของจุลินทรีย์ในน้ำหมัก จานวนจะผ่านเข้าสู่กระบวนการกรองล้วนจนได้เอทานอลความเข้มข้น 95.5 เปอร์เซ็นต์ โดยถูกจำกัดจากความเข้มข้นอะเซอโทรอน (Azeotropic concentration) ของสารละลายเอทานอลและน้ำ สำหรับการผลิตเอทานอลไร้น้ำจากเอทานอล 95.5 เปอร์เซ็นต์ ที่ใช้กันอยู่ ปัจจุบันมีกระบวนการให้เลือกใช้ 3 รูปแบบ รูปแบบแรกเป็นกระบวนการกรองล้วนโดยใช้สารชนิดที่สาม ซึ่งสารชนิดที่สามที่เคยนิยมใช้ในอดีตคือเยื่อไผ่ เช่นเยื่อไผ่ชีน แต่เป็นชีนมีความเป็นพิษสูงอีกทั้งเป็นสารก่อมะเร็ง ปัจจุบันจึงเปลี่ยนมาใช้ไคลโอโลเซกชันซึ่งมีความปลอดภัยกว่า (ธีรภัทร, 2547) ส่วนสารประเภทเกลือของสารประกอบ เช่นเกลือโพแทสเซียมอะซิเดตที่มีงานวิจัยที่นำมาใช้ในการผลิตเอทานอลไร้น้ำได้เช่นกัน (Ligero *et al.*, 2003) รูปแบบที่สองเป็นการใช้เมมเบรน ดังเช่นการทดลองโรงงานด้านแบบผลิตเอทานอลไร้น้ำที่ทำการทดลองโดยใช้เมมเบรนชนิด Hollow-fiber ทดลองหาอัตราการกรองซึ่งสัมพันธ์กับจำนวนหน่วยกรอง อุณหภูมิ และความดันที่ใช้พบว่าสามารถใช้แทนกระบวนการกรองล้วนแบบเดิมขณะที่ค่าใช้จ่ายต่ำกว่า (Tsuyumoto *et al.*, 1997)

ส่วนรูปแบบที่สามเป็นกระบวนการคุณภาพโดยใช้สารคุณภาพ ซึ่งสารคุณภาพที่นิยมใช้คือ โมเลกุลาร์ซีพ 3A เป็นสารซีโอล่าイト์สังเคราะห์ (Synthetic Zeolite) สำหรับการนำโมเลกุลาร์ซีพ 3A หรือ 4A มาใช้เป็นสารคุณภาพไอน้ำออกจากไอوضสมอ Ethanol และน้ำที่สภาวะสมดุลนั้น พบว่า ทำให้ได้ออกน้ำความเข้มข้นสูงกว่าความเข้มข้นอะซีโอล่าイト์ โดยการใช้โมเลกุลาร์ซีพ 3A มีแนวโน้มที่จะทำให้ออกน้ำของความเข้มข้นสูงกว่าการใช้โมเลกุลาร์ซีพ 4A (Banat *et al.*, 2000) นอกจากนี้ได้มีการทดสอบเบรี่ยนเพื่อการคุณภาพของซีโอล่าイト์ประเภทต่างๆ โดยทำการวัดพารามิเตอร์ในการคุณภาพ ไอกองสาร ไออกลูอินและเมธิลไออกเลกเซนที่สภาวะสมดุล ช่วงอุณหภูมิ 400 ถึง 700 เคลวิน โดยใช้ซีโอล่าイト์ A, X และ Y รวมทั้งดินขาว พบว่าซีโอล่าイト์ทุกประเภทมีการคุณภาพที่ดีที่อุณหภูมิสูงก็ต่อเมื่อใช้ก้าชตัวพาโนในโตรเจนด้วยอัตราการไหลดที่สูง (Alpay *et al.*, 1996) และได้มีการทำการทดลองคุณภาพไอน้ำจากไอوضสมของอทานอลและน้ำโดยป้อนอทานอลที่ความเข้มข้นอะซีโอล่าイト์ โดยใช้ซีโอล่าイト์ชนิด A ประเภทต่างๆ เป็นสารคุณภาพ พบว่า ซีโอล่าイト์ 4A จะมีความจุไอน้ำที่สูงกว่า ซีโอล่าイト์ 3A ส่วนซีโอล่าイト์ 5A และ 10A ไม่มีความเหมาะสมที่จะนำมาใช้เนื่องจากอุณหภูมิที่สูงนั้น ส่งผลให้มีการเพิ่มการคุณภาพอทานอล และอทานอลจะทำปฏิกิริยาเกิดผลผลิตข้างเคียงซึ่งไม่เป็นที่ต้องการ (Sowerby *et al.*, 1998) อีกทั้งมีการศึกษาการคุณภาพไอน้ำในเครื่องคุณภาพเบดนิ่งแบบเปลี่ยนแปลงความดันโดยใช้สารคุณภาพโมเลกุลาร์ 3A พบว่า สามารถนำมาใช้ผลิตอทานอลไรน้ำได้เมื่อใช้สภาวะที่เหมาะสมในการคุณภาพ (Carmo *et al.*, 2002) ส่วนแบบจำลองในการคุณภาพไอน้ำจากไอوضสมอทานอลและน้ำของซีโอล่าイト์และการบอนนาโนทิบบ์ (Carbon nanotube, CNT) ได้ถูกเสนอขึ้นซึ่งพบว่า ภายใต้อุณหภูมิ และความดันบรรยายกาศ ซีโอล่าイト์ประเภท MFI, MOR, CFI, และ DON สามารถคุณภาพไอน้ำออกจากการไอوضสมของอทานอล แต่ไอน้ำไม่สามารถถูกคุณภาพโดย CNT ประเภทต่างๆ ยกเว้น CNT55 (Lu *et al.*, 2007) สารคุณภาพประเภทถ่านกัมมันต์ (Activated carbon) มีความสามารถใช้แยกไอوضสมระหว่างอทานอลและน้ำ โดยใช้คุณสมบัติไฮโดรฟอฟิกของพื้นผิวคุณภาพซึ่งทำให้ไอน้ำมีการถ่ายซับออกจากรูพรุนของถ่านกัมมันต์ได้ดีกว่าไอกองอทานอล (Naono *et al.*, 1996) ในงานวิจัยเพื่อสังเคราะห์ซีโอล่าイト์ให้เป็นสารคุณภาพหรือใช้เป็นตัวเร่งปฏิกิริยา ได้มีความพยายามที่จะใช้วัสดุจากห้องถังถ่านจำพวกถ่านหิน (Fly ash) ที่เกิดจากกระบวนการเผาไฟมีถ่านหินเพื่อผลิตกระแสงไฟฟ้า และดินขาว (China clay) โดยเป็นวัสดุที่มีสารซิลิค้าและอะลูมินาซึ่งเป็นวัตถุดินสำคัญในการสังเคราะห์ซีโอล่าイト์เป็นองค์ประกอบในปริมาณที่สูง จากนั้นได้ทำการหาสภาวะที่เหมาะสมในการเกิดผลลัพธ์ซีโอล่าイト์ เช่น อัตราส่วนของซิลิคัต่ออะลูมินา การใช้สารโครงสร้าง อุณหภูมิ ความดัน และระยะเวลาในการตกผลึก ซึ่งพบว่าสามารถสังเคราะห์ซีโอล่าイト์ประเภท ZSM-5 และอื่นๆ ได้แต่ก็ยังมีประสิทธิผลที่ยังต่ำ และเมื่อนำไปทดสอบใช้งานจริงก็ยังมีประสิทธิภาพที่ต่ำ เนื่องจากสารเจือปนบางชนิด เช่น ออกไซด์ของเหล็ก จำกัดคุณภาพที่ยังคงอยู่ในโครงสร้างของซีโอล่าイト์ (ธีระพงษ์, 2542; นิรุตติ, 2546; Sarbak *et al.*, 2004; Steenbruggen *et al.*, 1998)

สำหรับการใช้วัสดุคุณภาพสัมภาระหัวเข็น ซีไอไลต์ ในอุตสาหกรรมน้ำที่ให้เกิดปัญหาในการกำจัดหลังจากหมุดอายุใช้งานซึ่งจะต้องใช้วิธีการฝังกลบในดิน จนน้ำวัสดุคุณภาพทางการเกษตร จึงเป็นทางเลือกที่น่าสนใจที่จะนำมาใช้ทดแทน เนื่องจากสามารถย่อยสลายได้ตามธรรมชาติ และมีราคาต่ำกว่าวัสดุคุณภาพที่ได้จากการสัมภาระหัว วัสดุทางการเกษตรหลายชนิดเช่น ฟางข้าว ชานอ้อย แป้งในเมล็ดข้าวโพด เป็นต้น มีความสามารถในการดูดซับไอน้ำออกจากไอของสารอินทรีย์ชนิดต่างๆ รวมทั้งไอของอุตสาหกรรมซึ่งทำให้ไอของอุตสาหกรรมมีความเข้มข้นสูงขึ้นมากกว่าความเข้มข้นที่จุดอะซิโอะโทรบ (Rahshrit *et al.*, 1993; Ladisch, 1997) วัสดุคุณภาพแป้งในเมล็ดข้าวโพดก็เป็นวัสดุคุณภาพอีกประเภทหนึ่งที่สามารถนำมาใช้ทดแทนซีไอไลต์ได้ เมื่อนำเมล็ดข้าวโพดมาใช้เป็นสารดูดความชื้นจากอากาศโดยใช้เครื่องดูดซับเบดนิ่งแบบเปลี่ยนความดัน พบว่าสามารถทำให้อากาศมีจุดน้ำค้างลดลงถึง -42 และ -69 องศาเซลเซียส เมื่อใช้เมล็ดข้าวโพดควบคุมด้วย 2.16 และ 0.978 มิลลิเมตร ตามลำดับ และเมื่อนำเมล็ดข้าวโพดไปผ่านกระบวนการปรับปรุงคุณภาพโดยทำปฏิกิริยากับอินไซม์อะไมเลส พบว่าเมื่อใช้ดูดซับความชื้นจากอากาศ ทำให้อากาศมีจุดน้ำค้างลดต่ำลงอีกถึง -56 และ -80 องศาเซลเซียส ตามลำดับ (Beery *et al.*, 1998) การทดลองดูดซับไอลอส ของอุตสาหกรรมและน้ำโดยใช้สารดูดซับเป็นเมล็ดข้าวโพดแห้งบดในเครื่องดูดซับเบดนิ่ง เพื่อหาเส้นทางการดูดซับไอน้ำที่ความสูงเบด และความเร็วไอลอสสม/o ของอุตสาหกรรมและน้ำ ที่ใช้ป้อนเข้าที่ค่าต่างๆ แล้วใช้ผลที่ได้นี้มาหาค่าพารามิเตอร์ในแบบจำลองทางคณิตศาสตร์ของคลินิกนีบอร์ก ซึ่งพบว่าสามารถนำมาใช้ในการทำนายความเข้มข้นอุตสาหกรรมที่ออกจากการเบดที่เวลาต่างๆ ได้ (Chang *et al.*, 2006)

ในงานวิจัยนี้ ทำการเปรียบเทียบความสามารถในการดูดซับและรายชับไอน้ำระหว่างสารดูดซับที่ใช้ในอุตสาหกรรมการผลิตอุตสาหกรรมไวน้ำชนิดโมเลกุลาร์ซีพ 3A กับวัสดุจากห้องถังถังชนิดต่างๆ 10 ชนิด คือ ดินขาวอบแห้ง ดินขาวเผาที่อุณหภูมิ 500 และ 1,200 องศาเซลเซียส ปูนซีเมนต์ เก้าออยถ่านหินผสมปูนซีเมนต์ ด้วยอัตราส่วน 1 ต่อ 1 และ 3 ต่อ 1 โดยปริมาตร เมล็ดข้าวโพดข้าวเหนียวเต้มเมล็ด เมล็ดข้าวโพดข้าวเหนียวผ่าซีก ฟางข้าว และชานอ้อย โดยใช้เครื่องดูดซับเบดนิ่งแบบเปลี่ยนแปลงความดัน (Pressure Swing Fixed Bed Adsorber) ซึ่งสารดูดซับแต่ละชนิดนั้นมีความสามารถในการดูดซับและการรายชับแตกต่างกันไป ถ้าสารดูดซับจากวัสดุห้องถังถังสามารถที่จะนำมาใช้ทดแทนสารดูดซับสัมภาระหัวที่ใช้ในอุตสาหกรรมได้แล้ว จะทำให้ลดค่าใช้จ่ายในการซื้อสารดูดซับสัมภาระหัวที่นำเข้ามาจากต่างประเทศซึ่งมีราคาแพงกว่ามากได้

## วัตถุประสงค์ของงานวิจัย

1. ทดสอบหาสมดุลการคุณภาพที่อุณหภูมิกที่ เส้นโถ้งการคุณภาพ และเส้นโถ้งการคายซับ ไอน้ำ ที่สภาวะต่างๆ ของสารคุณภาพที่ใช้ในอุตสาหกรรมผลิตอาหารออลไวร์น้ำชนิด โมเลกุลาร์ชีพ 3A ในเครื่องคุณภาพเบคนิ่งแบบเปลี่ยนแปลงความดัน

2. ทดสอบเส้นโถ้งการคุณภาพ ไอน้ำจากไอกลมอาหารออลและน้ำ ของวัสดุจากห้องถังถินชนิด ต่างๆ เปรียบเทียบกับ โมเลกุลาร์ชีพ 3A

3. ทดสอบหาสมดุลการคุณภาพที่อุณหภูมิกที่ เส้นโถ้งการคุณภาพ และเส้นโถ้งการคายซับ ไอน้ำของสารคุณภาพจากวัสดุห้องถังที่มีศักยภาพในการผลิตอาหารออลไวร์น้ำ โดยใช้สภาวะต่างๆ เช่นเดียวกับการทดสอบ โมเลกุลาร์ชีพ 3A ในเครื่องคุณภาพเบคนิ่งแบบเปลี่ยนแปลงความดัน

4. เปรียบเทียบความสามารถในการคุณภาพและคายซับ ไอน้ำ ของสารคุณภาพ โมเลกุลาร์ชีพ 3A กับวัสดุจากห้องถังที่มีศักยภาพใช้เป็นสารคุณภาพในการผลิตอาหารออลไวร์น้ำ

## ขอบเขตของงานวิจัย

1. จัดสร้างอุปกรณ์ที่ใช้ในการทดสอบสารคุณภาพในกระบวนการผลิตอาหารออลไวร์น้ำ

2. ทดสอบหาสมดุลการคุณภาพที่อุณหภูมิกที่ เส้นโถ้งการคุณภาพ และเส้นโถ้งการคายซับ ไอน้ำของสารคุณภาพที่ใช้ในอุตสาหกรรมผลิตอาหารออลไวร์น้ำชนิด โมเลกุลาร์ชีพ 3A โดยใช้สภาวะต่างๆ ดังนี้คือ

### การทดสอบสมดุลการคุณภาพ

- อัตราการป้อนอาหารออล 4.91 มิลลิลิตรต่อน้ำที่

- อุณหภูมิ 110 และ 130 องศาเซลเซียส

- ความเข้มข้นของอาหารออลที่สภาวะสมดุล 95 ถึง 99 เปอร์เซ็นต์

### การทดสอบหาเส้นโถ้งการคุณภาพ

- ความเข้มข้นของอาหารออลที่ป้อน 95.5 เปอร์เซ็นต์

- อัตราการป้อน 5.90, 7.86 และ 9.83 มิลลิลิตรต่อนาที
- อุณหภูมิ 110 และ 130 องศาเซลเซียส

#### การทดสอบหาเส้นโถกการคายซับ

- ป้อนอุ่นอลไวร์น้ำซึ่งมีความเข้มข้น 99.9 เปอร์เซ็นต์
- อัตราการป้อน 10, 20 และ 30 เปอร์เซนต์ของอัตราการป้อนสูงสุด(9.83 มิลลิลิตรต่อนาที)
- อุณหภูมิ 110 และ 130 องศาเซลเซียส
- ควบคุมความดันสูญญากาศในช่วง -0.4 ถึง -0.3 บาร์

3.ทดสอบหาเส้นโถกการคุณซับของสารคุณซับจากวัสดุท้องถิ่นประเภทต่างๆ คือ ดินขาว อบแห้ง ดินขาวเผาที่อุณหภูมิ 500 และ 1,200 องศาเซลเซียส ปูนซีเมนต์ เกลาอยถ่านหินผสมปูนซีเมนต์ ด้วยอัตราส่วน 1 ต่อ 1 และ 3 ต่อ 1 โดยปริมาตร เมล็ดข้าวโพดข้าวเหนียวเต็มเมล็ด เมล็ดข้าวโพดข้าวเหนียวผ่าซีก ฟางข้าว และ chan อ้อย โดยใช้สภาวะในการทดสอบเหมือนกับสภาวะที่ให้ความเข้มข้นอุ่นอลสูงสุดเมื่อใช้โนเกลกูลาร์ซีพ 3A เป็นสารคุณซับ

4.ทดสอบหาสมดุลการคุณซับที่อุณหภูมิกองที่ เส้นโถกการคุณซับ และเส้นโถกการคายซับ ไอน้ำของสารคุณซับจากวัสดุท้องถิ่นที่มีศักยภาพในการผลิตอุ่นอลไวร์น้ำ โดยใช้สภาวะต่างๆ เช่นเดียวกับการทดสอบโนเกลกูลาร์ซีพ 3A

## การตรวจเอกสาร

### ทฤษฎี

#### 1. ความหมายของการดูดซับ

เมื่อ โนมเลกุล หรืออะตอมของสารที่เป็นแก๊ส (หรือของเหลว) เกิดการสัมผัสแล้วถูกดูดซับโดยสารที่เป็นของแข็ง เราเรียกโนมเลกุลหรืออะตอมของสารที่เป็นแก๊สนี้ว่า “สารถูกดูดซับ” (adsorbate) ส่วนสารที่เป็นของแข็งจะเรียกว่า “สารดูดซับ” (adsorbent) ถ้าสารถูกดูดซับไม่ได้หยุดนิ่งอยู่ที่พื้นผิวสัมผัสเท่านั้นแต่มีการแพร่เข้าสู่ภายในของสารดูดซับแล้ว จะเรียกปรากฏการณ์ชั่นนี้ว่า “การดูดซึม” (absorption) ถ้าปรากฏการณ์การดูดซับและการดูดซึมเกิดขึ้นพร้อมกันจะเรียกว่า “sorption” หรือ “uptake”

ผู้ค้นพบปรากฏการณ์การดูดซับเป็นบุคคลแรก คือ Scheele ในปี ค.ศ. 1773 เขายังเป็นคนแรกที่ได้เขียนบันทึกปรากฏการณ์การดูดซับของแก๊สบนถ่านไม้ลงในจดหมายที่ส่งให้เพื่อน และในปี ค.ศ. 1882 ได้เริ่มมีการเขียนคำศัพท์ “การดูดซับ” (adsorption) ลงในสารานุกรม

ปริมาณการดูดซับ นิยามไว้ คือจำนวนโนมเลกุล (หรืออะตอม) หรือปริมาตรที่สภาวะมาตรฐาน หรือน้ำหนัก หรือมวลของสารถูกดูดซับต่อหนึ่งหน่วยพื้นที่ผิว หรือหนึ่งหน่วยมวลของสารดูดซับ และปริมาณการดูดซับที่สภาวะอิ่มตัวหมายถึงปริมาณของสารถูกดูดซับที่ถูกดูดซับบนพื้นผิวทั้งหมดของของแข็ง และสัดส่วนของการดูดซับ (coverage) หมายถึงสัดส่วนของปริมาณของสารถูกดูดซับที่ถูกดูดซับจริงต่อปริมาณของสารถูกดูดซับที่สภาวะอิ่มตัว (สมชัย, 2546)

#### 2. สารดูดซับในอุตสาหกรรม

สารดูดซับหลายชนิดในอุตสาหกรรมถูกพัฒนาขึ้นมาเพื่อใช้ในกระบวนการแยกต่างๆ กัน โดยทั่วไปจะเป็นเม็ดเล็กๆ มีรูปทรงกลม ทรงกระบอก หรือเป็นเกล็ด มีขนาดอยู่ในช่วง 0.1 ถึง 12 มิลลิเมตร ซึ่งสารดูดซับที่มีขนาดใหญ่จะถูกใช้ในเครื่องดูดซับเบดนิ่ง สารดูดซับเป็นสารที่มีโครงสร้างเป็นรูพรุนและขนาดของรูพรุนเล็กมากๆ มีปริมาตรของช่องว่างมากกว่า 50 เปอร์เซ็นต์ของปริมาตรรวม การดูดซับมักจะเกิดอยู่บนพื้นผิวชั้นแรกถึงแม้ว่าอาจจะเกิดกับชั้นลำดับต่อไป บ้าง การดูดซับเชิงกายภาพหรือการดูดซับวานเดอร์วัลส์ มักจะเกิดขึ้นระหว่างโนมเลกุลของสารถูก

คุณชับกับพื้นผิวภายในของสารคุณชับที่เป็นของแข็ง ซึ่งจะมีแรงยึดเหนี่ยวระหว่างโมเลกุลแบบอ่อนๆ ง่ายในการที่จะถ่ายชับออกมาในสภาวะที่เหมาะสม การคุณชับทั้งกระบวนการประกอบไปด้วยขั้นตอนอยู่ๆ หลายขั้นตอนเกิดขึ้นเป็นลำดับต่อเนื่องกันคือ เมื่อของผสมไหหล่อผ่านเบดของสารคุณชับ สารถูกคุณชับในของผสมจะแพร่เข้าสู่ผิวชับนอกของสารคุณชับ แล้วแพร่ต่อไปเข้าสู่ในรูปแบบไปยังพื้นผิวคุณชับภายในของสารคุณชับ แล้วจึงถูกคุณชับไว้ที่พื้นผิวคุณชับภายในรูปแบบนี้

สารคุณชับที่ใช้ในอุตสาหกรรมจะมีพื้นที่ผิวในการคุณชับ 100 ตารางเมตรมากกว่า 2000 ตารางเมตรต่อกิโลกรัม มีประเภทต่างๆ คือ

1. ถ่านกัมมันต์ (activated carbon) เป็นวัสดุที่มีโครงผลึกเล็กระดับไมโครอน สังเคราะห์ได้จากไม้นิคต่างๆ ถ่านหิน และอื่นๆ โดยใช้กระบวนการเปลี่ยนแปลงโครงสร้างจากการให้ความร้อน ซึ่งจะมีพื้นที่ผิวอยู่ในช่วง 300 ถึง 1,200 ตารางเมตรต่อกิโลกรัม เส้นผ่าศูนย์กลางของโพรงช่องว่างโดยเฉลี่ย 10 ถึง 60 อังสตออม มักจะใช้ในการคุณชับไอระเหยของสารอินทรีย์

2. ซิลิกาเจล (silica gel) ถูกสังเคราะห์ขึ้นจากปฏิกิริยาระหว่างสารละลายโซเดียมซิลิกาต์กับกรด แล้วนำไปอบแห้ง จะมีพื้นที่ผิวอยู่ในช่วง 600 ถึง 800 ตารางเมตรต่อกิโลกรัม เส้นผ่าศูนย์กลางของโพรงช่องว่างโดยเฉลี่ย 20 ถึง 50 อังสตออม มักจะใช้ในการคุณชับความชื้นจากอากาศและไอกองสารไฮโดรคาร์บอนชนิดต่างๆ

3. แอ็คทิเวตเตడอะลูมีนา (activated alumina) เป็นวัสดุที่เตรียมขึ้นจากการกระตุน hydrated aluminum oxide โดยใช้ความร้อนเพื่อกำจัดน้ำ จะมีพื้นที่ผิวอยู่ในช่วง 200 ถึง 500 ตารางเมตรต่อกิโลกรัม เส้นผ่าศูนย์กลางของโพรงช่องว่างโดยเฉลี่ย 20 ถึง 140 อังสตออม มักจะใช้ในการคุณชับความชื้นจากไออกไซด์ และของเหลวของสารไฮโดรคาร์บอนชนิดต่างๆ

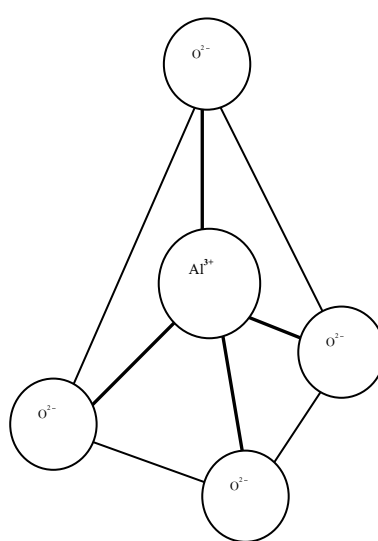
4. โพลีเมอร์สังเคราะห์ หรือเรซิโนน (synthetic polymer or resin) ถูกสังเคราะห์ขึ้นจากการกระบวนการโพลีเมอไรเซชันของโมโนเมอร์ตั้งแต่สองชนิดขึ้นไป ซึ่งมักจะเป็นสารอะโรมาติก เช่นเรซินทำจาก styrene และ divinylbenzene ถูกใช้ในการคุณชับไอกองสารอินทรีย์ที่ไม่มีข้าวจากสารละลายอินทรีย์ เรซินทำจาก acrylic esters ถูกใช้ในการคุณชับไอกองสารอินทรีย์ที่มีข้าวจากสารละลายอินทรีย์

5. โมเลกุลาร์ซีฟิโอໄโลட์ (molecular sieve zeolites) ซีโอลายต์เป็นสารคุณชับที่มีโพรงช่องว่างอันเกิดจากโครงสร้างผลึกของอะลูมิโนซิลิกะ ซึ่งโพรงช่องว่างเหล่านี้จะมีขนาดเส้นผ่าน

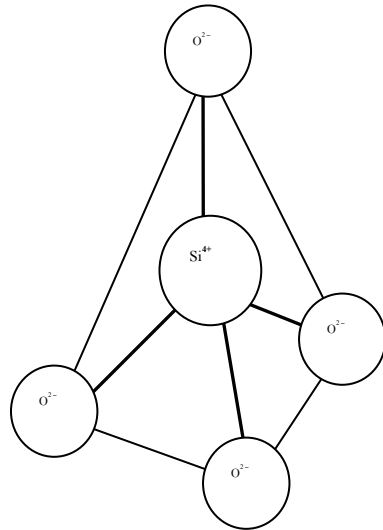
ศูนย์กลางค่อนข้างจะสม่ำเสมอ ซึ่งทำให้เกิดความแตกต่างอย่างชัดเจนจากสารดูดซับประเภทอื่นๆ ซึ่งจะมีช่วงขนาดเด่นผ่านศูนย์กลางแตกต่างกันมาก ซีโอໄไลต์ประเภทต่างๆ จะมีขนาดเด่นผ่านศูนย์กลางโพรงของว่างประมาณ 3 ถึง 10 อังสตอม ซีโอໄไลต์ถูกประยุกต์ใช้งานในกระบวนการแยกหลายกระบวนการ รวมทั้งใช้ทำตัวเร่งปฏิกิริยาเคมีต่างๆ ด้วย (Geankoplis, 2003)

### 3. ซีโอໄไลต์

ซีโอໄไลต์ (Zeolite) เป็นสารประกอบอะลูมิโนซิลิเกตที่มีรูปผลึกหลาดแบบ มีทั้งเกิดขึ้นเองตามธรรมชาติ และเกิดจากการสังเคราะห์ขึ้น ซีโอໄไลต์ประกอบด้วยโครงสร้างอะลูมินา  $[AlO_4]^{5-}$  และซิลิเกต  $[SiO_4]^{4-}$  ซึ่งรวมตัวกันเรียกว่า สารประกอบอะลูมิโนซิลิเกต หรือ อะลูมินาซิลิกา โดยโครงสร้างอะลูมินา และซิลิเกตเป็นแบบเตตราระฮีดรอน ดังแสดงในภาพที่ 1



(ก) โครงสร้างของอะลูมินา



(ข) โครงสร้างของซิลิเกต

ภาพที่ 1 โครงสร้างแบบเตตราระฮีดรอนของสารประกอบอะลูมิโนซิลิเกต

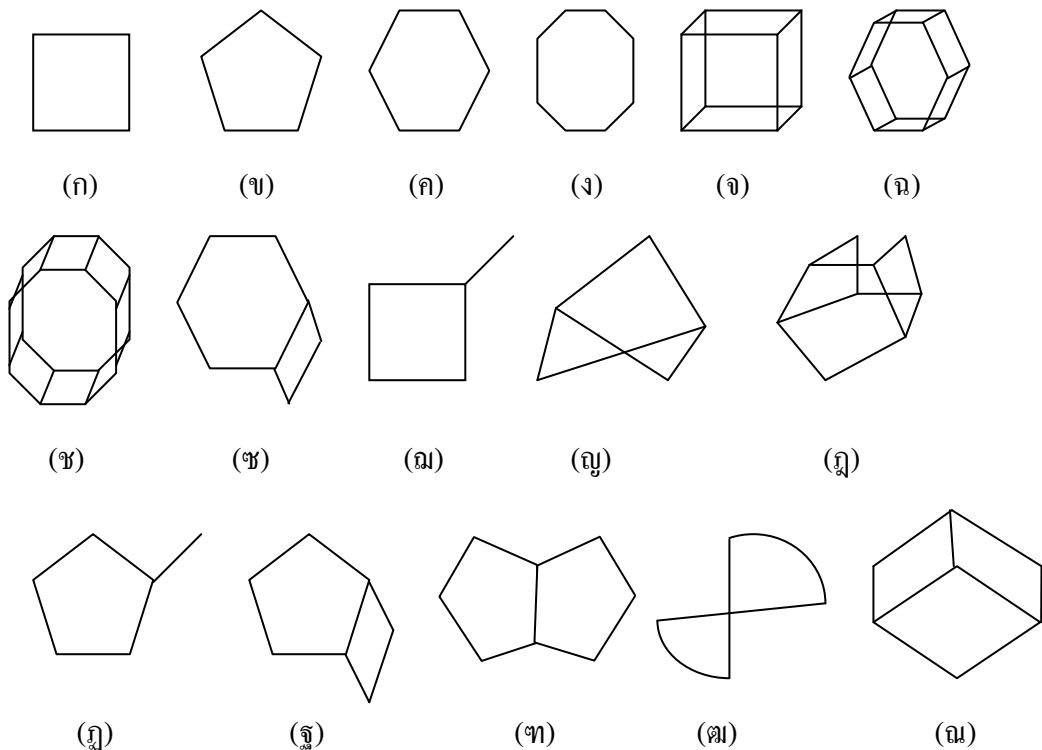
โครงสร้างของอะลูมินาและซิลิเกตถูกเชื่อมโยงเข้าด้วยกันโดยใช้ออกซิเจน ซึ่งเป็นอะตอนอยู่ตรงมุมของโครงสร้างเตตราระฮีดรอน ทำให้เกิดเป็นซีโอໄไลต์ที่มีลักษณะเป็นโพรง ซึ่งโพรงดังกล่าวเป็นส่วนที่ทำให้ไมเลกูลของน้ำ และสารประกอบหลายชนิดสามารถเข้าไปเกะติดบนพื้นผิวของโพรง ความสามารถของซีโอໄไลต์ในการดูดซับไมเลกูลของน้ำทำให้ซีโอໄไลต์ถูกนำไปใช้เป็นสารดูดความชื้น (desiccating agent)

ซีโอໄලດ์เป็นชื่อที่มาจากศัพท์ภาษากรีก ซึ่งแปลว่าหินเดือด (boiling stone) หรือมาจากคำว่า Zeo (to boil) รวมกับคำว่า lithose (stone) สาเหตุเนื่องจากหาน้ำเอาซีโอໄලດ์ซึ่งเกิดในธรรมชาติ ที่มีความชื้นสูงๆ เผาด้วยความร้อน พบว่าซีโอໄලດ์สามารถเดือดได้ ซึ่งเป็นการเดือดของน้ำที่ถูกดูดซับอยู่บนผิวของซีโอໄලດ์ จึงสมมอนว่าซีโอໄලດ์เป็นของแข็งที่สามารถเดือดได้ ดังนั้น ในสมัยก่อนจึงเรียกหินเดือดว่า “ซีโอໄලດ์” อย่างไรก็ตาม การให้ความร้อนแก่ซีโอໄලດ์ที่ดูดซับน้ำไว้ในโพรงเป็นการไม่น้ออกที่สามารถทำได้ง่าย ส่วนซีโอໄලດ์ที่เกิดจากการสังเคราะห์มีด้วยกันมากหลายชนิดซึ่งเป็นอยู่กับผลึกของอะลูมิโนซิลิเกตมีไออกอนประกอน (counter part) เป็นชนิดใด สำหรับซีโอໄලດ์สังเคราะห์ซึ่งเป็นที่รู้จักกันดีได้แก่ ซีโอໄලດ์ A ซึ่งมีประโยชน์โดยการนำไปใช้เป็นตัวกรองระดับโมเลกุล หรือโมเลกุลาร์ซีพ (molecular sieve) โดยการคัดเลือกขนาดของโพรงที่ใกล้เคียงกันของซีโอໄලດ์ที่สังเคราะห์ขึ้น โดยมีชื่อว่า ซีโอໄලດ์ 3A, 4A และ 5A ซึ่งมีขนาดเฉลี่ยของโพรงซีโอໄලດ์ A ที่แตกต่างกัน

### 3.1 โครงสร้างของซีโอໄලດ์

เท่าที่มีการสำรวจคืนคว้าพบโครงสร้างของซีโอໄලດ์ที่เกิดขึ้นตามธรรมชาติจำนวน 39 ชนิด ซีโอໄලດ์ที่ได้จากการสังเคราะห์ขึ้นอีกกว่า 100 ชนิด ซึ่งไม่รวมถึงซีโอໄලດ์ที่ยังไม่ทราบโครงสร้างที่แน่นอนอีกเป็นจำนวนมาก แต่อย่างไรก็ตามในการอุดสาหกรรมนิยมใช้ซีโอໄලດ์ที่ได้จากการสังเคราะห์มากกว่าซีโอໄලດ์จากธรรมชาติ

การเกิดโครงสร้างของสารประกอบอะลูมิโนซิลิเกต เป็นการต่อกันของโครงสร้างแบบเตตระэดرون ซึ่งสามารถต่อให้เป็นแบบโครงสร้างพื้นฐานแบบต่างๆ ได้ 16 แบบ ซึ่งเรียกว่าหน่วยประกอบลำดับที่สอง (secondary building units : sbus) หรือเรียกว่า เอสบีสู (sbu) ดังแสดงในภาพที่ 2



**ภาพที่ 2** โครงสร้างโดยหน่วยอะบีบิ และชื่อย่อของแต่ละโครงสร้าง (η) single four ring, S4R  
(ω) single five ring, S5R (η) single six ring, S6R (η) single eight ring, S8R  
(η) double four ring, D4R (ω) double six ring, D6R (ω) double eight ring, D8R  
(η) โครงสร้างเชิงซ้อน 6-2 (ω) โครงสร้างเชิงซ้อน 4-1 (η) โครงสร้างเชิงซ้อน 4=1  
(η) โครงสร้างเชิงซ้อน 4-4=1 (ω) โครงสร้างเชิงซ้อน 5-1 (η) โครงสร้างเชิงซ้อน 5-2  
(η) โครงสร้างเชิงซ้อน 5-3 (ω) โครงสร้างสไปโร 5 (η) โครงสร้างเชิงซ้อน 6=1

### 3.2 การจำแนกประเภทของซีโอลิตโดยหน่วยอะบีบิ

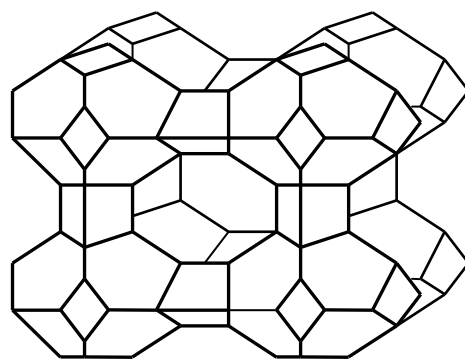
โครงสร้างของซีโอลิตอาจแบ่งได้หลายลักษณะตามพื้นฐานของหน่วยอะบีบิ ได้แก่  
(1) ชนิดหน่วยอะบีบิ (2) ชนิดโครงสร้างตามแบบของ IUPAC (3) โดยชื่อน้ำหน้าของซีโอลิต  
(4) ชนิดของยูนิตเซลล์ ซึ่งการแบ่งประเภทของซีโอลิตตามลักษณะโครงสร้างโดยใช้พื้นฐานชนิด  
วงแหวนเดียว วงแหวนคู่ และ โครงสร้างเชิงซ้อน ได้แสดงในตารางที่ 1

**ตารางที่ 1 โครงสร้างของซีโอลิตโดยใช้พื้นฐานของหน่วยอสบีญ**

ชนิดหน่วยอสบีญ	ชนิดโครงสร้าง	ชื่อซีโอลิต	สูตรยูนิตเซลล์
<b>ชนิดวางแผนเดี่ยว</b>			
S4A	ANA	Analcime	$\text{Na}_{16}\text{Al}_{16}\text{Si}_{32}\text{O}_{96}10\text{H}_2\text{O}$
	ANA	Wairakite	$\text{Ca}_8\text{Al}_{16}\text{Si}_{32}\text{O}_{96}16\text{H}_2\text{O}$
	GIS	Amicite	$\text{K}_4\text{Na}_4\text{Al}_8\text{Si}_8\text{O}_{32}10\text{H}_2\text{O}$
	GIS	Zeolite NaP-1	$\text{Na}_6\text{Al}_6\text{Si}_{10}\text{O}_{32}12\text{H}_2\text{O}$
S6R	CAN	Cancrinite	$\text{Na}_6\text{Al}_6\text{Si}_6\text{O}_{24}8\text{H}_2\text{O}$
	SOD	Sodalite	$\text{Na}_6\text{Al}_6\text{Si}_6\text{O}_{24}8\text{H}_2\text{O}$
<b>ชนิดวางแผนคู่</b>			
D4R	LTA	Zeolite A	$\text{Na}_{12}\text{Al}_{12}\text{Si}_{12}\text{O}_{48}27\text{H}_2\text{O}$
D6R	FAU	Faujasite	$\text{Na}_{12}\text{Ca}_{12}\text{Mg}_{11}\text{Al}_{58}\text{Si}_{134}\text{O}_{384}235\text{H}_2\text{O}$
	FAU	Zeolite X	$\text{Na}_{88}\text{Al}_{88}\text{Si}_{104}\text{O}_{384}220\text{H}_2\text{O}$
<b>ชนิดโครงสร้างเชิงซ้อน</b>			
4-1	NAT	Mesolite	$\text{Na}_{16}\text{Ca}_{16}\text{Al}_{48}\text{Si}_{72}\text{O}_{240}64\text{H}_2\text{O}$
	THO	Thomsonite	$\text{Na}_4\text{Ca}_8\text{Al}_{20}\text{Si}_{20}\text{O}_{80}24\text{H}_2\text{O}$
5-1	MFI	Zeolite ZSM-5	$\text{Na}_n\text{Al}_n\text{Si}_{96-n}\text{O}_{192}16\text{H}_2\text{O}$ ( $n=3$ )
	MOR	Mordenite	$\text{Na}_8\text{Al}_8\text{Si}_{40}\text{O}_{96}24\text{H}_2\text{O}$
4-1-1	BRE	Brewsterite	$\text{Sr}_2\text{Al}_4\text{Si}_{12}\text{O}_{32}10\text{H}_2\text{O}$
	STI	Stellerite	$\text{Ca}_4\text{Al}_8\text{Si}_{28}\text{O}_{72}28\text{H}_2\text{O}$

### 3.3 รูปทรงทางเรขาคณิตของซีโอลิต A

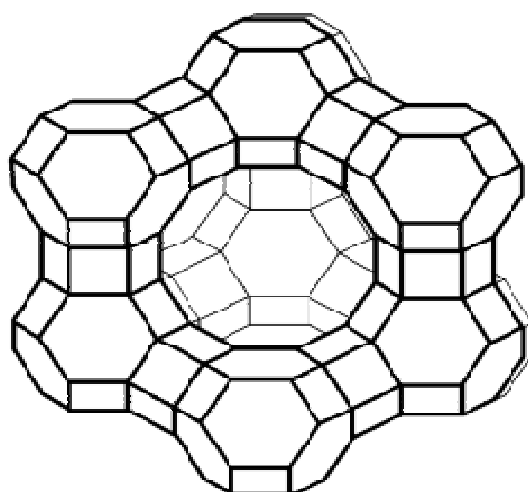
ซีโอลิต A ประกอบขึ้นด้วยหน่วยโซดาไลต์ ซึ่งหน่วยโซดาไลต์นี้จะประกอบเป็นโครงสร้างรูปสี่เหลี่ยมจัตุรัสที่เรียกว่าคิวโนบอออกตะไฮดรอน ดังแสดงในภาพที่ 3



ภาพที่ 3 ซีโอลิต์ A ที่มีโครงสร้างเป็นกรงโซดาไลต์

#### 3.4 รูปทรงทางเรขาคณิตของซีโอลิต์ X และ Y

ซีโอลิต์สังเคราะห์ประเภท ซีโอลิต์ X และ Y เป็นโครงสร้างที่เหมือนกับโครงสร้างที่มีในธรรมชาติซึ่งเรียกว่า ไฟเยไซต์ (faujasite) ดังนั้นการสังเคราะห์ซีโอลิต์ X และ Y จึงถูกกำหนดให้เป็นโครงสร้างแบบไฟเยไซต์ ดังแสดงในภาพที่ 4 โดยโครงซีโอลิต์ X และ Y มีลักษณะเป็นวงแหวน 12 เหลี่ยม โดยมีเส้นผ่านศูนย์กลาง 11.8 อังสตอม



ภาพที่ 4 โครงสร้างของซีโอลิต์ X

ขนาดที่เป็นมิติของโครงสร้างซีโอໄไลต์ที่พบโดยทั่วไปนั้นมีค่าต่างๆ กัน ดังแสดงเป็นตัวอย่างในตารางที่ 2

ตารางที่ 2 ค่ามิติของโครงสร้างซีโอໄไลต์ที่พบโดยทั่วไป

ซีโอໄไลต์	จำนวนช่อง	ขนาดของช่อง	ปริมาตร (Å)	ปริมาตร (มล./ก.)	แบบและขนาด	
					กรงเบต้าเส้นผ่านศูนย์กลาง	6.6 Å
Zeolite A	6	2.3	0.47	กรงอัลฟ่าเส้นผ่านศูนย์กลาง	11.4 Å	-
	8	4.5	-	กรงอัลฟ่าเส้นผ่านศูนย์กลาง	11.8 Å	-
Zeolite X	6	2.3	0.53	กรงอัลฟ่าเส้นผ่านศูนย์กลาง	6.6 Å	-
	12	7.8	-	-	-	-
Zeolite L	12	7.1	0.28	-	-	-
Mordenite	12	6.7 x 7.0	0.26	-	-	-
	8	2.8 x 5.7	-	-	-	-
ZSM-5	10	5.6 x 5.4	0.32	-	-	-

ที่มา: วิทยา (2547)

#### 4. วัสดุจากห้องถังที่สามารถนำมาใช้เป็นสารรุดชับ

##### 4.1 ดินขาว

ดินขาว (Kaolin) ซึ่งมีรากศัพท์มาจากภาษาจีนว่า เกาเลียง (Kao Liang) เป็นชื่อของภูเขาที่มียอดแหลม (High Ridge) บางทีนิยมเรียกว่า China-Clay เพื่อเป็นเกียรติแก่ประเทศจีน ซึ่งเป็นผู้ที่นำดินขาวมาใช้เป็นประเทศแรก

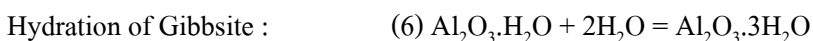
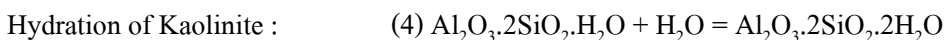
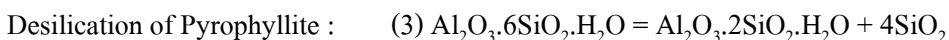
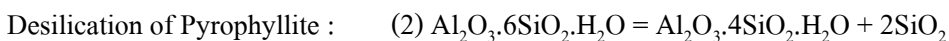
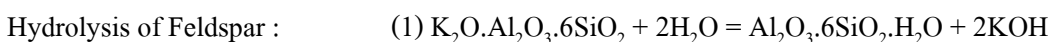
ดินขาว เป็นดินที่เกิดจากแร่อะลูมิโนซิลิเกต (Aluminosilicates) ที่เป็นโครงสร้างของหินชนิดต่างๆ เช่น หินฟินม้า (Feldspar) ไมกา (Mica) หินควอร์ตซ์ (Quartz) หินปูน (Lime stone) ฯลฯ ดินขาวมักจะเกิดบนที่ราบสูงทั่วไป บางแห่งอาจพบใกล้แหล่งน้ำในที่ราบลุ่ม เนื่องจากการพัดพาของกระแสน้ำ ทำให้มีสีขาวหม่นคลุกเคละเป็นสีเทาบ้าง สีเหลืองอ่อนบ้าง เนื่องจากมีสิ่งปนเปื้อนต่างๆ ได้แก่ แคลเซียม (Calcium) แมกนีเซียม (Magnesium) โซเดียม (Sodium) และ

โพแทสเซียม(Potassium) ซึ่งทำให้ความบริสุทธิ์ของดินขาวน้อยลง การใช้กล่องจุลทรรศน์ที่มีกำลังขยายสูง หรือเครื่องวิเคราะห์เอกซ์เรย์ จะพบว่าเม็ดดินขาวมีลักษณะเป็นผลึกแผ่นสีเหลือง ข้นมเปียกปูน หรือแห้งหากเหลือง

ดินขาวที่พบในประเทศไทย มี 2 ชนิด ซึ่งจำแนกความแตกต่างตามสารประกอบทางเคมีที่มีอยู่คู่ประกอบหลักดังนี้

### 1. ดินขาวที่มีองค์ประกอบของสารอะลูมิโนซิลิกेट

ดินขาวที่มีสารประกอบของอะลูมิโนซิลิกेट เกิดจากการแปรสภาพของหินแกรนิตที่ผุพังโดยบรรยายกาศและสภาพแวดล้อมอื่นๆ จนกลายเป็นดินขาวอยู่ในแหล่งเดิม กระบวนการเกิดดินขาวชนิดนี้ มีขั้นตอนของปฏิกริยาต่างๆ ดังนี้



จากกระบวนการข้างต้น ทำให้ดินขาวชนิดนี้ มีสารประกอบที่เจือปนหลายชนิด ได้แก่ Alumina, Silica, Iron oxide, Calcium oxide, Magnesium oxide, Sodium oxide และ Potassium oxide ที่ยังไม่เปลี่ยนแปลงสภาพโดยสมบูรณ์ เมื่อนำมาถังจึงปรากฏถึงตกลค้างบนตะแกรงที่มีเม็ดหินบางแหล่งจะพบว่าเป็นเม็ดหิน หรือเม็ดทรายอย่างชัดเจน

ดินขาวที่มีสารประกอบของอะลูมิโนซิลิกेट ดังแสดงในภาพที่ 5 เมื่อนำมาทดสอบกับน้ำ จะมีความเหนียวสามารถขึ้นรูปทรงได้ และเมื่อนำมาเผาถึงอุณหภูมิตั้งแต่ 800 องศาเซลเซียสขึ้นไป จะแข็งตัวคงรูปอยู่ได้ ไม่แตกยุบสามารถนำมาทดสอบกับวัตถุดินอื่นๆ เพื่อเป็นเนื้อดินปั้น (Bodies) หรือทดสอบน้ำเคลือบได้ดี ส่วนการตรวจสอบดินขาวที่มีสารประกอบของอะลูมิโนซิลิกेट โดยใส่หลอดทดลองแล้วเติมโคบล็อกต์ในเตรต ( $CoNO_3$ ) ลงไปเล็กน้อย เพื่อให้เกิดความชื้น แล้วนำไปเผาด้วยตะเกียงและก่อออดจะปรากฏสีน้ำเงินขึ้น



ภาพที่ 5 ลักษณะของดินขาวที่มีสารประกอบของอะลูมิโนซิลิเกต

## 2. ดินขาวที่มีสารประกอบของแคลเซียมคาร์บอเนต

ดินขาวที่มีสารประกอบของแคลเซียมคาร์บอเนต เกิดจากการแปรสภาพของหินปูนที่ผุพังโดยบรรยายกาศ และสภาวะแวดล้อมอื่นๆ จนกลายเป็นดินขาว ดินขาวชนิดนี้สามารถนำมาทำเป็นผัดหน้า ที่เรียกว่า “ดินสอพอง (Marl)” ทำปูຍใส่ต้นไม้เพราเมชชาตุโพแทสเซียมและโซเดียมเจือปน ลักษณะของดินขาวที่มีสารประกอบของแคลเซียมคาร์บอเนต ดังแสดงในภาพที่ 6 การตรวจสอบดินขาวที่มีสารประกอบของแคลเซียมคาร์บอเนต ทำโดยการหยดกรดเกลือเข้าขั้นลงไปจะเกิดฟองก๊าซอย่างรุนแรงเนื่องจากกรดเข้าไปทำปฏิกิริยากับแคลเซียมคาร์บอเนตและทำให้เกิดเป็นก๊าซคาร์บอนไดออกไซด์ ดังปฏิกิริยาที่ได้แสดงในสมการที่ (1)



ภาพที่ 6 ลักษณะของดินขาวที่มีสารประกอบของแคลเซียมคาร์บอเนต

#### 4.1.1 แหล่งดินขาวในประเทศไทย

แหล่งดินขาวที่มีสารประกอบของอะลูมิโนซิลิกะ ที่พบริเวณแหล่งใหญ่ ได้แก่

##### 1. แหล่งดินขาวอ้าเกอเจี้ยห์ม จังหวัดลำปาง

ดินขาวแหล่งนี้พบที่เขาปางค่า หรือเรียกชื่อตามพื้นบ้านว่า “ม่อนดินขาว” หรือ “ม่อนตีพิน” ที่เรียกชื่อนี้ เนื่องมาจากเป็นแหล่งที่มีดินขาวเกิดปะปนอยู่กับหินที่ผุพัง และมีหินดินดานค่อนข้างแข็งแกร่ง ชาวบ้านแอบนั่งทำหินดินดานมาใช้ทำหินลับมีด ดินขาวแหล่งนี้เกิดจากการผุพัง การสลายตัวของหินฟันม้า ที่แปรสภาพมาจากหิน Liperite จึงทำให้มีปริมาณของหินแข็งปะปนอยู่มาก ดินขาวที่เกิดในแหล่งนี้จะเกิดการสะสมตัวอยู่บนไหล่เขารอบบัน ความหนาไม่เกิน 5 เมตร และมีผิวดินปกปิดรอบบันหนาประมาณ 0.5 เมตร ดินขาวนี้มีสีและลักษณะที่แตกต่างกัน คุณลักษณะของดินขาวแหล่งนี้มีลักษณะเป็นก้อนแข็ง เวลาล้างจะตัวดี เนื้อดินที่ล้างได้ประมาณ 34-68 เปอร์เซ็นต์ สีของดินมีสีขาวเหลืองถึงสีเทาอ่อน ในช่วงอุณหภูมิ 800-1,300 องศาเซลเซียส มีการหดตัว 3.4-12.0 เปอร์เซ็นต์ และการดูดซึมน้ำ 7.8-22.9 เปอร์เซ็นต์ ขนาดของเม็ดดิน 3-20 ไมครอน ความทันไฟ 1,621 องศาเซลเซียส ความแข็งแรง 136 ปอนด์ต่อตารางนิวตัน เมื่อเทียบกับดินขาวในน้ำมีค่าพีเอชเท่ากับ 8.3

##### 2. แหล่งดินขาว ตำบลหาดส้มแป้น จังหวัดระนอง

ดินขาวแหล่งนี้พบอยู่ในบริเวณแม่น้ำองแร่ดีบุก ตำบลหาดส้มแป้น ตำบลบางริ้น อ้าเกอเมือง จังหวัดระนอง เป็นดินขาวที่เกิดจากการแปรสภาพของหินแกรนิตที่ปะปนอยู่กับหินควอตซ์ และแร่ดีบุก ดินขาวแหล่งนี้เป็นดินขาวชนิดที่พบริเวณแหล่งแร่ในประเทศไทย เป็นดินที่มีปริมาณของอะลูมินาสูง และมีปริมาณสิ่งอิสระปนอยู่ จึงเหมาะสมที่จะนำมาใช้ประโยชน์ในหลายๆ ด้าน คุณลักษณะของดินขาวแหล่งนี้ ดินร่วน เวลาล้างจะตัวดีมาก เนื้อดินที่ล้างได้ประมาณ 20 เปอร์เซ็นต์ สีของดินมีสีขาว ในช่วงอุณหภูมิ 800-1,300 องศาเซลเซียส มีการหดตัว 3.9-7.8 เปอร์เซ็นต์ และการดูดซึมน้ำ 30.0-40.5 เปอร์เซ็นต์ ขนาดของเม็ดดิน 5-30 ไมครอน ความทันไฟ 1,785 องศาเซลเซียส ความแข็งแรง 102 ปอนด์ต่อตารางนิวตัน เมื่อเทียบกับดินขาวในน้ำมีค่าพีเอชเท่ากับ 8.5

##### 3. แหล่งดินขาว อ้าเกอเมือง จังหวัดอุตรดิตถ์

ดินขาวแหล่งนี้ พบริ่มด้วยวัชพืช และจีววัฒน อำเภอเมือง จังหวัดอุตรดิตถ์ ส่วนใหญ่เป็นแร่ Illite เกิดจากการผุพังของหิน Rhyolite จากคุณลักษณะของดินขาวแหล่งนี้ ดินร่วน มีความเหนียวแน่นอยู่ เนื้อดินที่ถูกได้ประมาณ 30 เปอร์เซ็นต์ สีของดินมีสีขาว ในช่วงอุณหภูมิ 800-1,250 องศาเซลเซียส มีการหดตัว 4.2-11.4 เปอร์เซ็นต์ และการดูดซึมน้ำ 2.1-20.8 เปอร์เซ็นต์ ขนาดของเม็ดดิน 3-20 ไมครอน ความทันไฟ 1,300 องศาเซลเซียส ความแข็งแรง 94 ปอนด์ต่อตารางนิ้ว เมื่อแขวนโดยในน้ำมีค่าพิเชชเท่ากับ 8.0

#### 4.1.2 คุณสมบัติทางกายและทางเคมีของดินขาว

1. ขนาดของเม็ดดิน (Particle size) เกี่ยวข้องกับความเหนียว (Plasticity) และการหดตัวของดินเมื่อแห้ง (Dried shrinkage) ซึ่งโดยเฉลี่ยขนาดของเม็ดดินที่นำมาใช้ ความมีขนาดประมาณ 0.05-10 ไมครอน ในปัจจุบันที่ใช้กันในโรงงานอุตสาหกรรม จะมีขนาดเม็ดดินประมาณ 0.05 ไมครอน

2. ความแข็งแรงเมื่อแห้ง (Green strength) เกี่ยวข้องกับผลิตภัณฑ์ดิน (green ware) มาก เพราะดินขาวที่มีความเหนียวแน่นอยู่ เมื่อบาบูปแล้วจะเปราะง่าย โดยเฉลี่ยความแข็งแรงของดินขาว ควรอยู่ระหว่าง 40-120 ปอนด์ต่อตารางนิ้ว

3. การหดตัวหลังจากการเผา (Fired shrinkage) เกี่ยวข้องกับขนาดรูปทรงของผลิตภัณฑ์โดยทั่วไปแล้วดินขาวจะหดตัวหลังการเผาเฉลี่ยประมาณ 20 เปอร์เซ็นต์ ดินขาวมีสารประกอบทางเคมีเป็น ( $\text{OH}_4$ )  $\text{Al}_2\text{Si}_2\text{O}_5$  หรือ  $\text{Al}_2\text{O}_3 \cdot 2\text{SiO}_2 \cdot 2\text{H}_2\text{O}$  ซึ่งองค์ประกอบหลักดังนี้ คือ  $\text{SiO}_2$   $\text{Al}_2\text{O}_3$  และ  $\text{H}_2\text{O}$  เท่ากับ 46.3 39.8 และ 13.9 เปอร์เซ็นต์ตามลำดับ ซึ่งองค์ประกอบทางเคมีข้างต้น ถือเป็นหลักสำคัญในการวิเคราะห์ทางเคมี ซึ่งอาจเปลี่ยนแปลงไปบ้าง เนื่องจากเหตุ 2 ประการ คือ

1. โครงสร้างของดินขาวที่แทนที่ด้วยโลหะที่มีประจุบวก
2. สารประกอบอื่นๆ เช่น ไนโตรเจน ไฮเดรต์ Quartz, Feldspar, Rutile, Pyrite, Tourmaline, Zircon, Hematite, Magnetite, Fluoride, และ Muscovite เป็นต้น

ปัจจุบันได้มีงานวิจัยหลายงาน ได้นำเอาดินขาวที่มีองค์ประกอบของสารอะลูมิโนซิลิเกต ไปใช้เป็นวัตถุดินในการสังเคราะห์โซ่อิเลคทรอนิกส์ ซึ่งเป็นผลิตภัณฑ์ที่มีมูลค่าสูงใช้ในการดูดซับแก๊ส และใช้ทำเป็นตัวรับประวัติการเปลี่ยนแปลง เป็นต้น (นิรุตติ, 2546)

## 4.2 ถ่านหิน

ถ่านหินเป็นหินตะกอนชนิดหนึ่ง สามารถติดไฟได้จึงนิยมนำมาใช้เป็นเชื้อเพลิง มีส่วนประกอบที่เป็นสารคาร์บอนไนโตรเจนกว่าร้อยละ 50 โดยน้ำหนัก ถ่านหินเกิดจากการเปลี่ยนแปลงตามธรรมชาติของชากพืชสะสมตัวอยู่ในพื้นที่ที่เป็นแอ่งขนาดใหญ่ เมื่อเวลาผ่านไปหลายสิบล้านปี เกิดการเปลี่ยนแปลงของผิวโลก เช่น การเกิดแผ่นดินไหว ภูเขาไฟระเบิด การพังทลายของชั้นหิน ดิน ราย การทับถมของตะกอนมากขึ้น ได้รับความร้อนและความกดดันมากขึ้น จนในที่สุดเกิดการเปลี่ยนแปลงเป็นถ่านหินประเภทต่างๆ

### 4.2.1 ประเภทของถ่านหิน

1. แอนතราไซต์ (anthracite) เป็นถ่านหินที่มีลักษณะคำเป็นเนมัน มีความหวานสูง มีปริมาณคาร์บอนสูงถึง 86 เปอร์เซ็นต์ขึ้นไป มีปริมาณความชื้นต่ำ มีค่าความร้อนสูงแต่จุดไฟติดยาก

2. บิทูมินัส (bituminous) เป็นถ่านหินเนื้อแน่น มีลักษณะแข็งและมักจะประกอบขึ้นด้วยชั้นถ่านหินสีดำสนิทที่มีลักษณะมันวาว มีปริมาณคาร์บอน 69-86 เปอร์เซ็นต์ และมีความชื้น 1.5-7 เปอร์เซ็นต์ ใช้เป็นถ่านหินเพื่อผลิตถุงโลหะ ได้

3. ชั้นบิทูมินัส (sub-bituminous) มีลักษณะสีดำคล้ำขึ้น ผิวเรียบ มีปริมาณความชื้นประมาณ 10 เปอร์เซ็นต์ เป็นเชื้อเพลิงที่มีคุณภาพมากในการผลิตไฟฟ้า

4. ลิกไนต์ (lignite) เป็นถ่านหินที่มีเกรดต่ำสุด มีปริมาณออกซิเจนค่อนข้างสูงและมีปริมาณความชื้นสูงถึง 30-70 เปอร์เซ็นต์ เป็นถ่านหินที่ใช้เป็นเชื้อเพลิง

### 4.2.2 การเผาถ่านหิน

โดยทั่วไปถ่านหินมักถูกนำมาใช้เป็นเชื้อเพลิงเพื่อการผลิตกระแสไฟฟ้า ซึ่งเมื่อถ่านหินถูกเผาไหม้ สิ่งที่เหลือหลังจากการเผาไหม้มีคือถ่านหิน โดยถ้าจะเกิดการเปลี่ยนแปลงทางเคมีของแร่ สารอินทรีย์และสารอนินทรีย์ในถ่านหิน ซึ่งองค์ประกอบที่จัดเรียงตัวเกิดเป็นถ่านหิน แบ่งออกเป็น 2 ประเภทคือ

1. Extraneous mineral matter ประกอบด้วยสารจำพวกดินเหนียว (clay) หินดินดาน (shale) แคลไซซ์ท์ (calcite) ไฟไหรท์ (pyrite) หรือมาร์คาไซท์ (marcasite) รวมถึงส่วนประกอบอื่นๆ ที่อยู่ในรูปของ inorganic sulphates chlorides และ fluorides

2. Inherent ash ประกอบด้วยสารอนินทรีย์ (inorganics) ที่รวมตัวอยู่กับสารอินทรีย์ (organics) ที่เป็นส่วนประกอบของถ่านหิน ซึ่งเกิดจากพืช (plant material)

องค์ประกอบเหล่านี้ เมื่อนำไปเผาให้ความร้อนจะได้กากของถ่านหิน ซึ่งอยู่ในรูปของออกไซด์ของซิลิกา อะลูมินา เหล็ก และแคลเซียมเป็นส่วนใหญ่ โดยส่วนประกอบของถ่านหินสามารถแบ่งตามคุณสมบัติทางเคมีเป็น 2 ส่วนคือ

1. ออกไซด์ของกรด (acidic oxides) ประกอบด้วย ซิลิกา ( $\text{SiO}_2$ ) อะลูมินา ( $\text{Al}_2\text{O}_3$ ) และไทเทเนียมออกไซด์ ( $\text{TiO}_2$ )

2. ออกไซด์ของด่าง (basic oxides) ประกอบด้วย เฟอริโกออกไซด์ ( $\text{Fe}_2\text{O}_3$ ) แคลเซียมออกไซด์ ( $\text{CaO}$ ) แมกนีเซียมออกไซด์ ( $\text{MgO}$ ) โซเดียมออกไซด์ ( $\text{Na}_2\text{O}$ ) และโพแทสเซียมออกไซด์ ( $\text{K}_2\text{O}$ )

การเผาไหม้จะเกิดถ้าประมาณ 3-30 เปอร์เซ็นต์ของถ่านหินที่เผา ระหว่างการเผาไหม้ถ้าจะถูกแยกออกเป็น 2 ส่วน คือ เถ้าหนัก (bottom ash) จะตกลงสู่กันเตา และถูกถ่านหินหลังเผา โดยระบบสายพานเหล็ก อีกส่วนคือถ้าลอย (fly ash) จะถูกดักเก็บโดยเครื่องควบคุมมลภาวะซึ่งจะตักจับถ้าลอยเหล่านี้ซึ่งล้อมมากับก้าชเสียที่ถูกปล่อยออกมานะ

#### 4.2.3 คุณสมบัติทางเคมีของถ้าลอยถ่านหิน

ถึงแม้ว่าถ้าลอยถ่านหินจะมาจากการเผาไหม้ถ่านหินชนิดเดียวกัน แต่องค์ประกอบทางเคมีก็ยังมีความแตกต่างกัน ซึ่งจะขึ้นอยู่กับปัจจัยทางด้านธรณีวิทยาและด้านภูมิศาสตร์ของถ่านหิน สภาวะในการเผาไหม้ และประสิทธิภาพของเครื่องจักร สารอนินทรีย์ที่เป็นองค์ประกอบอยู่ในถ้าจะเป็นไปตามชนิดของหินและดิน มีออกไซด์ของซิลิกอน อะลูมิเนียม เหล็ก และแคลเซียมอยู่ประมาณร้อยละ 95-99 ของส่วนประกอบทั้งหมดในถ้า และส่วนประกอบย่อมๆ ของถ้าได้แก่

แมกเนเซียม ไททาเนียม ชัลเฟอร์ โซเดียม และโพแทสเซียม ประมาณ 0.5-3.5 เปอร์เซ็นต์ นอกจานั้นเป็นสารส่วนน้อยเรียกว่า “trace element” ซึ่งมีประมาณ 20-50 ชาตุ

ถ้าถ่านหินสามารถแบ่งออกเป็นได้สองชนิดตามส่วนประกอบทางธรรมชาติคือ ถ้ำบิทูมินัส และถ้ำลิกไนต์ ถ้ำลิกไนต์มีแคลเซียมออกไซด์รวมอยู่กับแมกเนเซียมออกไซด์มากกว่าเฟอริโกออกไซด์ ในทางกลับกันสำหรับถ้ำบิทูมินัสจะมีเฟอริโกออกไซด์มากกว่าแคลเซียมออกไซด์รวมกับแมกเนเซียมออกไซด์ ถ่านหินที่มีถ้ำประเภทบิทูมินัสจัดเป็นถ่านหินยุคเก่า มีอายุอยู่ในช่วงไตรแอสติก (triassic) ส่วนถ่านหินที่มีถ้ำประเภทลิกไนต์จะเป็นถ่านหินยุคใหม่และอยู่ในช่วง侏ราสติก (jurassic)

#### 4.2.4 เถ้าโลยกถ่านหิน

ถ้าโลยกถ่านหิน เป็นอนุภาคของของแข็งขนาดเล็กที่ถูกหล่ออยู่ในแก๊สที่เกิดจากการเผาไหม้ถ่านหิน และวัสดุออกมายากหมือตื้น ไอน้ำพร้อมกับแก๊สชนิดอื่นๆ โดยทั่วไปมีปริมาณ 10-85 เปอร์เซ็นต์ของถ้าห้องทั้งหมดที่เกิดขึ้นซึ่งขึ้นอยู่กับชนิดของถ่านหิน ถ้าโลยกมีลักษณะรูปร่างเป็นทรงกลม มีขนาดเล็กมาก มีลักษณะอ่อนนุ่มถึงคำขี้นอยู่กับระดับของปริมาณการรับอนในถ่านหิน

สิ่งที่น่าสนใจของถ้าโลยก็คือมีองค์ประกอบของอนุภาคที่เบา เรียกว่า cenosphere จะมีปริมาณร้อยละประมาณ 20 เปอร์เซ็นต์ขึ้นไปของถ้าโลยก อนุภาคเหล่านี้มีลักษณะเป็นทรงกลมมีส่วนประกอบของซิลิกेट ในโครงสร้าง และการรับอนได้ออกไซด์ โดยมีขนาดเส้นผ่าศูนย์กลางอยู่ระหว่าง 20-200 ไมโครเมตร ถ้าเหล่านี้มีลักษณะลอยตัวทำให้เกิดปัญหาในการกำจัด ส่วนขององค์ประกอบทางเคมีของ cenosphere จะคล้ายกับถ้าโลยนั้นเอง

จากมาตรฐาน ASTM C618-85 ได้แบ่งประเภทของถ้าโลยกตามปริมาณรวมของซิลิกาอะลูมินา และเฟอริโกออกไซด์ที่มีอยู่ในถ้าโลยก ซึ่งสามารถแบ่งได้ดังนี้

1. ถ้าโลยกคุณ C จะมีส่วนประกอบของซิลิก้า อะลูมินา และเฟอริโกออกไซด์อยู่รวมกันไม่ต่ำกว่า 50 เปอร์เซ็นต์
2. ถ้าโลยกคุณ F จะมีส่วนประกอบของซิลิก้า อะลูมินา และเฟอริโกออกไซด์อยู่รวมกันไม่ต่ำกว่า 70 เปอร์เซ็นต์

ปัจจุบันได้มีการนำถ้าลอยถ่านหินไปใช้เป็นวัตถุดินในการสังเคราะห์ซีโอลิต ซึ่งเป็นผลิตภัณฑ์ที่มีมูลค่าสูงและมีประโยชน์ในอุตสาหกรรมเคมี เช่น ใช้ในการแลกเปลี่ยนไอออน (ion exchange) การดูดซับแก๊ส สารอาหาร น้ำ ตลอดจนไมเลกุลของสารอินทรีย์ และใช้ทำเป็นตัวเร่งปฏิกิริยา เป็นต้น (ธีระพงษ์, 2542)

#### 4.3 ข้าวโพด

ข้าวโพดเป็นขัญพืชที่สำคัญมากชนิดหนึ่งของโลก ผลผลิตประมาณครึ่งหนึ่งใช้เป็นอาหารมนุษย์ นอกจากนั้นใช้เป็นอาหารเลี้ยงสัตว์และอื่นๆ ข้าวโพดมีถิ่นกำเนิดแถบบริเวณประเทศไทย แต่เป็นที่นิยมบริโภคกันแบบประเทศทวีปเมริการางและได้ สำหรับประเทศไทย ข้าวโพดเป็นที่รู้จักและนิยมบริโภคในรูปอาหารว่างระหว่างมื้ออาหารมาช้านานแล้ว และยังมีการปลูกข้าวโพดเพื่อการเลี้ยงสัตว์กันมาก จนถึงปัจจุบันข้าวโพดนั้นเป็นพืชเศรษฐกิจที่สำคัญของประเทศไทยอีกด้วย

##### 4.3.1 การจำแนกชนิดข้าวโพด

1. ข้าวโพดໄร์หรือข้าวโพดเลี้ยงสัตว์ เป็นชนิดที่ปลูกเพื่อการส่งออกเป็นอาหารเลี้ยงสัตว์

##### 2. ข้าวโพดรับประทานฝักสด

2.1 ข้าวโพดเทียน มีขนาดต้นเล็ก ฝักเล็กเรียว เมล็ดกลมมน สีเหลืองอ่อน มีรสชาตินุ่มนวลหวานอร่อย

2.2 ข้าวโพดข้าวเหนียว (Glutinous Corn) จะมีฝักและเมล็ดใหญ่กว่าข้าวโพดเทียน เมล็ดสีขาว ฝักสดเมื่อต้มรับประทานจะมีลักษณะเหนียวมัน คล้ายข้าวเหนียวพระมีอะไมโลเปกตินมาก (อยู่ในรูปของแป้ง) เมื่อเมล็ดข้าวโพดแก่และแห้งแล้วนิยมนำไปปรุงบริโภคในรูปข้าวโพดคั่ว

2.3 ข้าวโพดหวาน (Sweet Corn) ข้าวโพดชนิดนี้ เมื่อสุกจะมีรสหวานอร่อยเนื่องจากมีน้ำตาลกลูโคสมาก (อยู่ในรูปของแป้ง) เมื่อแก่ฝักจะแห้งและเมล็ดเหี่ยวย่น

3. ข้าวโพดฝักอ่อน (Baby Corn) เป็นพืชที่มีอายุการเก็บเกี่ยวสั้น นับตั้งแต่ปลูกจนถึงเก็บเกี่ยวฝักอ่อน ใช้เวลาเพียง 60-75 วัน เท่านั้น สามารถปลูกได้ตลอดปี นิยมนำมาบรรจุกระป๋องหรือขายเป็นฝักสด

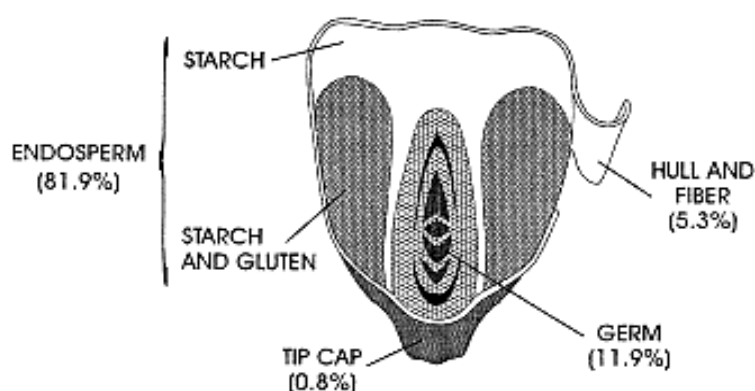
4. ปอปคอร์น (Pop Corn) ข้าวโพดชนิดนี้มีคุณสมบัติแตกต่างไป เมื่อถูกความร้อนอาจเป็นเพราะเอนโดยสเปอร์มหรือส่วนเนื้อในของเมล็ดไม่มีเยื่อหุ้มเมล็ด (seed coat) นิยมบริโภคในรูปข้าวโพดคั่ว โดยนำเมล็ดที่แก่แห้งแล้วมาคั่วให้แตก ข้าวโพดชนิดนี้ส่วนใหญ่ต้องนำเข้าจากต่างประเทศ

#### 4.3.2 ข้าวโพดข้าวเหนียว

ข้าวโพดข้าวเหนียวมีปริมาณ amylopectin ซึ่งเป็นแป้งที่มีโมเลกุลใหญ่ และมีกิ่งก้านของโมเลกุลสูง แทนที่ amylose ในเอนโดยสเปอร์ม มีการแสดงออกของคุณสมบัติทางเคมี และทางกายภาพของเอนโดยสเปอร์ม ทำให้เมล็ดมีสีสุ่น ทึบแสง แป้งในเมล็ดข้าวโพดข้าวเหนียวจัดเป็นแป้งอ่อน (soft starch) มีเนื้อแป้งนิ่ม เหนียวนุ่มเหมือนข้าวเหนียว เนื่องจากมีปริมาณ amylopectin สูง นอกจากนี้ ยังทำให้มีพวก water soluble polysaccharides ปริมาณมาก เช่น dextrin ที่เหนียว เป็นเมือก ถึงแม้จะไม่หวานเหมือนกับข้าวโพดหวานก็ตาม แต่เป็น waxy มีผลทำให้เกิด reducing sugar เพิ่มขึ้นจากข้าวโพดธรรมชาติเล็กน้อย อย่างไรก็ตามข้าวโพดข้าวเหนียวแต่ละพันธุ์มีปริมาณ amylopectin แตกต่างกันไป (มัณฑนา, 2546)

#### 4.3.3 ส่วนประกอบของเมล็ดข้าวโพด

### A KERNEL OF CORN



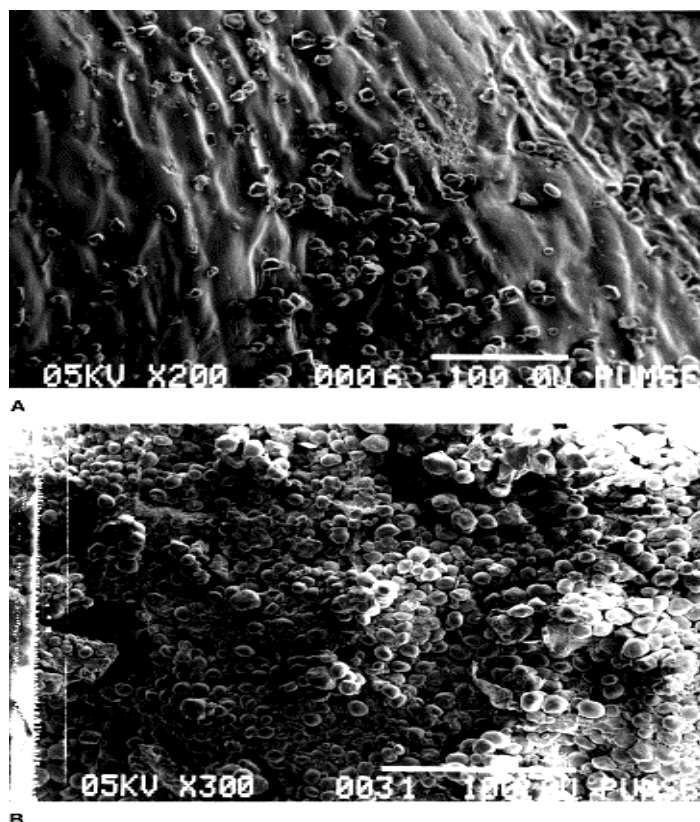
ภาพที่ 7 ส่วนประกอบด่างๆ ของเมล็ดข้าวโพด

ส่วนใหญ่ของน้ำหนักแห้งจะอยู่ในส่วนของอีนโดสเปอร์ม (endosperm) ซึ่งมีถึงประมาณ 82 เปอร์เซ็นต์ของน้ำหนักเมล็ดข้าวโพดแห้ง อีนโดสเปอร์มประกอบไปด้วยส่วนประกอบใหญ่ 4 ส่วนคือ 1. แป้ง (starch) 2. แป้งและยางแป้ง (starch and gluten) 3. เจร์ม (germ) 4. เปลือกหุ้มเมล็ด และเส้นใย (hull and fiber) นอกจากนั้นเป็นส่วนอื่นๆ เช่น เปลือกหุ้มข้าว (tip cap) ดังแสดงในภาพที่ 7 เชลล์ต่างๆ ในอีนโดสเปอร์มบรรจุด้วยเม็ดแป้งล้อมรอบไปด้วยโปรตีน อีนโดสเปอร์ม แบ่งออกเป็น 2 ประเภทคือ ออร์นีอีนโดสเปอร์ม (horny endosperm) มีลักษณะแข็งและโปรดংแสง อีกประเภทหนึ่งคือ เฟลารีอีนโดสเปอร์ม (floury endosperm) มีลักษณะอ่อนนุ่ม และทึบแสง ในเมล็ดข้าวโพดแห้งน้ำหนักของออร์นีอีนโดสเปอร์มจะมีมากกว่าเฟลารีอีนโดสเปอร์มประมาณสองเท่า โดยมีองค์ประกอบทางเคมีดังแสดงในตารางที่ 3

ตารางที่ 3 องค์ประกอบทางเคมีของออร์นี และเฟลารีอีนโดสเปอร์ม (โดยน้ำหนักแห้ง)

องค์ประกอบทางเคมี	ออร์นีอีนโดสเปอร์ม	เฟลารีอีนโดสเปอร์ม
แป้ง	80.4	85.6
โปรตีน	13.3	7.7
น้ำตาล	0.4	0.5
น้ำมัน	0.7	0.3
เกล้า	0.3	0.4
อื่นๆ	4.9	5.5

ภาพขยายจาก Scanning electron microscope (SEM) ของพื้นผิวชอร์นีและเฟลารีอีน โอดสเปอร์มดังแสดงในภาพที่ 8 แสดงให้เห็นว่าการที่ชอร์นีอีน โอดสเปอร์มมีองค์ประกอบของโปรตีนมากทำให้มีพื้นผิวที่ร่วนเรียบ และมีเม็ดแป้งอิสระน้อย (ภาพบน) ส่วนเฟลารีอีน โอดสเปอร์ม ซึ่งมีองค์ประกอบของโปรตีนน้อยกว่าเม็ดแป้งจะไม่ถูกจับยึดกันแน่น และเห็นเม็ดแป้งปอกครุ่นพื้นผิวได้อ่าย่างชัดเจน (ภาพล่าง)

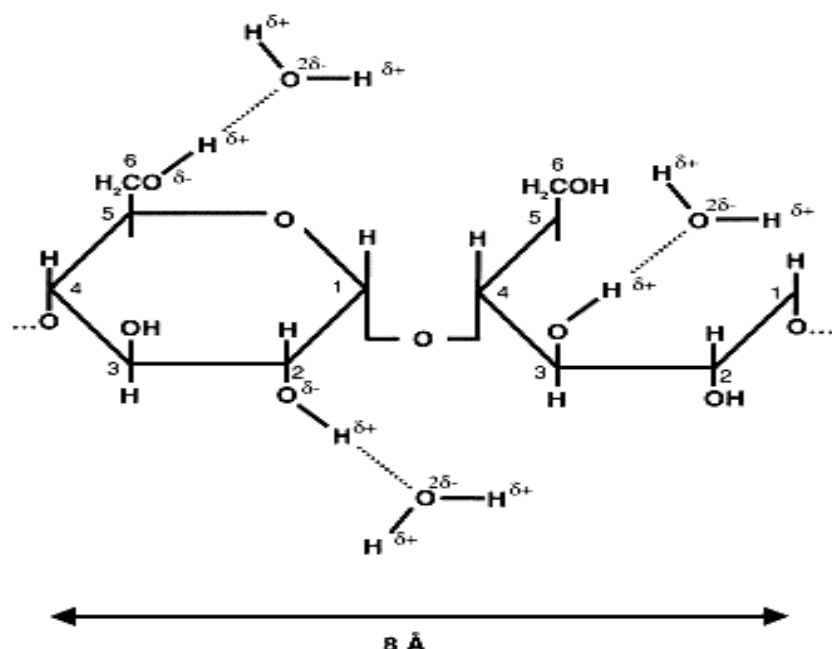


ภาพที่ 8 ภาพจาก Scanning electron microscope (SEM) ภาพบนเป็นภาพขยายของพื้นผิวชอร์นีอีน โอดสเปอร์ม ภาพล่างเป็นภาพขยายของพื้นผิวเฟลารีอีน โอดสเปอร์ม

#### 4.3.4 กลไกการคัดซับน้ำของแป้ง

ความสามารถในการคัดซับน้ำของแป้ง เกิดจากแรงดึงดูดระหว่างหมู่ไฮดรอกซิลของโมเลกุลแป้งกับโมเลกุลของน้ำซึ่งเป็นพันธะไฮโดรเจน ดังแสดงในภาพที่ 9 หลังจากหมู่ไฮดรอกซิลหนึ่งหมู่คัดซับน้ำไว้ได้หนึ่งโมเลกุลสภาพของพันธะไฮโดรเจนจะหมดไป ดังนั้นหมู่ไฮดรอกซิลหนึ่งหมู่จะคัดซับน้ำไว้ได้หนึ่งโมเลกุลเท่านั้น

เมื่อเป็นสัมผัสกับไออกซิเจนของสารอินทรีย์และน้ำ  
มากกว่าไออกซิเจนของสารอินทรีย์ พบร่วมเป็นสามารถดูดซับไอน้ำได้  
ดังเช่นสามารถใช้เป็นดูดซับน้ำออกจากกระบวนการของอากาศ-น้ำ  
และการหักดิ่ง-น้ำ อัลเดทีไฮด์-น้ำ กรดอินทรีย์-น้ำ อีเธอร์-น้ำ และคีโตน-น้ำ



ภาพที่ 9 พันธะไฮโดรเจนระหว่างโมเลกุลของน้ำและหมู่ไฮดรอกซิลของโมเลกุลแป้ง

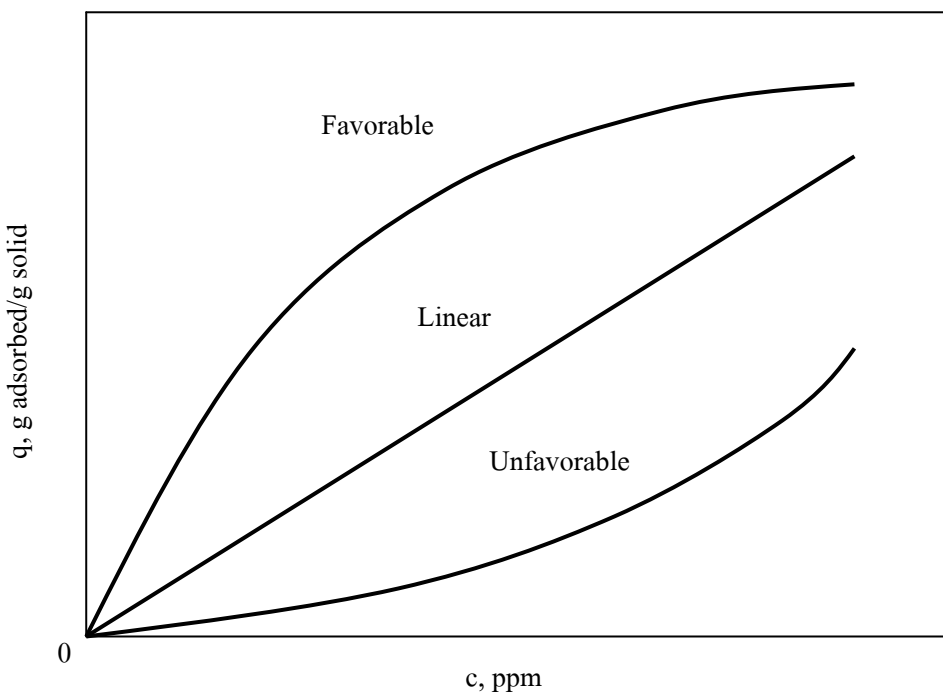
ที่มา: Beery (2001)

### 5. สมดุลระหว่างวัฏภาคของการดูดซับที่อุณหภูมิกคงที่

สมดุลระหว่างวัฏภาคของการดูดซับที่อุณหภูมิกคงที่ (isothermal equilibrium adsorption) เป็นความสัมพันธ์ระหว่างปริมาณของสารถูกดูดซับในสารดูดซับกับความเข้มข้นของสารถูกดูดซับในวัฏภาคของไอลในสภาพที่อุณหภูมิกคงที่

เส้นกราฟแสดงรูปแบบของสมดุลระหว่างวัฏภาคของการดูดซับที่อุณหภูมิกคงที่มีลักษณะต่างกันได้ 3 แบบ ดังแสดงในภาพที่ 10 ลักษณะแรกกราฟเส้นตรงลากผ่านจุดกำเนิด (Linear isotherm) ปริมาณของสารที่ถูกดูดซับในสารดูดซับมีความสัมพันธ์เป็นเส้นตรงกับความเข้มข้นของ

สารที่ถูกดูดซึบในของไอล ลักษณะที่สองกราฟที่เป็นเส้นโค้งนูนจะเป็นแบบที่ต้องการ (favorable isotherm) เพราะว่าสามารถที่จะดูดซึบได้มากที่ความเข้มข้นในของไอลต่ำ ในทางกลับกันในลักษณะที่สามกราฟที่เป็นเส้นโค้งว้าจะเป็นแบบที่ไม่ต้องการ (unfavorable) เพราะว่าสามารถดูดซึบได้น้อยที่ความเข้มข้นในของไอลต่ำแต่จะดูดซึบได้มากขึ้นที่ความเข้มข้นในของไอลสูง



ภาพที่ 10 รูปแบบของสมดุลระหว่างวัสดุภาคของการดูดซึบที่อุณหภูมิกึ่งที่

สมดุลของการดูดซึบในสภาวะที่อุณหภูมิกึ่งที่ กรณีที่มีความสัมพันธ์เป็นเส้นตรงจะแสดงได้ด้วยสมการจากกฎของเอนริชช์ที่เป็นรูปแบบความสัมพันธ์ดังแสดงในสมการที่ (2)

$$q = Kc \quad (2)$$

โดยที่

$q$  คือความจุของสารที่ถูกดูดซึบท่อน้ำหนักของสารดูดซึบ

$K$  คือค่าคงที่ของสมดุลการดูดซึบที่อุณหภูมิกึ่งที่

$c$  คือความเข้มข้นของสารที่ถูกดูดซึบในของไอลรอบๆ สารดูดซึบ

(McCabe *et al.*, 2005)

ในกรณีที่ความสัมพันธ์ไม่เป็นเส้นตรง สมการที่นิยมนำมาใช้อีกสมการหนึ่งก็คือสมการของแลงมัวร์ ดังแสดงในสมการที่ (3) ซึ่งมาจากการนิยมนำมาร่วมกับสมการของสารถูกดูดซับจะถูกดูดซับที่ตำแหน่งบนพื้นผิวของสารดูดซับโดยแต่ละตำแหน่งจะดูดซับเพียงหนึ่งโมเลกุล โดยที่พื้นผิวการดูดซับมีความสามารถในการดูดซับเหมือนกัน

$$q = \frac{q^s Kc}{1 + Kc} \quad (3)$$

โดยที่  $q^s$  คือความจุของโมเลกุลชั้นเดียว

ค่าพารามิเตอร์ต่างๆ จากการใช้สมการของแลงมัวร์สามารถหาได้จากการพิสูจน์  $1/q$  กับ  $1/c$  จะได้กราฟเส้นตรงซึ่งความชันจะเท่ากับ  $1/q^s K$  และจุดตัดแกน  $y$  คือ  $1/q^s$  (Perry และก่อน, 1997)

## 6. เส้นโค้งการดูดซับสำหรับการดูดซับในเบคนิ่ง

เป็นเส้นโค้งของความสัมพันธ์ระหว่างความเข้มข้นของของไอลที่ตำแหน่งต่างๆ ในเบคนิ่งของสารดูดซับกับเวลาที่ผ่านไป จากการทำสมดุลมวลของสารถูกดูดซับในส่วนย่อยของเบคนิ่งจะได้ความสัมพันธ์ในรูปสมการดิฟเฟอเรนเชียลอย่าง ดังแสดงในสมการที่ (4)

$$-D_L \frac{\partial^2 c}{\partial Z^2} + \frac{\partial(uc)}{\partial Z} + \frac{\partial c}{\partial t} + \frac{(1 - \varepsilon_b)}{\varepsilon_b} \frac{\partial \bar{q}}{\partial t} = 0 \quad (4)$$

โดยที่

เทอมแรกเป็นการแพร่ของสารถูกดูดซับตามแนวแกน มี  $D_L$  เป็นสัมประสิทธิ์การแพร่

เทอมที่สองเป็นอัตราการเปลี่ยนแปลงมวลของสารถูกดูดซับเทียบกับความสูงเบคนิ่งเกิดจากการพา

เทอมที่สามเป็นอัตราการสะสมของมวลสารถูกดูดซับในของไอล

เทอมที่สี่เป็นอัตราการสะสมของมวลสารถูกดูดซับในสารดูดซับ

ซึ่งจากการนี้จะเห็นว่าความเข้มข้นของสารถูกดูดซับในของไอลมีความสัมพันธ์กับเวลาและตำแหน่งในเบคนิ่ง

อัตราการสะสมของมวลสารถูกดูดซับในสารคูดซับเกิดจากแรงขับซึ่งเกิดจากความแตกต่างระหว่างความจุของสารถูกดูดซับที่สภาวะสมดุลกับสภาวะideal หรือเกิดจากความแตกต่างระหว่างความเข้มข้นของสารถูกดูดซับในของไอลที่สภาวะidealกับสภาวะสมดุลดังแสดงในสมการที่ (5)

$$\frac{\partial \bar{q}}{\partial t} = k \left( q^* - \bar{q} \right) = kK \left( c - c^* \right) \quad (5)$$

โดยที่

$q^*$  คือความจุของสารถูกดูดซับต่อสารคูดซับที่สภาวะสมดุลซึ่งสมดุลกับ  $c$  คือความเข้มข้นของสารถูกดูดซับในของไอล

$c^*$  คือความเข้มข้นของสารถูกดูดซับในของไอลที่สภาวะสมดุลซึ่งสมดุลกับ  $\bar{q}$  คือความจุของสารถูกดูดซับต่อสารคูดซับโดยเฉลี่ยที่สภาวะideal

$k$  คือค่าสัมประสิทธิ์การถ่ายเทmvรวมมีหน่วยต่อวินาที

โดยความสัมพันธ์ที่ใช้ในการคำนวนค่าแฟคเตอร์  $kK$  แสดงในสมการที่ (6)

$$\frac{1}{kK} = \frac{R_p}{3k_c} + \frac{R_p^2}{15D_e} \quad (6)$$

โดยที่

$k_c$  คือสัมประสิทธิ์การถ่ายเทmvภายนอกมีหน่วยเมตรต่อวินาที

$D_e$  คือสัมประสิทธิ์การแพร่ประสิทธิผลมีหน่วยตารางเมตรต่อวินาที

$R_p$  คือรัศมีอนุภาคของสารคูดซับมีหน่วยเมตร

เทอมแรกในสมการที่ (6) คือความต้านทานของการถ่ายเทmvรวม เทอมที่สองคือความต้านทานของการถ่ายเทmvภายนอก และเทอมที่สามคือความต้านทานของการถ่ายเทmvภายในตามลำดับ

การคำนวณค่าสัมประสิทธิ์การถ่ายเทน้ำภายในของสารดูดซับในเบดนิ่ง  
โดยใช้  
ความสัมพันธ์ ดังแสดงในสมการที่ (7)

$$Sh = 2 + 1.1 \text{Re}^{0.6} Sc_i^{1/3} \quad (7)$$

โดยที่

$$Sh \quad \text{คือตัวแปรไร์น่าร์ของเชอร์วุด} = k_c \frac{D_p}{D_i}$$

$D_p$  คือเส้นผ่านศูนย์กลางของอนุภาคสารดูดซับมีหน่วยเป็นเมตร

$D_i$  คือสัมประสิทธิ์การแพร์เซิงโอมเลกุลมีหน่วยเป็นตารางเมตรต่อนาที

$$\text{Re} \quad \text{คือตัวแปรไร์น่าร์ของเรย์โนล์ด} = \frac{D_p G}{\mu}$$

$G$  คือความเร็วเชิงมวลของไออุ่นมีหน่วยเป็นกิโลกรัมต่อตารางเมตรต่อวินาที

$\mu$  คือความหนืดของไออุ่นมีหน่วยเป็นปascatalวินาที

$$Sc_i \quad \text{คือตัวแปรไร์น่าร์ของชميدท} = \frac{\mu}{\rho D_i}$$

$\rho$  คือความหนาแน่นของไออุ่นมีหน่วยเป็นกิโลกรัมต่อลูกบาศก์เมตร

จากสมการที่ (7) สามารถที่จะใช้คำนวณสัมประสิทธิ์การถ่ายเทน้ำภายในได้จากตัวแปร  
ไร์น่าร์ของเชอร์วุด

การวิเคราะห์หาผลเฉลยของสมการดิฟเฟอเรนเชียลย่อย (4) มีหลายวิธีซึ่งมีวิธีการวิเคราะห์  
ทางคณิตศาสตร์ที่ซับซ้อน ในที่นี้ขอยกตัวอย่างการหาผลเฉลยโดยใช้สมการของคลินเคนเบอร์กซึ่ง  
ใช้สมมติฐานต่างๆ ได้แก่ ไม่คำนึงถึงการถ่ายเทน้ำโดยการแพร์ตามแนวแกน ความเร็วของของ  
ไหหามีค่าคงที่ สมดุลระหว่างวัฏจักรของการดูดซับที่อุณหภูมิกที่มีความสัมพันธ์เป็นเส้นตรงผ่าน  
จุดกำเนิด ทำให้ได้ความสัมพันธ์ของความเข้มข้นของของไหหอกับตำแหน่งต่างๆ ภายในเบด ที่เวลา  
ใดๆ ดังแสดงในสมการที่ (8)

$$\frac{c}{c_F} \approx \frac{1}{2} \left[ 1 + erf\left( \sqrt{\tau} - \sqrt{\xi} + \frac{1}{8\sqrt{\tau}} + \frac{1}{8\sqrt{\xi}} \right) \right] \quad (8)$$

โดยที่

$c$  คือความเข้มข้นของสารถูกดูดซับมีหน่วยเป็น โนลต่อลูกบาศก์เมตร

$c_F$  คือความเข้มข้นของสารถูกดูดซับในของไหหลังที่ป้อนเข้ามีหน่วยเป็น โนลต่อ

ลูกบาศก์เมตร

$erf(x)$  คือเอเรอร์ฟังก์ชันนิยามโดย  $erf(-x) = -erf(x)$  และ

$$erf(x) = \frac{2}{\sqrt{\pi}} \int_0^x e^{-\eta^2} d\eta$$

$\xi$  คือตัวแปรไร้หน่วยของระยะทางในเบค โดย  $\xi = \left( \frac{kKZ}{u} \right) \left( \frac{1 - \varepsilon_b}{\varepsilon_b} \right)$

$Z$  คือระยะทางในเบค มีหน่วยเป็นเมตร

$\varepsilon_b$  คือสัดส่วนช่องว่างของเบค

$\tau$  คือตัวแปรไร้หน่วยของเวลา โดย  $\tau = k \left( t - \left( \frac{Z}{u} \right) \right)$

(Seader *et al.*, 2002)

## งานวิจัยที่เกี่ยวข้อง

Sowerby and Crittenden (1988) ได้ทำการทดสอบใช้โนเมเลกุลาร์ซีพชนิด A ในกระบวนการคุณชับไอกสมของเอทานอลและน้ำที่องค์ประกอบอะซิโอิโตรน เพื่อให้ได้เอทานอลไร้น้ำโดยใช้เครื่องคุณชับเบ肯นิ่ง ในสภาวะการคุณชับและคายชับเดียวกันพบว่าโนเมเลกุลาร์ซีพชนิด 4A ใช้งานได้ดีกว่าชนิด 3A เมื่อจากว่ามีความจุในการคุณชับสูงกว่า ความกว้างของบริเวณการถ่ายเทมวลน้อยกว่า และมีอัตราการคายชับที่สูงกว่า ที่ความเข้มข้นของน้ำต่ำมากๆ (น้อยกว่า 0.05 เปอร์เซ็นต์โดยน้ำหนัก) สามารถทำให้ได้เอทานอลไร้น้ำโดยที่อุณหภูมireิ่มต้นของเบดและปริมาณน้ำเริ่มต้นในสารละลายที่ป้อนไม่สูงมากนัก ส่วนโนเมเลกุลาร์ซีพชนิด 5A และ 10A ไม่เหมาะสมที่จะใช้ในกระบวนการแยกชนิดนี้ เพราะเมื่ออุณหภูมireิ่มสูงขึ้นจะไปเพิ่มการคุณชับทั้งเอทานอลและน้ำ และเป็นสาเหตุให้เอทานอลทำปฏิกิริยาเกิดเป็นผลผลิตพลอยได้ที่ไม่ต้องการขึ้น

Rakshit *et al.* (1993) ทำการทดสอบการคุณชับไอกนำจากไอกสมเอทานอลและน้ำ จากวัสดุเหลือใช้จากการเกษตรจำพวก lignocellulose เพื่อผลิตเอทานอลไร้น้ำโดยใช้ฟางข้าว microcrystalline cellulose powder (MCCP) และ chan อ้อย โดยเริ่มจากเอทานอลความเข้มข้น 80-90 เปอร์เซ็นต์ พนว่าจะได้ความเข้มข้นสุดท้ายมากกว่าความเข้มข้นอะซิโอิโตรน อีกทั้งยังมีการวิเคราะห์ทางด้านการใช้พลังงานของกระบวนการเพื่อเชิงบัญความเป็นไปได้ในการใช้วัสดุคุณชับประเภทต่างๆ เหล่านี้

Naono *et al.* (1996) ได้ทำการคุณชับสารละลายของน้ำและเอทานอลซึ่งมีสัดส่วนน้ำต่อเอทานอล 3:1 เข้าไปในรูพรุนของถ่านกัมมันต์ประเภท hydrophobic micropores จากนั้นได้ทำการคายชับที่อุณหภูมิ 25 องศาเซลเซียส เพื่อถ่ายโอนองค์ประกอบออกจากรูพรุนของถ่านกัมมันต์ จากการใช้วิธีการรวมเชิงปริมาตรและเชิงน้ำหนักพบว่าถ่านกัมมันต์มีค่าการเลือกที่จะคายชับน้ำได้ดีกว่าเอทานอล ดังนั้นจึงสามารถใช้ถ่านกัมมันต์ประเภท hydrophobic micropores ในการแยกน้ำออกจากเอทานอล ค่าการเลือกในการคายชับน้ำมีความสัมพันธ์กับแรงดึงดูดระหว่างน้ำกับพื้นผิวของถ่านกัมมันต์ซึ่งมีค่าน้อยกว่าแรงดึงดูดระหว่างเอทานอลกับพื้นผิวของถ่านกัมมันต์ โดยที่น้ำมีพลังงานการคุณชับกับพื้นผิวคุณชับ 17-32 กิโลกรัมต่้อมล น้อยกว่าเอทานอลซึ่งมี 43-52 กิโลกรัมต่้อมล จึงมีความเป็นไปได้ที่จะผลิตเอทานอลบริสุทธิ์จากสารละลายเอทานอลเจือจางที่ได้จากกระบวนการหมักจากข้อมูลที่ได้ข้างต้น

Beery *et al.* (1998) Corn grits ได้ถูกนำมาทำการทดสอบเป็นสารคุณความชื้นในเครื่องคุณชับเบ肯นิ่งแบบเปลี่ยนแปลงความดันซึ่งใช้ในการผลิตอากาศแห้ง corn grits ที่ยังไม่ได้มีการปรับปรุงคุณสมบัติสองขนาดคือ ขนาดเส้นผ่านศูนย์กลาง 2.16 และ 0.978 มิลลิเมตร สามารถทำให้

อาการแห้งได้จนถึงจุดน้ำค้าง -42 และ -69 องศาเซลเซียส ตามลำดับ เทคโนโลยีการปรับปรุงคุณสมบัติของ corn grits โดยใช้อ่อนไชม์อัลฟ่าอะไเมเลสทำให้เพิ่มความจุในการดูดซับ ซึ่งทำให้สามารถดูดซับความชื้นในปริมาณที่มากขึ้นจากอากาศจนใกล้เคียงกับการใช้โมเลกุลาร์ซีพที่สภาวะเดียวกัน หลังจากที่มีการปรับปรุงคุณภาพของ corn grits ขนาด 2.16 และ 0.978 มิลลิเมตรสามารถทำให้อาการแห้งได้จนถึงจุดน้ำค้าง -56 และ -80 องศาเซลเซียส ตามลำดับ การปรับปรุงคุณสมบัติของ corn grits โดยการเพิ่มพื้นที่ผิวในการดูดซับ ซึ่งจะทำให้มีการเพิ่มกลุ่มไฮดรอกซิลซึ่งจะใช้ในการดูดซับน้ำ การประยุกต์ในการใช้งานคือ ใช้ในเครื่องดูดซับเบนดิ่งแบบเปลี่ยนแปลงความดันที่ใช้ทำอากาศแห้งในเครื่องปรับอากาศและอุปกรณ์ในอุตสาหกรรมที่ทำให้ไอะระเหยของสารชนิดต่างๆ แห้ง

Banat *et al.* (2000) ได้ทำการศึกษาถึงผลของการมีโมเลกุลาร์ซีพ 3A และ 4A ในระบบของสมคูลไอและของเหลวของสารละลายนอกและน้ำ โดยใช้เครื่องวิเคราะห์ headspace gas chromatography (HSGC) พบว่าการมีโมเลกุลาร์ซีพทำให้ความเข้มข้นที่สมคูลมีค่าเพิ่มขึ้นสูงกว่าความเข้มข้นของไฮโตรน โดยทำการทดลองป้อนอาหารแล้วเพิ่มน้ำ 40 เปอร์เซ็นต์ ที่อุณหภูมิ 70 องศาเซลเซียส พบร่วมน้ำหนักและขนาดของรูพรุนของโมเลกุลาร์ซีพมีผลต่อความเข้มข้นของอาหารที่เพิ่มขึ้น โดยที่เมื่อน้ำหนักของโมเลกุลาร์ซีพ 3A และ 4A เพิ่มขึ้นแล้วความเข้มข้นของไฮโตรนลดลงเพิ่มขึ้นค้ายกถึงน้ำหนัก 6.5 กรัมความเข้มข้นจะคงที่ ส่วนขนาดของรูพรุนของโมเลกุลาร์ซีพ 3A จะทำให้ความเข้มข้นเพิ่มขึ้นมากกว่าโมเลกุลาร์ซีพ 4A

Beery and Ladisch (2001) สารดูดความชื้นที่ใช้ในอุตสาหกรรมในปัจจุบันดังนี้ โมเลกุลาร์ซีพ ลิติเทียมคลอไรด์ ซิลิกาเจล และ corn grits มีเพียง corn grits ที่สามารถย่อยสลาย และใช้เป็นแหล่งพลังงานทดแทนได้ องค์ประกอบที่สำคัญของ corn grits คือแบ่งซึ่งประกอบไปด้วยสารอะไเมโลสและอะไโลเปกตินซึ่งเป็นวัสดุดูดซับ โมเลกุลของน้ำจะถูกดูดซับโดยพันธะไฮดรอกซิลและไฮดรอกซิลบนโมเลกุลของแป้ง ส่วนองค์ประกอบอื่นๆ ของ corn grits คือโพลีแซคคาไรด์ เชลลูโลส และเอมิเชลลูโลส ก็มีคุณสมบัติในการดูดซับเรื่องกัน การใช้อ่อนไชม์และฟ้าอะไเมเลสในการปรับปรุงคุณสมบัติเพิ่มความพรุนและพื้นที่ผิวของแป้งเป็นผลให้มีการเพิ่มคุณสมบัติในการดูดซับเมื่อเทียบกับวัสดุเดิม

Carmo and Gubulin (2002) ทำการทดลองแยกอาหารอลน้ำโดยใช้วัสดุกรการดูดซับแบบเปลี่ยนแปลงความดันเป็นระบบของภาชนะและใช้สารดูดซับซีไฮด์ 3A วัสดุกรการทำงานถูกควบคุมให้อยู่ภายใต้สภาวะดังนี้ ป้อนอาหารอลที่ความเข้มข้นอะไโลโตรน 95% ด้วยอัตราการป้อน 2, 4, 6, และ 8 ลิตรต่อชั่วโมง, อุณหภูมิ 200 องศาเซลเซียส, ความดัน 2, 4, และ 6 บาร์ ภายใน 10 นาที

ที่ความดันสุญญากาศ 0.2 บาร์ ผลจากตัวแปรต่างๆเหล่านี้ที่มีต่อความเข้มข้นที่เพิ่มขึ้นของ พลิตกัณฑ์ เปอร์เซ็นต์การป้อนกลับของพลิตกัณฑ์ และต่อเวลารวมของวัสดุจากการทำงาน ได้ถูก ทำการศึกษาโดยใช้ความดันในการดูดซับเป็นพารามิเตอร์ จากผลการทดลองแสดงให้เห็นว่าตัว แปรต่างๆ เหล่านี้ส่งผลกระทบอย่างชัดเจนต่อค่าต่างๆ ที่สนใจ การเพิ่มขึ้นของอัตราการป้อนทำให้ ความเข้มข้นของพลิตกัณฑ์ลดลง ในขณะที่จะไปเพิ่มเปอร์เซ็นต์การป้อนกลับของพลิตกัณฑ์ ในทาง ตรงกันข้ามการเพิ่มความดันทำให้ความเข้มข้นของพลิตกัณฑ์เพิ่มขึ้น ในขณะที่จะไปลดเปอร์เซ็นต์ การป้อนกลับของพลิตกัณฑ์ การนำผลที่ได้ไปเปรียบเทียบกับสมการอิเมิ่งไฟริกัลจะได้ผลที่ สอดคล้องน่าพอใจ และจากการใช้วิธีการวิเคราะห์ของริดจ์สามารถที่จะใช้หาสภาวะที่เหมาะสม ของตัวแปรต่างๆ ที่ใช้งานได้

## อุปกรณ์และวิธีการ

### อุปกรณ์

#### 1. เครื่องมือและอุปกรณ์ที่ใช้ในงานวิจัย

1.1 เครื่องดูดซับเบดนิ่งแบบเปลี่ยนแปลงความดัน (Pressure swing fixed bed adsorber) การสร้างเครื่องดูดซับเบดนิ่งที่ใช้ในงานวิจัยนี้ เลือกสัดส่วนมาจากเครื่องดูดซับเบดนิ่งซึ่งใช้ในอุตสาหกรรมการผลิตเอทานอลไรน้ำ จากโรงงานขอนแก่นแออกอชอล์ จังหวัดขอนแก่น ซึ่งมีกำลังการผลิต 108,000 ลิตรต่อวัน โดยใช้เครื่องดูดซับเบดนิ่งรูปทรงกระบอก เส้นผ่าศูนย์กลาง 1 เมตร สูง 4.5 เมตร จากการคำนวณจะได้ค่าเวลาที่ใช้ในการดูดซับ = 0.051 นาที นำมาใช้ในการลดสัดส่วนเพื่อสร้างเครื่องดูดซับที่ใช้ในการทดลอง (ดูการคำนวณจากภาคผนวก ง)

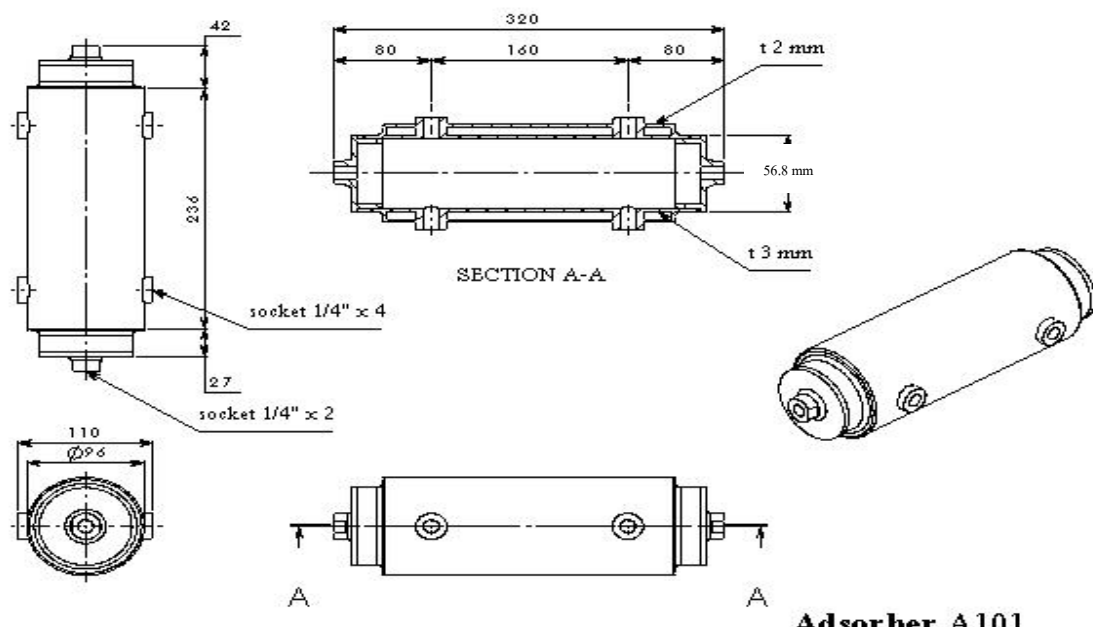


ภาพที่ 11 เครื่องดูดซับไอน้ำออกจากไออดสมอเอทานอลเบดนิ่งแบบเปลี่ยนแปลงความดัน

เครื่องดูดซับเบดนิ่งแบบเปลี่ยนแปลงความดันเป็นอุปกรณ์หลักในการทำงาน ทำหน้าที่ เป็นเครื่องดูดซับและเครื่องแยกเปลี่ยนความร้อนแบบแจ็กเก็ตไปในตัว ถูกสร้างด้วยโลหะแสตนเลส รูปทรงกระบอกมีเส้นผ่านศูนย์กลางภายใน 50.8 มิลลิเมตร เส้นผ่านศูนย์กลางภายนอก 56.8 มิลลิเมตร ยาว 228.6 มิลลิเมตร ภายนอกถูกหุ้มด้วยแจ็กเก็ตโลหะแสตนเลสกาว 17.6 มิลลิเมตร ดังแสดงในภาพที่ 11 และ 12 ซึ่งด้านบนและด้านล่างเป็นหน้าแปลนยึดด้วยเกลียวเพื่อให้ถอดประกอบ

ได้ เพื่อใช้ในการบรรจุเข้าห้องหรือเทสารคุณภาพออกเมื่อต้องการบรรจุสารคุณภาพใหม่หรือเปลี่ยนประเภทของสารคุณภาพ

เครื่องมือวัดสภาพของเครื่องคุณภาพประกอบไปด้วยเกจวัดความดัน 2 ตัวคือ PG1 และ PG2 ซึ่งสามารถวัดความดันได้ทั้งความดันมากกว่าบรรยายกาศ 2 บาร์ และความดันสูญญากาศ -1 บาร์ (dual band pressure gauge) การวัดความดันมากกว่าบรรยายกาศใช้ในขั้นตอนของการคุณภาพ ส่วนการวัดความดันสูญญากาศใช้ในขั้นตอนการพยายาม ยกทั้งเรือสามารถทราบค่าความดันต่อกันร่วมเบดได้จากค่าความแตกต่างของความดันคร่อมเบดทั้งสองตำแหน่ง ส่วนการวัดอุณหภูมิในเครื่องคุณภาพประกอบไปด้วยเครื่องวัดอุณหภูมิ (thermocouple) ชนิด K ซึ่งถูกติดตั้งไว้ 4 ตำแหน่ง คือ TT2 และ TT3 ติดตั้งไว้ด้านบนของเครื่องคุณภาพ ต่ำลงมาจากเบด 10 มิลลิเมตรเท่ากันแต่อุ่นและค่านของเครื่องคุณภาพ ส่วน TT4 และ TT5 ติดตั้งไว้ด้านล่างของเครื่องคุณภาพ สูงขึ้นมาจากเบด 10 มิลลิเมตรเท่ากันแต่อุ่นและค่าน



**Adsorber A101**

**ภาพที่ 12** แบบของเครื่องคุณภาพเบดคันเปลี่ยนแปลงความดัน

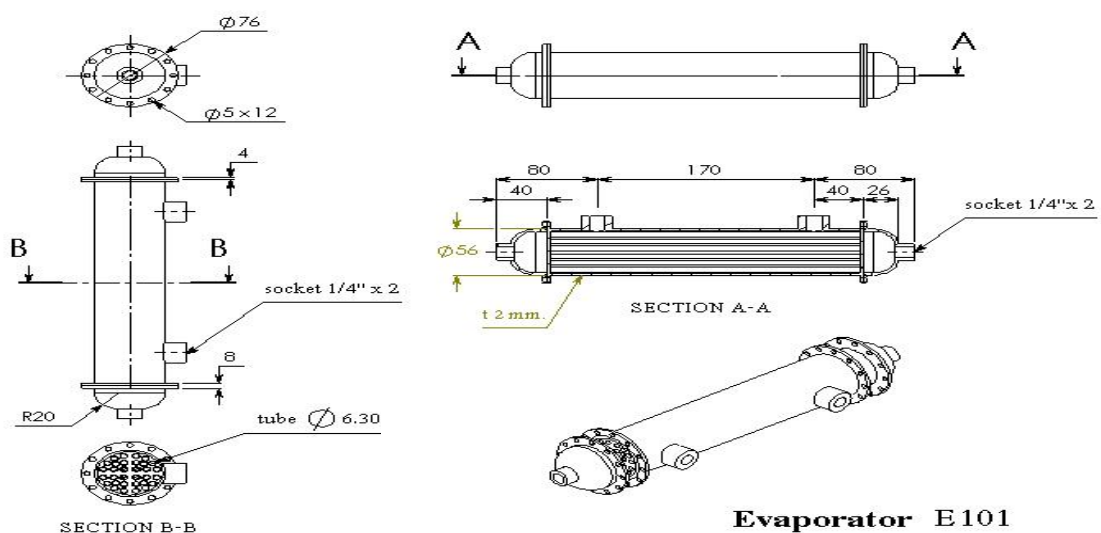
1.2 เครื่องระเหยเอทานอลเหลว (Ethanol vaporizer) เป็นเครื่องแยกเปลี่ยนความร้อนแบบเชลล์และทิวน์ จัดวางในแนวตั้งสร้างด้วยโลหะสแตนเลส ทำหน้าที่ระเหยเอทานอลเหลว ทางด้านเชลล์จะเป็นด้านให้ความร้อนโดยใช้น้ำมันร้อนอุณหภูมิ 150-185 องศาเซลเซียส ไอลในทิศทาง

เดี่ยวกันกับอุตสาหกรรมในด้านทิวบ์ โดยมีแผ่นมัฟเฟอร์ 5 แผ่นวางสลับกันเพื่อบังคับทิศทางการไหลของน้ำมันร้อน เพื่อเพิ่มประสิทธิภาพในการแลกเปลี่ยนความร้อน



ภาพที่ 13 เครื่องระเหยอุตสาหกรรมเหลว

ส่วนทางด้านทิวบ์ประกอบด้วยกลุ่มท่อสแตนเลสขนาด  $\frac{1}{4}$  นิ้ว ยาว 250 มิลลิเมตร จำนวน 28 ท่อ มีพื้นที่ผิวแลกเปลี่ยนความร้อน 0.139 ตารางเมตร ดังแสดงในภาพที่ 13 และ 14



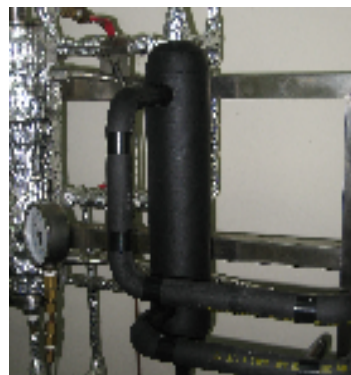
ภาพที่ 14 แบบของเครื่องระเหยอุตสาหกรรมเหลว

1.3 เครื่องสร้างไออกอทานอลร้อนยาดยิ่ง (Ethanol vapor superheater) เป็นเครื่องแลกเปลี่ยนความร้อนแบบเชลล์และทิวบ์ วางในแนวตั้งสร้างด้วยโลหะสแตนเลสทำหน้าที่สร้างไออกอทานอลให้เป็นไออกอทานยาดยิ่งเพื่อป้องกันการควบแน่นกลับเป็นของเหลวภายในเครื่องดูดซับดังแสดงในภาพที่ 15 มีลักษณะของแบบและการทำงานเหมือนกับเครื่องระเหยเอทานอลเหลวต่างกันที่มีจำนวนท่อ 20 ท่อ มีพื้นที่ผิวแลกเปลี่ยนความร้อน 0.108 ตารางเมตร

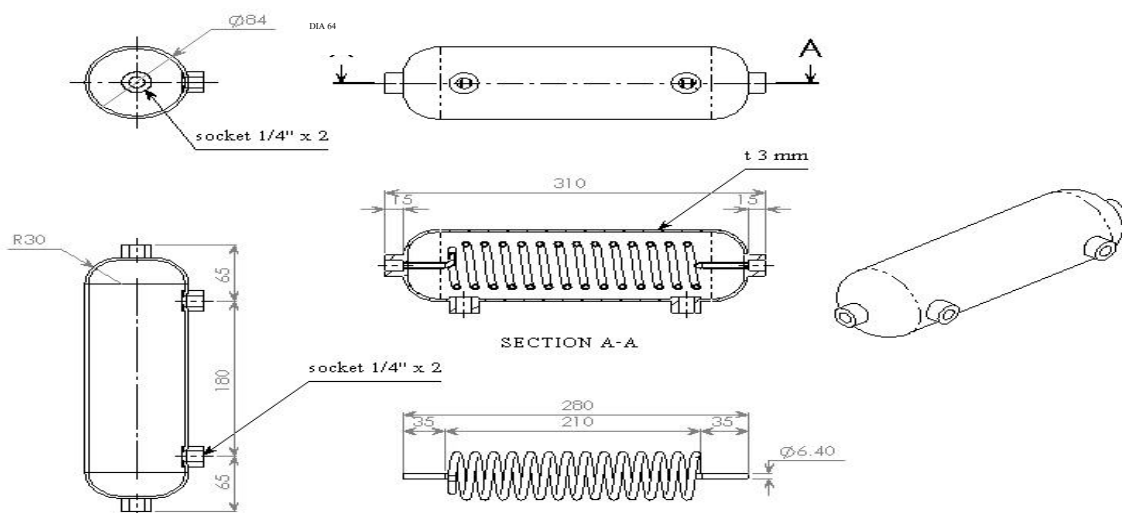


ภาพที่ 15 เครื่องสร้างไออกอทานอลร้อนยาดยิ่ง

1.4 เครื่องหล่อเย็นเอทานอล (Ethanol Cooler) เป็นเครื่องแลกเปลี่ยนความร้อนแบบแจ็คเก็ตและคอยล์สร้างด้วยโลหะสแตนเลส วางในแนวตั้งทำหน้าที่ควบแน่นไออกอทานอลให้กลับเป็นของเหลว ทางด้านแจ็คเก็ตจะมีน้ำหล่อเย็นอุณหภูมิ 0-5 องศาเซลเซียส ให้ล่วนทางกับทิศทางการไหลของเอทานอลในคอยล์ด้วยอัตราการไหล 5 ลิตรต่อนาที ตัวเครื่อง มีขนาดเส้นผ่านศูนย์กลาง 2.5 นิ้ว สูง 32 เซนติเมตร ส่วนคอยล์เป็นห่อสแตนเลสขนาด 1/4 นิ้ว ยาว 1 เมตร มีวนเป็นกลีบวชิ่งมีเส้นผ่านศูนย์กลาง 1.5 นิ้ว มีพื้นที่แลกเปลี่ยนความร้อน 0.02 ตารางเมตร ดังแสดงในภาพที่ 16 และ 17



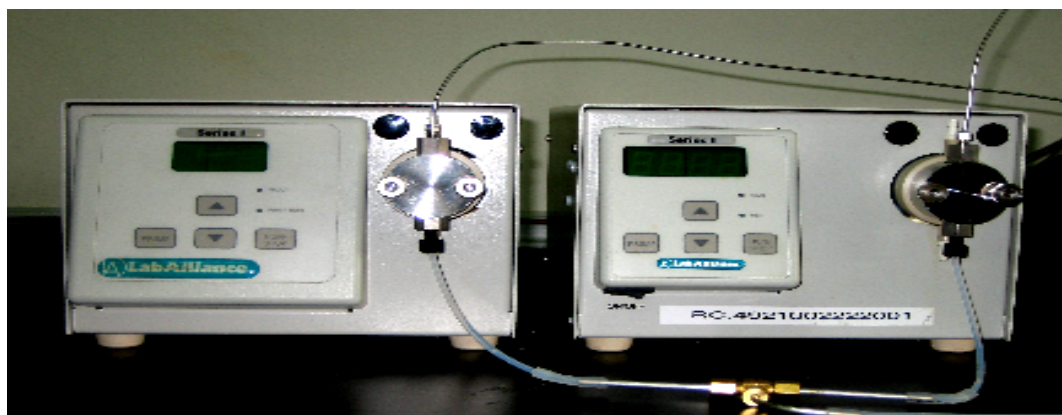
ภาพที่ 16 เครื่องหล่อเย็นเอทานอล



Cooler E103

ภาพที่ 17 แบบของเครื่องหล่อเย็นอุตสาหกรรม

## 1.5 ปั๊มปืนอุตสาหกรรม



ภาพที่ 18 ปั๊มปืนอุตสาหกรรมที่ใช้ในการวิจัย

ปั๊มปืนอุตสาหกรรม (ดังแสดงในภาพที่ 18) มีรายละเอียดต่างๆ ดังนี้

Specification for the Series I pump model of Lab Alliance

Flow Rates                    0.01 to 10.00 ml./min

Flow Accuracy                3%

Flow Precision	0.5% RSD
Pressure	0 to 2,500 psi for 10 ml. Stainless Steel or Bioclean head
Dimensions	6 ¼" high, 7 ¾" wide, 14" deep
Weight	15 lb
Power	100-240 VAC, 50-60 Hz (1 Amp)
Features	Autoprime™ purging Autoflush™ piston wash
Remote Inputs	RS-232

1.6 ขวดปีอนเอทานอลไร้น้ำ (Anhydrous ethanol feed bottle) ขวดปีอนเอทานอล 95.5 เปอร์เซ็นต์โดยน้ำหนัก (95.5 wt% ethanol feed bottle) และขวดรักษาแรงดันในขวดปีอนเอทานอล (Pressure accumulator)



ภาพที่ 19 ขวดปีอนเอทานอลไร้น้ำ ขวดปีอนเอทานอล 95.5 เปอร์เซ็นต์โดยน้ำหนัก และขวดรักษาแรงดันในขวดปีอนเอทานอล

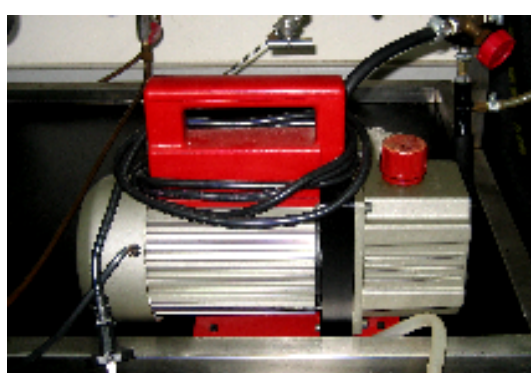
ขวดป้อนเอทานอลเป็นขวดแก้วฝาปิดปริมาตร 900 มิลลิลิตร ถ้าใช้เป็นขวดป้อนเอทานอล 95.5 เปอร์เซ็นต์โดยน้ำหนัก ที่อัตราการป้อนสูงสุด 9.83 มิลลิลิตรต่อนาที จะใช้เวลาในการป้อนได้นาน 90 นาที ส่วนขวดป้อนเอทานอลไร่น้ำ ที่อัตราการป้อนสูงสุด 2.95 มิลลิลิตรต่อนาที จะใช้เวลาในการป้อนได้นาน 5 ชั่วโมง และมีการรักษาแรงดันเหนือผิวอุตสาหกรรมเหลวในขวดป้อนด้วยก๊าซ ในไตรเจนความดัน 0.1-0.2 บาร์ ดังแสดงในภาพที่ 19

1.7 กระเพาะแรงดันสูญญากาศ (Vacuum drum) ทำจากโลหะสแตนเลสรูปทรงกรวยมีเส้นผ่าศูนย์กลาง 2.5 นิ้ว สูง 12 เซนติเมตร ดังแสดงในภาพที่ 20 สร้างขึ้นเพื่อใช้รักษาแรงดันสูญญากาศของเครื่องดูดซับขณะอยู่ในขั้นตอนของการถ่ายซับ และยังใช้เป็นจุดเก็บตัวอย่างเอทานอลเพื่อนำมาวิเคราะห์ผลด้วย



ภาพที่ 20 กระเพาะแรงดันสูญญากาศ

1.8 ปั๊มสร้างแรงดันสูญญากาศ (Vacuum pump)

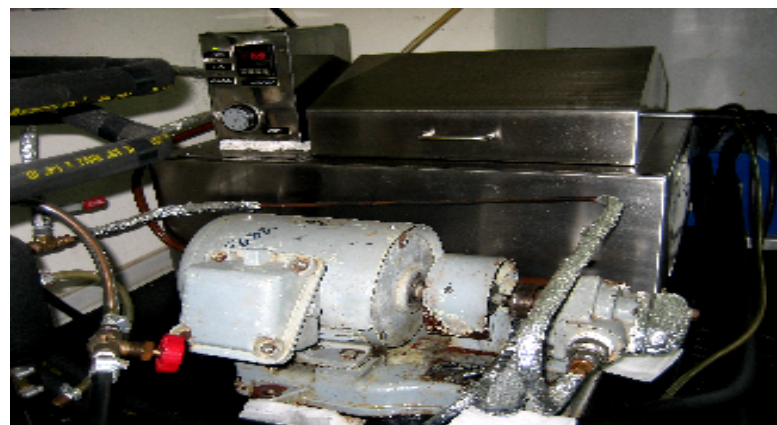


ภาพที่ 21 ปั๊มสร้างแรงดันสูญญากาศ

ปั๊มสร้างแรงดันสูญญากาศ (ดังแสดงในภาพที่ 21) มีรายละเอียดต่างๆ ดังนี้

Trademark	MIZU
Pump kind	1 stage vacuum pump
Model	FY-1C
Free Air Displacement	42 l/min
Ultimate Vacuum	5 Pa
Voltage	220V / 50Hz
Power	1/4 HP
Oil Capacity	280 ml

1.9 เครื่องผลิตน้ำมันร้อนและปั๊มน้ำมันร้อน (ดังแสดงในภาพที่ 22)



ภาพที่ 22 เครื่องผลิตน้ำมันร้อนและปั๊มน้ำมันร้อน

1.10 เครื่องผลิตน้ำหล่อเย็น(Cooling water generator) ดังแสดงในภาพที่ 23



ภาพที่ 23 เครื่องผลิตน้ำหล่อเย็น

1.11 เครื่องวัดอุณหภูมิแบบ 12 ช่อง (12 channel scanning thermocouple thermometer)



ภาพที่ 24 เครื่องวัดอุณหภูมิแบบ 12 ช่อง

เครื่องวัดอุณหภูมิแบบ 12 ช่อง ดังแสดงในภาพที่ 24 มีรายละเอียดต่างๆ ดังนี้

#### สัญญาณเข้า

- สามารถต่อไฟฟ้าได้ 12 ช่องสัญญาณซึ่งแต่ละช่องจะมีการทำงานที่แยกออกจากกัน
- สามารถใช้กับ thermocouple ได้หลายแบบ
- สามารถใช้ไฟฟ้า thermocouple ชนิดต่างๆ ได้ดังนี้ B, E, J, K, N, R, S หรือ T
- สามารถสั่งงานให้แต่ละช่องทำงานหรือไม่ทำงานได้

#### การแสดงผล

- ข้อมูลที่แสดงได้แก่หมายเลขช่อง และอุณหภูมิที่วัดได้ขณะนั้น
- สามารถตั้งเวลาในการเก็บข้อมูลแบบอัตโนมัติได้ตั้งแต่ 4 วินาที ถึง 1 ชั่วโมง
- สามารถเลือกหน่วยในการวัดอุณหภูมิได้คือ °C, °F, K หรือ °R
- แสดงค่าความละเอียดในการวัดอุณหภูมิได้ถึง 0.1°
- สามารถแสดงอุณหภูมิที่กำลังวัดอยู่ อุณหภูมิต่ำสุด อุณหภูมิสูงสุด หรืออุณหภูมิเฉลี่ย

### 1.12 เครื่องวัดความหนาแน่นของเหลวชนิดควบคุมอุณหภูมิ (Density meter)



ภาพที่ 25 เครื่องวัดความหนาแน่นของเหลว

เครื่องวัดความหนาแน่นของเหลว ดังแสดงในภาพที่ 25 มีรายละเอียดต่างๆ ดังนี้

- รุ่น DE40 (Density meter, 4 place precision with build-in temperature control and viscosity correction) ยี่ห้อ METTLER TOLEDO
- เป็นเครื่องวัดความหนาแน่นของเหลวอัตโนมัติ โดยอาศัยหลักการวัดค่า Resonant frequency ของของเหลวภายในหลอดแก้วโดยส่วนที่ใช้วัดค่าความหนาแน่นซึ่งตั้งอยู่บนส่วนบนของตัวเครื่องทำให้สะดวกต่อการใส่ / น้ำสารตัวอย่าง
- สามารถวัดความหนาแน่นในช่วง 0-3 กรัมต่อลูกบาศก์เซนติเมตร และมีค่าความถูกต้อง (Accuracy) 0.0001 กรัมต่อลูกบาศก์เซนติเมตร ใช้ปริมาณตัวอย่าง 1.2 มิลลิลิตร
- สามารถตั้งอุณหภูมิการวัดได้ในช่วง 4 – 90 องศาเซลเซียส และอ่านค่าทศนิยมได้ละเอียด 1 ตำแหน่ง (0.1 องศาเซลเซียส)
- ภายในตัวเครื่องประกอบไปด้วยตัวควบคุมอุณหภูมิอิเล็กทรอนิก (Built-in Thermostat : Peltier) เพื่อการควบคุมอุณหภูมิในขณะวัดได้อย่างถูกต้อง โดยไม่ต้องต่ออุปกรณ์เพิ่ม พร้อมมีโปรแกรม Temperature compensation ช่วยในการทำงาน
- สามารถเก็บวิธีการวัดได้ 10 วิธี และถ้าใช้ memory card (อุปกรณ์ประกอบเพิ่ม) สามารถเก็บได้ถึง 100 วิธี

- สามารถป้อนข้อมูลตารางความเข้มข้นของสารต่างๆ เก็บในหน่วยความจำเพื่อใช้ในการหาค่าความเข้มข้นได้โดยอัตโนมัติโดยไม่ต้องใช้อุปกรณ์อื่นๆ มาช่วย
- สามารถคำนวณความเข้มข้นหน่วยพิเศษต่างๆ คือ Brix, Alcohol, API เมื่อมี Application memory card (เป็นอุปกรณ์ประกอบเพิ่ม) โดยการป้อนข้อมูลตารางความเข้มข้นดังกล่าวในหน่วยความจำ
- หน้าจอแสดงผลเป็นแบบ LCD High contrast สามารถป้อนข้อมูลได้ทั้งตัวเลขและตัวอักษร ให้ข้อมูลที่ชัดเจน และเป็นไปตาม GLP (Good Laboratory Practise)

1.13 เตาเผาไฟฟ้า (Electrical furnace) ดังแสดงในภาพที่ 26



ภาพที่ 26 เตาเผาไฟฟ้า

1.14 ตู้อบลมร้อน (Hot air oven) ดังแสดงในภาพที่ 27



ภาพที่ 27 ตู้อบลมร้อน

1.15 เครื่อง Gas Sorption Analyzer ดังแสดงในภาพที่ 28



ภาพที่ 28 เครื่อง Gas Sorption Analyzer รุ่น Autosorp I ของบริษัท Quantachrome

## 2. สารเคมีและวัสดุคิดที่ใช้ในงานวิจัย

2.1 เอทานอลไร้น้ำ (anhydrous ethanol, C<sub>2</sub>H<sub>5</sub>OH) AR grade ของบริษัท MERCK

2.2 น้ำปราศจากไอออน (deionised water) ใช้สำหรับเตรียมสารละลายน้ำเอทานอล

2.3 ก๊าซไนโตรเจน (nitrogen, N<sub>2</sub>) Industrial grade ของบริษัท Thai Industrial Gas (TIG)

2.4 ไมเลกุลาร์ซีฟ 3A (molecular sieve 3A) ดังแสดงในภาพที่ 29 ของบริษัท ZEOCHEM ชนิด Z3-03 ethanol dehydration grade รูปทรงกลมขนาด 2.5-5 มิลลิเมตร (4x8 mesh) เป็นสารอัลคาไลน์อะลูมิโน-ซิลิกาตประเทท โปรแทสเซียมของโครงสร้างผลึกชนิด A สารคุดซับชนิดนี้จะมีค่า effective pore opening ประมาณ 3 อั้งสตอม (0.3 นาโนเมตร) มีสูตรทางเคมีโดยทั่วไป  $0.45 \text{ K}_2\text{O} \cdot 0.55 \text{ Na}_2\text{O} \cdot \text{Al}_2\text{O}_3 \cdot 2 \text{ SiO}_2 \cdot n\text{H}_2\text{O}$



ภาพที่ 29 ไมเมกุลาร์ซีพ 3A ของบริษัท ZEOCHEM

2.5 เถ้าโลหะถ่านหิน (fly ash) ดังแสดงในภาพที่ 30 จากโรงไฟฟ้าบริษัท Glow นิคม อุตสาหกรรมมาบตาพุด จ. ระยอง



ภาพที่ 30 เถ้าโลหะถ่านหิน

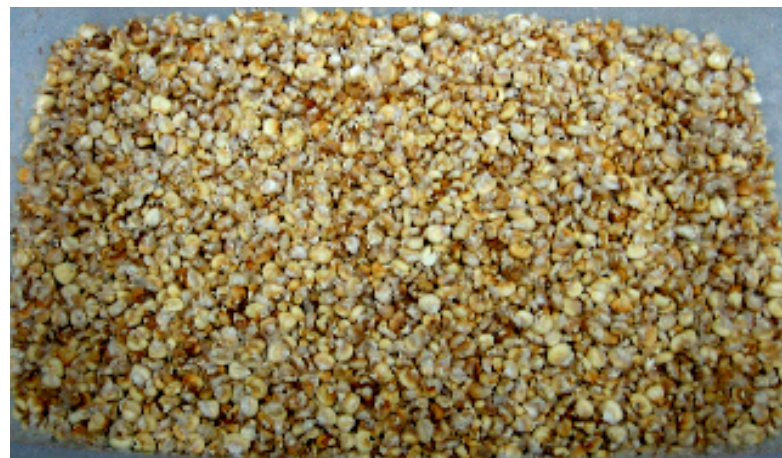
2.6 ปูนซีเมนต์ (cement) ตราเสือเขียว จากบริษัทปูนซีเมนต์ไทย

2.7 ดินขาว (China clay) ดังแสดงในภาพที่ 31 จากจังหวัดลำปาง



ภาพที่ 31 คินขาว

2.8 เมล็ดข้าวโพดข้าวเหนียว (glutinous corn) ดังแสดงในภาพที่ 32



ภาพที่ 32 เมล็ดข้าวโพดข้าวเหนียว

2.9 พางข้าว (rice straw)

2.10 ชานอ้อย (bagasse)

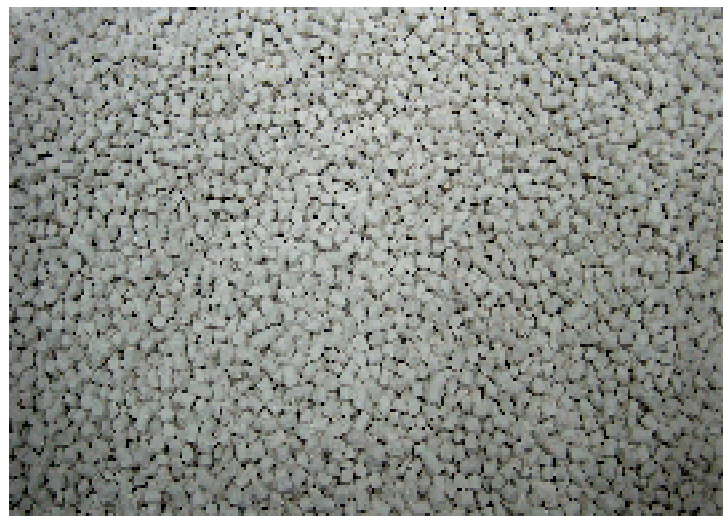
## วิธีการวิจัย

### 1. การเตรียมสารคูดซับ

สารคูดซับที่ใช้ในงานวิจัยนี้มี 11 ชนิด ได้แก่

1.1 สารคูดซับที่ใช้ในอุตสาหกรรมการผลิตอุปกรณ์ไฟฟ้า 1 ชนิด คือโมเลกุลาร์ชีพ 3A ของบริษัท Zeochem

1.2 ดินขาว นำมาขึ้นรูปเป็นทรงกรวยอกซึ่งมีเส้นผ่านศูนย์กลางและความสูงอยู่ในช่วง 3-5 มิลลิเมตร ดังแสดงในภาพที่ 33 จากนั้นนำมาผ่านกระบวนการต่างๆ เพื่อทำสารคูดซับ 3 ชนิด คือ ชนิดแรกนำมาอบลมร้อนที่อุณหภูมิ 120 องศาเซลเซียส 48 ชั่วโมง ชนิดที่สองนำไปเผาที่อุณหภูมิ 500 องศาเซลเซียส 3 ชั่วโมง และชนิดที่สามนำไปเผาที่อุณหภูมิ 1,200 องศาเซลเซียส 1 ชั่วโมง



ภาพที่ 33 ดินขาวขึ้นรูป

1.3 ปูนซีเมนต์และถ้าล้อย่านหิน นำมาผสมน้ำแล้วปล่อยให้แข็งตัว จากนั้นนำมาบดย่อยแล้วคัดขนาดโดยตะแกรงในช่วง 8 ถึง 12 mesh ดังแสดงในภาพที่ 34 โดยมีการใช้ส่วนผสม 3 ชนิด คือ ชนิดแรกใช้เฉพาะปูนซีเมนต์ ส่วนชนิดที่สองและสามผสมถ้าล้อย่านหินกับปูนซีเมนต์ด้วยอัตราส่วน 1:1 และ 3:1 โดยปริมาตรตามลำดับ



ภาพที่ 34 เถ้าloyยถานหินผสมปูนซีเมนต์

1.4 เมล็ดข้าวโพดข้าวเหนียว นำมาอบลมร้อนที่อุณหภูมิ 70 องศาเซลเซียส 48 ชั่วโมง 2 ชนิด ชนิดแรกใช้เมล็ดข้าวโพดข้าวเหนียวเต็มเมล็ด ชนิดที่สองใช้เมล็ดข้าวโพดข้าวเหนียวฝ่าซีก ดังแสดงในภาพที่ 35



ภาพที่ 35 เมล็ดข้าวโพดข้าวเหนียวฝ่าซีก

1.5 พางข้าว นำมาหั่นเป็นท่อนๆ ยาว 3-5 มิลลิเมตร ดังแสดงในภาพที่ 36 แล้วนำมาอบด้วยลมร้อนที่อุณหภูมิ 70 องศาเซลเซียส 48 ชั่วโมง



ภาพที่ 36 พังข้าว

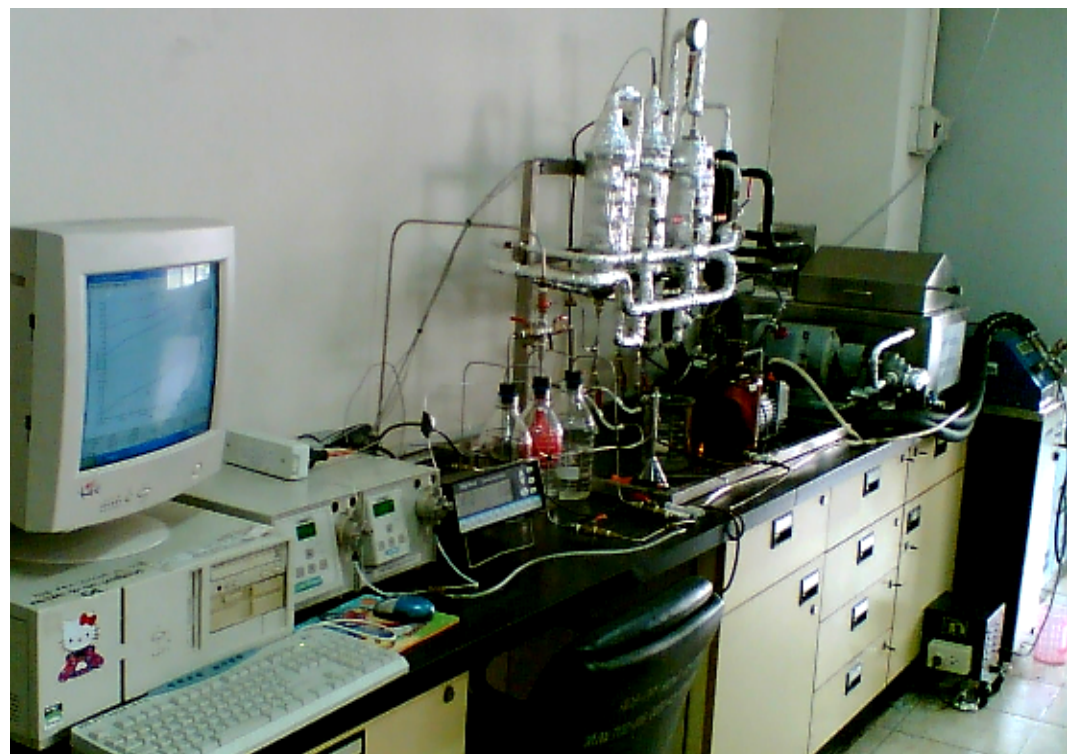
1.6 ชานอ้อย นำมาหั่นเป็นท่อนๆ ยาว 3-5 มิลลิเมตร ดังแสดงในภาพที่ 37 แล้วนำมาอบลมร้อนที่อุณหภูมิ 70 องศาเซลเซียส 48 ชั่วโมง



ภาพที่ 37 ชานอ้อย

## 2. การทดลองโดยใช้ชุดทดสอบสารคุณ牲

ชุดทดสอบสารคุณ牲ที่ใช้ในการทดลอง ดังแสดงในภาพที่ 38



ภาพที่ 38 ชุดทดสอบสารคุณ牲ในกระบวนการผลิตเชื้อเพลิง



ชุดทดสอบสารคุณซับในกระบวนการผลิตอุตสาหกรรมไวน์ที่ใช้ในงานวิจัย ดังแสดงในภาพที่ 39 ประกอบด้วยอุปกรณ์ต่างๆ คือ (1) ปั๊มป้อนอุตสาหกรรมไวน์; (2) ปั๊มป้อนอุตสาหกรรมไวน์; (3) เครื่องวัดอุณหภูมิ; (4) ขวดป้อนอุตสาหกรรมไวน์; (5) ขวดรักษาแรงดันในขวดป้อนอุตสาหกรรม; (6) ขวดป้อนอุตสาหกรรม 95.5 เปอร์เซ็นต์; (7) เครื่องระบายอุตสาหกรรมเหลว; (8) เครื่องสร้างไออกอตโนมัติขึ้นเยื่ออุตสาหกรรม; (9) เครื่องคุณซับเบนนิ่งแบบเปลี่ยนแปลงความดัน; (10) เครื่องหล่อเย็นอุตสาหกรรมร้อนเย็น; (11) กระเพาะแรงดันสูญญากาศ; (12) ปั๊มสร้างแรงดันสูญญากาศ; (13) เครื่องผลิตน้ำมันร้อน; (14) ปั๊มน้ำมันร้อน; (15) เครื่องผลิตน้ำหล่อเย็น; (16) ถังบรรจุแก๊สในไตรเจน; (17) เครื่องปรับแรงดันแก๊สในไตรเจน; (18) ขวดเก็บอุตสาหกรรมที่ถูกปล่อยจากระบบ; (19) ตู้ดูดควัน; V คือวาล์ว; TT คือเทอร์โมคัปเปิล; PG คือเครื่องแสดงความดัน; LG คือเครื่องแสดงระดับของเหลว

## 2.1 การทดลองหาสมดุลของการคุณซับไวน์จากไออกซิเจนของอุตสาหกรรมและน้ำของสารคุณซับในสภาพะอุณหภูมิกึ่งที่

เพื่อหาความสัมพันธ์ระหว่างความจุของไวน์ที่ถูกคุณซับในสารคุณซับกับความเข้มข้นของไออกซิเจนของอุตสาหกรรมและน้ำ ในสภาพะสมดุลที่อุณหภูมิกึ่งที่ โดยมีขั้นตอนการทดลองดังนี้คือ

### 2.1.1 ขั้นตอนการพยายามนำ้ออกจากสารคุณซับโดยใช้แก๊สในไตรเจนร้อน

2.1.1.1 ตรวจสอบและปล่อยอุตสาหกรรมเหลวที่ค้างในเครื่องระบายอุตสาหกรรมเหลวและเครื่องสร้างไออกอตโนมัติขึ้นเยื่ออุตสาหกรรม v10, v28 และ v29 ปิดวาล์ว v5, v11, v14, และ v15 ตั้งเครื่องปรับแรงดันแก๊สในไตรเจนไว้ที่ 0.5 บาร์ แล้วเปิดวาล์ว v16 เล็กน้อยเพื่อช่วยในการปล่อยอุตสาหกรรมเหลวที่ค้างในเครื่องระบายอุตสาหกรรมเหลว และเครื่องสร้างไออกอตโนมัติขึ้นเยื่ออุตสาหกรรม v10, v16, v28 และ v29

2.1.1.2 ทำการเตรียมสารละลายอุตสาหกรรมกับน้ำที่มีความเข้มข้น 90 ถึง 99 เปอร์เซ็นต์ ในขวดป้อนอุตสาหกรรม ให้ได้ปริมาตร 600 มิลลิลิตร เก็บตัวอย่างน้ำไปวิเคราะห์ความเข้มข้น แล้วทำการบันทึกความเข้มข้นที่ได้เตรียมไว้

2.1.1.3 ทำการเตรียมระบบเครื่องคุณซับเบนนิ่งเพื่อเพิ่มอุณหภูมิให้กับสารคุณซับภายในเครื่องคุณซับ โดยทำการปิดวาล์ว v10, v13, v14 และ v15 แล้วเปิดวาล์ว v11, v12 และ v30

2.1.1.4 ทำการเปิดเครื่องทำน้ำมันร้อน เปิดวาล์ว v24 แล้วปิดวาล์ว v21, v22 และ v23 จากนั้นทำการเดินปั๊มน้ำมันร้อนแล้วค่อยๆ เพิ่มอุณหภูมิของน้ำมันร้อนขึ้นไปจนถึง 150 องศาเซลเซียสด้วยอัตรา 50-70 องศาเซลเซียสต่อชั่วโมง

2.1.1.5 อย่างตามดูอุณหภูมิที่ต้องการ ภายในเบด เมื่อเพิ่มน้ำหนักคงที่แล้วค่อยๆ ทำการเปิด v16 ปรับความดันก๊าซในไทรเจนที่ต้องการ PG1 ให้ได้ 0.2 บาร์ ปล่อยก๊าซในไทรเจนเข้าไปทำการพยายามชั่บนำ้ออกจากเบด แล้วให้ลองอุณหภูมิคงที่

2.1.1.6 ทำการพยายามชั่บ 5 ชั่วโมง ซึ่งในระหว่างที่ระบบอยู่ในสภาพวงจรตัวทำการบันทึกข้อมูลความดันคร่อมเบด PG1 PG2 อุณหภูมิของน้ำมันร้อน และอุณหภูมิที่ต้องการต่างๆ ภายในเบดนั้น

2.1.1.7 หลังจากทำการพยายามชั่บนำ้ออกจากสารคุดชั่บครบ 5 ชั่วโมงแล้ว ทำการปิดวาล์ว v16 และ v30

## 2.1.2 ขั้นตอนการปรับระบบเข้าสู่สมดุลของการคุดชั่บในสภาพอุณหภูมิกังหัน

2.1.2.1 ทำการเดินระบบนำ้หล่อเย็น โดยเปิดวาล์ว v25, v26 และ v27 เดินปั๊มน้ำหล่อเย็นแล้วเดินระบบหล่อเย็นโดยปรับอุณหภูมิไว้ที่ 0 องศาเซลเซียส แล้วรอจนกระหึ่งอุณหภูมิของน้ำหล่อเย็นลดลงจนถึง 0 องศาเซลเซียส

2.1.2.2 เปิดวาล์ว v22 และ v23 ปล่อยน้ำมันร้อนไอลิฟฟ์เข้าสู่เครื่องระยะเวลาต่อเนื่องและเครื่องสร้างไออุ่นอุ่นไอลิฟฟ์ อุณหภูมิของน้ำมันร้อนจะลดลงเนื่องจากการถ่ายเทพบนร้อนให้เครื่องระยะเวลาต่อเนื่องและเครื่องสร้างไออุ่นอุ่นไอลิฟฟ์ รอจนอุณหภูมิของน้ำมันร้อนปรับเพิ่มกลับมาคงที่ๆ 150 องศาเซลเซียส

2.1.2.3 ทำการเตรียมระบบเพื่อป้อนอุ่นไอลิฟฟ์ในระบบ โดยเปิดวาล์ว v2, v4, v5, v11, v12, v14, v15 และ v18 แล้วปิดวาล์ว v1, v3, v6, v28, v29, v10, v13, v16 และ v17 จากนั้นเดินปั๊มน้ำอุ่นไอลิฟฟ์ค่าอัตราการไอลิฟฟ์ไว้ที่ 4.91 มิลลิลิตรต่อนาที เพื่อป้อนอุ่นไอลิฟฟ์ในระบบ (ดูการสอนเที่ยบหาอัตราการไอลิฟฟ์ของปั๊มน้ำอุ่นไอลิฟฟ์จากภาคผนวกฯ)

2.1.2.4 ติดตามดูอุณหภูมิที่ตั้งแห่ง TT1, TT2, TT3, TT4 และ TT5 ซึ่งจะลดลงเมื่อเริ่มป้อนอุณหภูมิเข้าสู่ระบบ หลังจากนั้นอุณหภูมิจะปรับตัวเพิ่มขึ้นจนคงที่ แล้วทำการจับเวลาต่อไปอีก 2 ชั่วโมง ในระหว่างที่ระบบอยู่ในสภาพวงตัวทำการบันทึกข้อมูลปริมาตรในวดป้อน ความดันคร่อมเบด PG1 PG2 อุณหภูมิของน้ำมันร้อน อุณหภูมิบนเครื่องสร้างไออุตสาหกรรมร้อนเย็น อุณหภูมิที่ตั้งแห่งต่างๆ ของเบด และอุณหภูมิของน้ำหล่อเย็น

2.1.2.5 เก็บตัวอย่างนำໄไปวิเคราะห์ความเข้มข้น แล้วทำการบันทึกความเข้มข้นที่ได้เป็นระยะๆ 15 นาที จนกระทั่งความเข้มข้นมีค่าคงที่

2.1.2.6 นำข้อมูลที่ได้ไปคำนวณหาความชุ่วไอน้ำของสารดูดซับ ในสภาพสมดุลของการดูดซับที่อุณหภูมิกองที่ (ดูตัวอย่างการคำนวณหาความชุ่วไอน้ำของสารดูดซับ จากส่วนท้ายของภาคผนวก ก)

2.1.2.7 ต่อไปให้เริ่มต้นใหม่จากขั้นตอนที่ 2.1.1.1 การขยายตัวน้ำออกจากการดูดซับโดยใช้ก๊าซในไตรเจนร้อน แต่ทำการเตรียมสารละลายอุตสาหกรรมอลกั้บน้ำ เช่นเดียวกันกับขั้นตอนที่ 2.1.1.2 ด้วยความเข้มข้นอื่นๆ

2.1.2.8 การปรับระบบเข้าสู่สมดุลของการดูดซับในสภาพอุณหภูมิกองที่ เมื่อทำการทดลองที่อุณหภูมน้ำมันร้อน 150 องศาเซลเซียสเสร็จแล้ว ให้เพิ่มอุณหภูมน้ำมันร้อนไปที่ 175 องศาเซลเซียส แล้วทำการทดลองด้วยขั้นตอนเช่นเดียวกัน

2.2 การทดลองหาเส้นโค้งการคูดซับไอน้ำจากไออดสมของเอทานอลและน้ำ เข้าสู่สารคูดซับ และการทดลองหาเส้นโค้งการคายซับไอน้ำจากสารคูดซับ ออกสูไออดสมของเอทานอลและน้ำ

เพื่อหาความสัมพันธ์ระหว่างความเข้มข้นของสารละลายเอทานอลที่ไหลออกจากการเบด กับเวลาที่ผ่านไป ขณะเกิดการคูดซับและคายซับไอน้ำ โดยมีอัตราการป้อนและอุณหภูมิของเครื่องคูดซับเป็นตัวแปร มีขั้นตอนทำการทดลองดังนี้คือ

2.2.1 ขั้นตอนการหาเส้นโค้งการคูดซับไอน้ำจากไออดสมของเอทานอลและน้ำ เข้าสู่สารคูดซับ (ป้อนเข้าทางด้านล่างของเครื่องคูดซับ)

2.2.1.1 ตรวจสอบและปล่อยเอทานอลเหลวที่ค้างในเครื่องระเหยเอทานอลเหลวและเครื่องสร้างไอเอทานอลร้อนbatch (ดูขั้นตอนการคายซับน้ำออกจากสารคูดซับโดยใช้ก๊าซในโตรเจนร้อน ข้อ 2.1.1.1)

2.2.1.2 ทำการเปิดเครื่องทำน้ำมันร้อน เปิดวาล์ว v22, v23 และ v24 แล้วปิดวาล์ว v21 จากนั้นทำการเดินปั๊มน้ำมันร้อนแล้วก่ออย่าง เพิ่มอุณหภูมิของน้ำมันร้อนขึ้นไปจนถึง 150 องศาเซลเซียสด้วยอัตรา 50-70 องศาเซลเซียสต่อชั่วโมง โดยติดตามดูอุณหภูมิที่ตำแหน่งต่างๆ บนเครื่องสร้างไอเอทานอลร้อนbatch และภายในเบคของเครื่องคูดซับเบคนิ่ง ที่เพิ่มขึ้นจนคงที่

2.2.1.3 ทำการเดินระบบนำหล่อเย็นโดยเปิดวาล์ว v25, v26 และ v27 เดินปั๊มน้ำหล่อเย็นแล้วเดินระบบหล่อเย็นโดยปรับอุณหภูมิไว้ที่ 0 องศาเซลเซียส แล้วรอจนกระหึ้งอุณหภูมิของน้ำหล่อเย็นลดลงจนถึง 0 องศาเซลเซียส

2.2.1.4 ทำการเตรียมสารละลายเอทานอล 95.5 เปอร์เซ็นต์โดยนำน้ำหนักใส่ลงในขวดป้อน

2.2.1.5 ทำการเตรียมระบบก่อนป้อนสารละลายเอทานอลเข้าโดยเปิดวาล์ว v2, v5, v11, v12, v14, v15, v17 และปิดวาล์ว v1, v3, v4, v6, v28, v29, v30, v10, v13, v16, v18, v19, v20

2.2.1.6 ทำการเดินปั๊มป้อนสารละลายเอทานอล 95.5 เปอร์เซ็นต์เข้าระบบ (ด้วยอัตราการไหล 5.90 หรือ 7.86 หรือ 9.83 มิลลิลิตรต่อนาที) โดยติดตามดูอุณหภูมิของเบดที่ตำแหน่ง TT4 และ TT5 ถ้าเริ่มเปลี่ยนแปลงก็ให้เริ่มจับเวลา

2.2.1.7 คอยติดตามคูที่เครื่องวัดระดับ LG ของกระเบาะแรงดันสุญญาการถ้าเริ่มวัดระดับได้ให้ทำการเก็บตัวอย่างโดยเปิดวาล์ว v20 และใช้หลอดน้ำดูดตัวอย่างออกมา บันทึกเวลาขณะเก็บตัวอย่าง

2.2.1.8 นำตัวอย่างที่ได้ไปวิเคราะห์หาความเข้มข้น จากนั้นทำการเก็บตัวอย่างไปเรื่อยๆ จนความเข้มข้นที่ออกจากเครื่องดูดซับมีค่าใกล้เคียงกับความเข้มข้นที่ป้อนเข้า นำผลที่ได้ไปสร้างกราฟความสัมพันธ์ระหว่างความเข้มข้นของสารละลายอุตสาหกรรมที่ไหลออกจากเบด กับเวลาต่อไป

2.2.1.9 ขณะทำการทดลองเมื่อความดันและอุณหภูมิของระบบคงที่ ทำการบันทึกความดัน PG1 PG2 และอุณหภูมิที่ตำแหน่งต่างๆ

หมายเหตุ หลังจากทำการทดลองที่อุณหภูมิน้ำมันร้อน 150 องศาเซลเซียส เสร็จแล้วให้ทำการทดลองที่อุณหภูมน้ำมันร้อนเพิ่มขึ้นเป็น 175 องศาเซลเซียส

2.2.2 ขั้นตอนการหาเส้นโค้งการหายชั้บไอน้ำจากสารดูดซับ ออกสู่ไอกลมของอุตสาหกรรม และน้ำ (ป้อนเข้าทางด้านบนของเครื่องดูดซับ)

2.2.2.1 ทำการตามขั้นตอน ข้อ 2.2.1.1 ถึง 2.2.1.3 (อุณหภูมิของน้ำมันร้อน 160 องศาเซลเซียส)

2.2.2.2 ทำการเติมอุตสาหกรรมไวน้ำลงในขวดป้อน

2.2.2.3 ทำการเติมระบบก่อนป้อนอุตสาหกรรมไวน้ำเข้าโดยเปิดวาล์ว v1, v5, v10, v11, v12, v13, v17 และปิดวาล์ว v2, v3, v4, v6, v28, v29, v30, v14, v15, v16, v18, v19, v20

2.2.2.4 ทำการเดินปั๊มสร้างแรงดันสุญญากาศ และใช้วาล์ว v19 ปรับให้ระบบเครื่องดูดซับอยู่ในสภาพแรงดันสุญญากาศในช่วง -0.4 ถึง -0.3 บาร์ โดยดูจาก PG1 และ PG2

2.2.2.5 ทำการเดินปั๊มป้อนอุตสาหกรรมไวน้ำเข้าระบบ (ด้วยอัตราการไอล 0.98 หรือ 1.97 หรือ 2.95 มิลลิลิตรต่อนาที) คอยติดตามดูอุณหภูมิของเบดที่ตำแหน่ง TT2 และ TT3 ถ้าเริ่มเปลี่ยนแปลงก็ให้เริ่มจับเวลา

2.2.2.6 คopolytidตามคุณภาพที่เครื่องวัดระดับ LG ของกระเบ郭แรงดันสูญญากาศถ้าเริ่มวัดระดับได้ให้ทำการเก็บตัวอย่างโดยเปิดวาล์ว v20 แล้วใช้หลอดน้ำดယาดูดตัวอย่างออกมา บันทึกเวลาและเก็บตัวอย่าง

2.2.2.7 นำตัวอย่างที่ได้ไปวิเคราะห์หาความเข้มข้น จากนั้นทำการเก็บตัวอย่างไปรีอย่า จนความเข้มข้นที่ออกจากเครื่องดูดซับมีค่าใกล้เคียงกับความเข้มข้นที่ป้อนเข้า นำผลที่ได้ไปสร้างกราฟความสัมพันธ์ระหว่างความเข้มข้นของสารละลายอุตสาหกรรมที่ให้หลอดจากเบดกับเวลาต่อไป

2.2.2.8 ขณะทำการทดลองเมื่ออุณหภูมิของระบบคงที่ ทำการบันทึกอุณหภูมิที่ตำแหน่งต่างๆ

หมายเหตุ หลังจากทำการทดลองที่อุณหภูมน้ำมันร้อน 160 องศาเซลเซียส เสร็จแล้วให้ทำการทดลองที่อุณหภูมน้ำมันร้อนเพิ่มขึ้นเป็น 185 องศาเซลเซียส

3. การศึกษาตัวแปรที่มีผลต่อสมดุลการดูดซับที่อุณหภูมิกองที่ เส้นโค้งการดูดซับ และเส้นโค้งการคายซับของสารดูดซับที่ใช้ในงานวิจัย

#### ตารางที่ 4 การศึกษาตัวแปรที่มีผลต่อสมดุลการดูดซับที่อุณหภูมิกองที่

การทดลอง	อุณหภูมน้ำมัน (องศาเซลเซียส)	ความเข้มข้นที่ป้อน (wt%)	อัตราป้อน (ม.ล.ต่อน้ำที่)	ผลที่สภาวะสมดุล
1	150	ความเข้มข้น 1	4.91(50%)	1.ความเข้มข้นที่สมดุล
2	150	ความเข้มข้น 2	4.91(50%)	2.อุณหภูมิของเบด
3	150	ความเข้มข้น 3	4.91(50%)	3.ความดันของเบด
4	150	ความเข้มข้น 4	4.91(50%)	
5	175	ความเข้มข้น 1	4.91(50%)	
6	175	ความเข้มข้น 2	4.91(50%)	
7	175	ความเข้มข้น 3	4.91(50%)	
8	175	ความเข้มข้น 4	4.91(50%)	

**ตารางที่ 5 การศึกษาตัวแปรที่มีผลต่อเส้นโค้งการดูดซับ**

การทดลอง	อุณหภูมิน้ำมัน (องศาเซลเซียส)	ความเข้มข้นปืน (wt%)	อัตราปืน (ม.ล.ต่อนาที)	ผลที่ต้องการศึกษา
1	150	95.5	5.90 (60%)	1. ความเข้มข้นของกาก
2	150	95.5	7.86 (80%)	ที่เวลาผ่านไป
3	150	95.5	9.83 (100%)	2. อุณหภูมิของเบดที่
4	175	95.5	5.90 (60%)	สภาวะคงตัว
5	175	95.5	7.86 (80%)	3. ความดันของเบดที่
6	175	95.5	9.83 (100%)	สภาวะคงตัว

**ตารางที่ 6 การศึกษาตัวแปรที่มีผลต่อเส้นโค้งการดูดซับ**

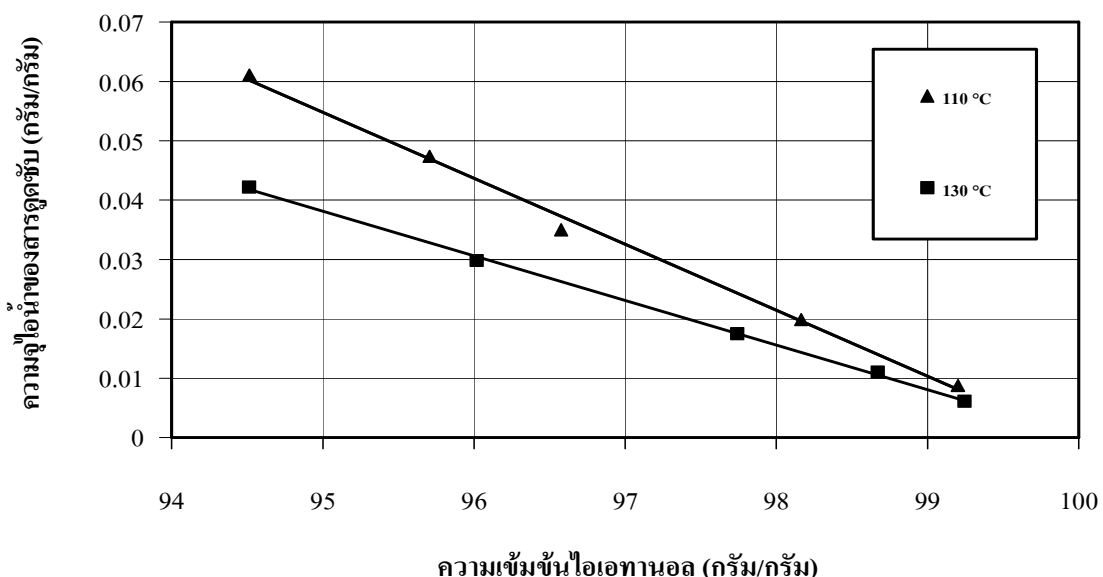
การทดลอง	อุณหภูมิน้ำมัน (องศาเซลเซียส)	ความเข้มข้นปืน (wt%)	อัตราปืน (ม.ล.ต่อนาที)	ความดัน (บาร์)	ผลที่ศึกษา
1	160	99.9	0.98 (10%)	-0.4 ~ -0.3	1. ความเข้มข้น
2	160	99.9	1.97 (20%)	-0.4 ~ -0.3	ของกากที่เวลา
3	160	99.9	2.95 (30%)	-0.4 ~ -0.3	ต่างๆ
4	185	99.9	0.98 (10%)	-0.4 ~ -0.3	2. อุณหภูมิเบดที่
5	185	99.9	1.97 (20%)	-0.4 ~ -0.3	สภาวะคงตัว
6	185	99.9	2.95 (30%)	-0.4 ~ -0.3	

หมายเหตุ ตัวเลขในวงเล็บของช่องอัตราปืนคือเปอร์เซ็นต์ของอัตราปืน โดยอัตราปืนสูงสุดคือ 9.83 มิลลิลิตรต่อนาที (ดูการคำนวณหาอัตราการปืนสูงสุดของเครื่องดูดซับเบดนิ่งที่ใช้ในการทดลอง จากภาคผนวก 1)

## ผลการทดลองและวิจารณ์

งานวิจัยนี้แบ่งการทดลองออกเป็น 3 ส่วน ส่วนแรกเป็นการทดสอบหาสมดุลการดูดซับที่อุณหภูมิกองที่ เส้นโถกการดูดซับ และเส้นโถกการคายซับไอน้ำของโมเลกุลาร์ซีพ 3A ส่วนที่สอง เป็น การทดสอบหาเส้นโถกการดูดซับไอน้ำโดยใช้วัสดุจากห้องถังถังต่างๆ และส่วนที่สาม เป็นการทดสอบหาสมดุลการดูดซับที่อุณหภูมิกองที่ เส้นโถกการดูดซับ และเส้นโถกการคายซับไอน้ำของเมล็ดข้าวโพดข้าวเหนียวผ่าซีกและวัสดุผสมถ้าloyถ่านหินกับปูนซีเมนต์อัตราส่วน 3 ต่อ 1 โดยปริมาตร โดยท้ายสุดจะเป็นส่วนของการเปรียบเทียบความสามารถในการดูดซับและคายซับไอน้ำของสารดูดซับโมเลกุลาร์ซีพ 3A กับวัสดุจากห้องถังถังเมล็ดข้าวโพดข้าวเหนียวผ่าซีก และ วัสดุผสมถ้าloyถ่านหินกับปูนซีเมนต์อัตราส่วน 3 ต่อ 1 โดยปริมาตร

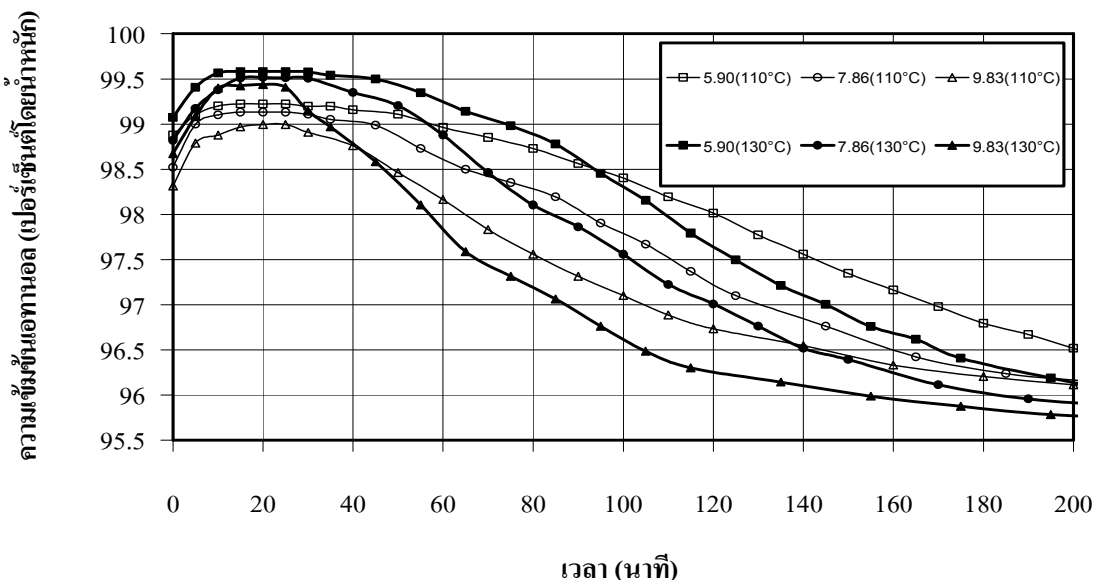
### 1. การทดสอบหาสมดุลการดูดซับไอน้ำที่อุณหภูมิกองที่ เส้นโถกการดูดซับ และเส้นโถกการคายซับ ไอน้ำของโมเลกุลาร์ซีพ 3A



ภาพที่ 40 สมดุลการดูดซับไอน้ำที่อุณหภูมิ 110 และ 130 องศาเซลเซียส ของโมเลกุลาร์ซีพ 3A

จากการที่ 40 เมื่อสารดูดซับโมเลกุลาร์ซีพ 3A กับไออกซ์เจนของอากาศและนำเข้าสู่สภาวะสมดุลที่อุณหภูมิกองที่ 110 และ 130 องศาเซลเซียส พบร่วมกับความสัมพันธ์ระหว่างความชื้นไอน้ำของสารดูดซับกับความเข้มข้นของไออกซ์เจน พบว่า ความสัมพันธ์ระหว่างความชื้นไอน้ำของสารดูดซับกับความเข้มข้นของไออกซ์เจน เป็นเส้นตรงมีแนวโน้มผ่านจุด (100,0) ดังสมการจากกฎของเอนรี  $q = Kc$  โดยที่  $q$  คือความชื้นของสารดูดซับ  $K$  คือค่าคงที่ของสมดุลการดูดซับที่

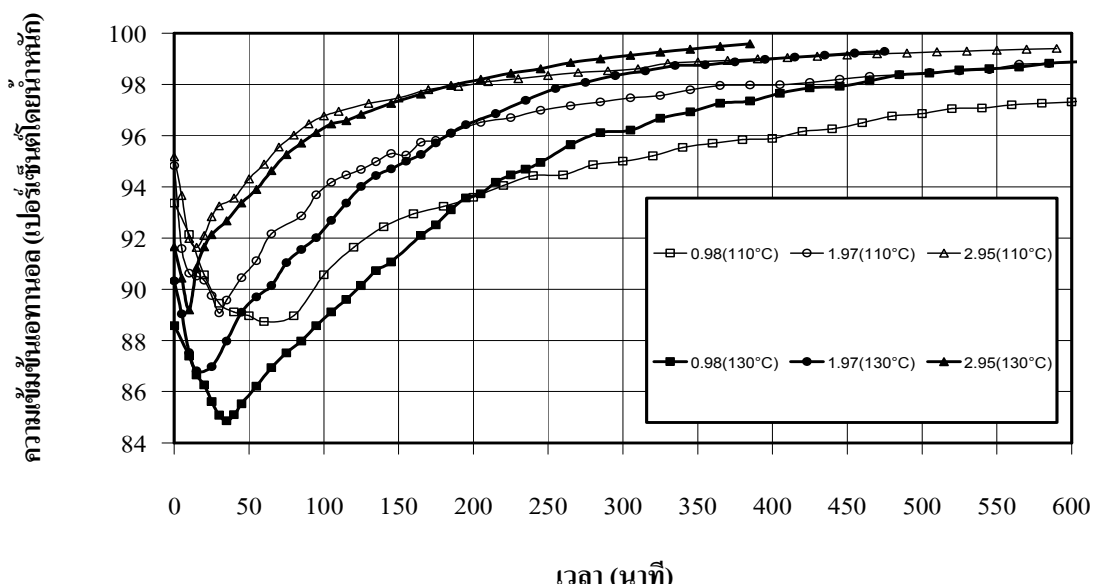
อุณหภูมิกที่ และ  $c$  คือความเข้มข้นของไฮดรอกซิ สารดูดซับ ซึ่งมีความชันหรือค่าคงที่ของสมดุล การดูดซับที่อุณหภูมิ 110 องศาเซลเซียส เท่ากับ 0.01112 มากกว่าที่อุณหภูมิ 130 องศาเซลเซียส ซึ่ง มีค่าเท่ากับ 0.00756 (ดูข้อมูลการทดลอง ข้อมูลการคำนวณจากตารางผนวกที่ ก1 และตัวอย่างการ คำนวณจากด้านท้ายของภาคผนวก ก)



ภาพที่ 41 เส้นโค้งการดูดซับไอน้ำจากไ/op สมของเอทานอลและน้ำเข้าสู่โมเลกุลาร์ซีพ 3A ที่ อุณหภูมิ 110 และ 130 องศาเซลเซียส อัตราการป้อนเอทานอลเพิ่มขึ้น 95.5 เปอร์เซ็นต์ โดยน้ำหนัก 5.90, 7.86, และ 9.83 มิลลิลิตรต่อนาที

จากการที่ 41 การใช้โมเลกุลาร์ซีพ 3A เป็นสารดูดซับ แนวโน้มเส้นกราฟแต่ละสภาวะจะ เป็นเส้นโค้งรูปตัว S กลับด้าน โดยในช่วงเวลาเริ่มต้นจะมีความเข้มข้นของเอทานอลที่ออกจากเบด เพิ่มขึ้นจนถึงค่าสูงสุดเนื่องจากเบดว่างจากไอน้ำทำให้ความด้านทานรวมในการถ่ายเทมวลดำรง จึงมี การดูดซับไอน้ำได้มาก เมื่ออุณหภูมิกที่ที่ 110 หรือ 130 องศาเซลเซียสอัตราการป้อนที่ต่ำลงความ เข้มข้นเอทานอลที่ออกจากเบดจะสูงขึ้น และจะรักษาระดับความเข้มข้นที่ค่าสูงสุดนี้ไว้ได้เป็น เวลานานกว่าในกรณีของอัตราการป้อนที่สูงขึ้น ซึ่งสอดคล้องกับผลการทดลองของ Carmo *et al.* (2002) เนื่องจากอัตราการป้อนที่ต่ำลงนั้น ทำให้ไ/op สมของเอทานอลและน้ำมีเวลาที่ใช้ในการดูด ซับในเครื่องดูดซับเบดนั่งที่นานกว่า ส่วนผลของอุณหภูมิจะเห็นได้ว่า ที่อุณหภูมิ 130 องศาเซลเซียสจะทำให้ได้ความเข้มข้นในช่วงต้นสูงกว่าที่อุณหภูมิ 110 องศาเซลเซียสที่อัตราการป้อน เดียวกันซึ่งแสดงถึงว่าการใช้โมเลกุลาร์ซีพ 3A เป็นสารดูดซับไอน้ำจากไ/op สมเอทานอลที่อุณหภูมิ 130 องศาเซลเซียส ความด้านทานรวมในการถ่ายเทมวลดำรงกว่าที่อุณหภูมิ 110 องศาเซลเซียส และหลังจากที่ความเข้มข้นเพิ่มขึ้นจนถึงค่าสูงสุดแล้ว จะเริ่มลดลงจนใกล้กับค่าของความเข้มข้นเอ

ท่านอลที่ป้อนเข้ามีเวลาผ่านไปเนื่องจากโมเลกุลาร์ซีพจะดูดซับไอน้ำจนอิ่มตัว โดยจากแนวโน้มของกราฟที่อุณหภูมิ 110 องศาเซลเซียส มีอัตราการลดลงของความชื้นขึ้นน้อยกว่าที่อุณหภูมิ 130 องศาเซลเซียส ทำให้ใช้เวลาที่มากกว่าในการทำให้ความชื้นขึ้นอุ่นอ่อนคล่องจนเท่ากับความชื้นขึ้นของอุ่นอ่อนคลอดที่ป้อนเข้าคือ 95.5 เปอร์เซ็นต์โดยน้ำหนัก เนื่องจากการผลิตอุ่นอ่อนรีน้ำนั้นต้องการอุ่นอ่อนที่มีความชื้นขึ้นมากกว่า 99.5 เปอร์เซ็นต์โดยน้ำหนัก เพื่อใช้เป็นเชื้อเพลิง ในด้านความชื้นขึ้นสูงสุดจะเห็นได้ว่าที่อุณหภูมิ 130 องศาเซลเซียส อัตราการป้อน 5.90 มิลลิลิตรต่อนาที ให้ความชื้นขึ้นของอุ่นอ่อนสูงสุดถึง 99.58 เปอร์เซ็นต์โดยน้ำหนัก โดยในช่วงนาทีที่ 10 ถึง 35 จะได้ความชื้นขึ้นของอุ่นอ่อนสูงกว่า 99.54 เปอร์เซ็นต์โดยน้ำหนัก และถ้าเพิ่มอัตราการป้อนเป็น 7.86 มิลลิลิตรต่อนาที จะให้ความชื้นขึ้นสูงสุด 99.51 เปอร์เซ็นต์โดยน้ำหนัก ซึ่งน้อยลงกว่ากรณีของการใช้อัตราป้อน 5.90 มิลลิลิตรต่อนาที โดยในช่วงนาทีที่ 15 ถึง 30 จะให้ความชื้นขึ้นสูงกว่า 99.50 เปอร์เซ็นต์โดยน้ำหนัก ส่วนสภาวะอื่นๆที่ทำการทดสอบไม่มีสภาวะใดที่ทำให้ได้ความชื้นขึ้นสูงกว่า 99.5 เปอร์เซ็นต์โดยน้ำหนัก (ดูข้อมูลที่ได้จากการทดลองจากตารางผนวกที่ ข1.1)

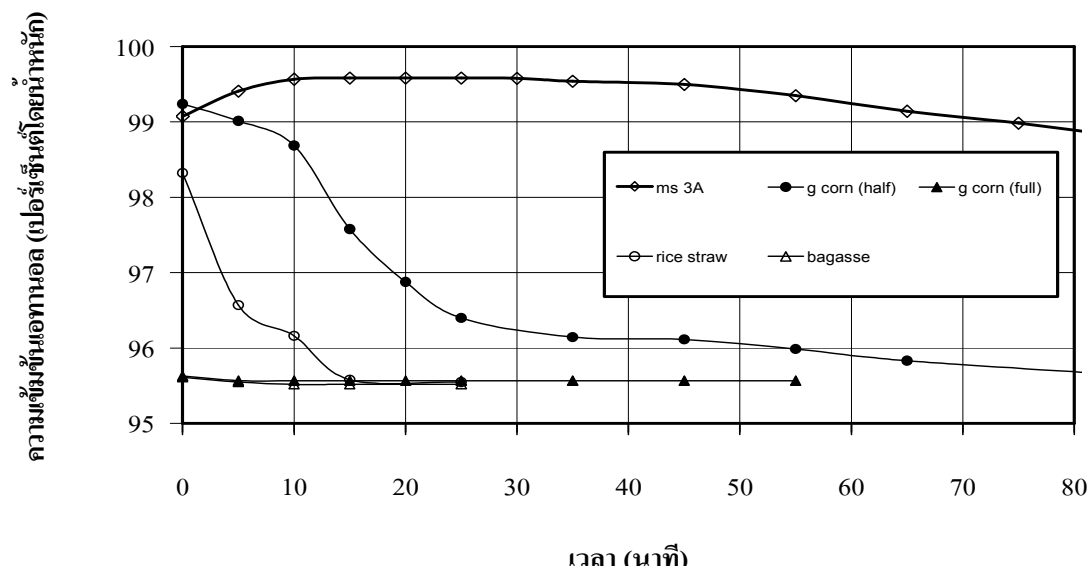


ภาพที่ 42 เส้นโค้งการคายซับไอน้ำออกจากโมเลกุลาร์ซีพ 3A เข้าสู่ไออกอุ่นอ่อนคลอดรีน้ำที่ป้อนเข้าในสภาวะความดันสูญญากาศ -0.4 ถึง -0.3 บาร์ อุณหภูมิ 110 และ 130 องศาเซลเซียส โดยป้อนอุ่นอ่อนคลอดรีน้ำที่อัตราการป้อน 0.98, 1.97, และ 2.95 มิลลิลิตรต่อนาที

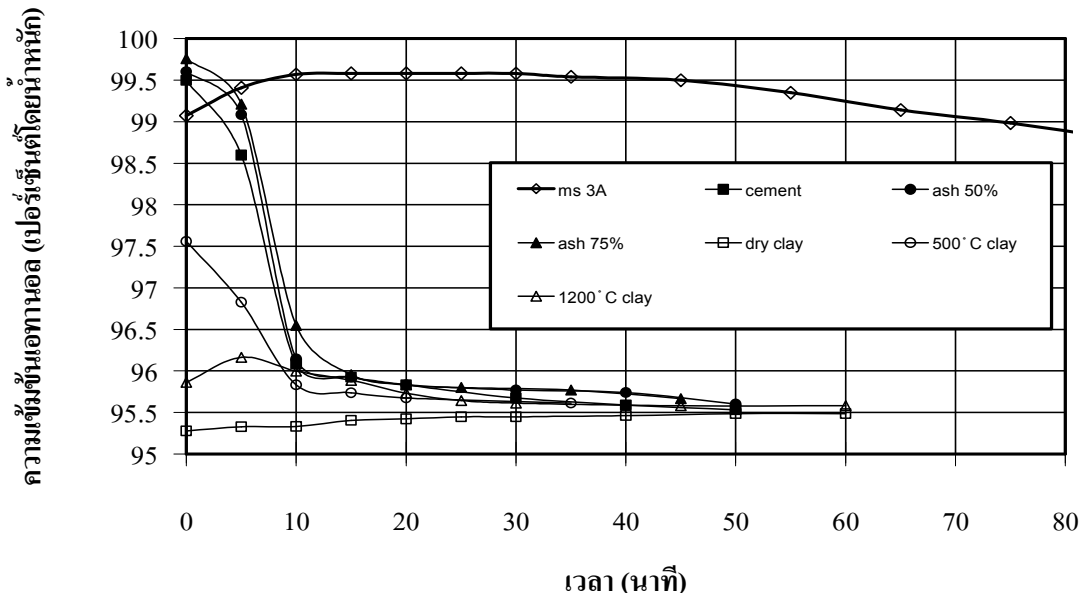
จากภาพที่ 42 แสดงให้เห็นว่าโมเลกุลาร์ซีพ 3A สามารถฟื้นฟูสภาพกลับ (regenerate) โดยใช้วิธีการคายซับด้วยการป้อนอุ่นอ่อนคลอดรีน้ำ ซึ่งแนวโน้มของกราฟแต่ละเส้นจะเป็นเส้นโค้งรูปตัว S โดยในช่วงเวลาเริ่มต้นความชื้นขึ้นของอุ่นอ่อนคลอดที่ออกจากเบดจะลดลงจนถึงค่าต่ำสุดเนื่องจาก

ไอน้ำคายซับออกจากไม้เลกุลาร์ซีพเข้าสู่ไออกองอ Ethanol ไร้น้ำ ซึ่งอัตราการป้อนที่ต้องทำให้ความเข้มข้นต่ำสุดมีค่าน้อยกว่าการณ์การใช้อัตราการป้อนที่สูง ส่วนผลของอุณหภูมิต่อความเข้มข้นต่ำสุดจะเห็นได้ว่าที่อัตราป้อนเท่ากันอุณหภูมิ 130 องศาเซลเซียสให้ความเข้มข้นของอ Ethanol ที่จุดต่ำสุดมีค่าน้อยกว่าที่อุณหภูมิ 110 องศาเซลเซียส แสดงให้เห็นว่าที่อุณหภูมิ 130 องศาเซลเซียส มีการคายซับไอน้ำออกจากไม้เลกุลาร์ซีพ 3A ได้มากกว่าที่อุณหภูมิ 110 องศาเซลเซียส หลังจากความเข้มข้นถึงค่าต่ำสุดแล้ว ที่เวลาผ่านไปความเข้มข้นจะเพิ่มขึ้นจนใกล้กับค่าของความเข้มข้นอ Ethanol ไร้น้ำที่ป้อนเข้า โดยจากแนวโน้มของกราฟที่อุณหภูมิ 110 องศาเซลเซียส จะมีอัตราการเพิ่มขึ้นของความเข้มข้นน้อยกว่าที่อุณหภูมิ 130 องศาเซลเซียส ซึ่งจะทำให้ใช้เวลาที่มากกว่าในการทำให้ความเข้มข้นอ Ethanol เพิ่มขึ้นจนเท่ากับความเข้มข้นของอ Ethanol ไร้น้ำ (ดูข้อมูลที่ได้จากการทดลองจากตารางผนวกที่ 11.2) แต่อย่างไรก็ตามการที่อุณหภูมินี้ๆ อัตราการป้อนที่ต่ำลงแล้ว ทำให้ได้อ Ethanol ความเข้มข้นต่ำสุดน้อยกว่าการณ์ของอัตราการป้อนที่สูงกว่านั้นไม่ได้หมายความว่าอัตราการป้อนที่ต่ำลงนี้จะทำให้มีการคายซับไอน้ำที่มากขึ้น ดังเช่น ถ้าไอน้ำที่คายซับออกจากมาด้วยปริมาณเท่ากัน เมื่อใช้อัตราการป้อนที่ต่ำกว่าย่อมได้ความเข้มข้นของอ Ethanol ลดลงจากเบ็ดมีค่าน้อยกว่า

## 2. การทดสอบการดูดซับไอน้ำจากไออกองของอ Ethanol และน้ำโดยใช้วัสดุจากห้องถังนิดต่างๆ เปรียบเทียบกับสารดูดซับไม้เลกุลาร์ซีพ 3A



ภาพที่ 43 การเปรียบเทียบเส้นโค้งการดูดซับไอน้ำจากไออกองของอ Ethanol และน้ำของไม้เลกุลาร์ซีพ 3A กับวัสดุจากห้องถังที่ได้จากการเกย์ตรประภาก เมล็ดข้าวโพดข้าวเหนียว ฟางข้าว และชาอ้อบ ที่อัตราการป้อน 5.90 มิลลิลิตรต่อนาที อุณหภูมิ 130 องศาเซลเซียส



ภาพที่ 44 การเปรียบเทียบเส้นโค้งการดูดซับไอน้ำจากไอ์พสมของอิฐมวลและน้ำของโนเมลกูลาร์ซีพ 3A กับวัสดุจากห้องถังคินประเกท ปูนซีเมนต์ เถ้าอย่างทันที และดินขาว ที่อัตราการป้อน 5.90 มิลลิลิตรต่อนาที อุณหภูมิ 130 องศาเซลเซียส

จากการทดสอบหาเส้นโค้งการดูดซับโดยใช้โนเมลกูลาร์ซีพ 3A ข้างต้น พบว่าที่อัตราการป้อน 5.90 มิลลิลิตรต่อนาที อุณหภูมิ 130 องศาเซลเซียส จะให้ความเข้มข้นของอิฐมวลสูงกว่าสภาวะอื่นๆ ดังนั้นสภาวะนี้จึงได้ถูกนำมาใช้ในการทดสอบหาเส้นโค้งการดูดซับ โดยใช้วัสดุจากห้องถังคินประเกท ต่างๆ ทั้งที่ได้จากการเกณฑ์ ได้แก่ เมล็ดข้าวโพดข้าวเหนียวเต็มเมล็ด เมล็ดข้าวโพดข้าวเหนียวผ่าซีก ฟางข้าว และชานอ้อย และวัสดุอื่นๆ ได้แก่ ดินขาวอบแห้ง ดินขาวเผาที่อุณหภูมิ 500 และ 1,200 องศาเซลเซียส ปูนซีเมนต์ เถ้าอย่างทันที พสมปูนซีเมนต์ด้วยอัตราส่วน 1 ต่อ 1 และ 3 ต่อ 1 โดยปริมาตร ผลการทดสอบหาเส้นโค้งการดูดซับไอน้ำจากไอ์พสมของอิฐมวลและน้ำ แสดงในภาพที่ 43 และ ภาพที่ 44 (คุณสมบัติที่ได้จากการทดลองในภาคผนวก ค) พบว่าในบรรดาวัสดุจากห้องถังคิน เมล็ดข้าวโพดข้าวเหนียวผ่าซีกมีพื้นที่ได้เส้นโค้งการดูดซับที่มากกว่าวัสดุอื่นๆ ซึ่งแสดงถึงการมีความจำไอน้ำที่สูงมากกว่า อีกทั้งช่วงนาทีที่ 0 ถึง 5 ได้อิฐมวลที่ออกจากการเบดความเข้มข้น 99.24 ถึง 99.01 เปอร์เซ็นต์โดยน้ำหนัก เมื่อเทียบกับเมล็ดข้าวโพดข้าวเหนียวเต็มเมล็ดแล้วพบว่า เมล็ดข้าวโพดข้าวเหนียวเต็มเมล็ดไม่สามารถที่จะดูดซับไอน้ำออกจากไอ์พสมของอิฐมวลและน้ำได้ เพราะความเข้มข้นอิฐมวลที่ออกจากการเบดมีค่าเท่ากับความเข้มข้นอิฐมวลที่ป้อนเข้า คือ 95.5 เปอร์เซ็นต์โดยน้ำหนัก ทั้งนี้ก็เนื่องจากกลไกการดูดซับไอน้ำของเมล็ดข้าวโพดอยู่ที่ส่วนของเปลือกที่อยู่ภายนอกเมล็ดข้าวโพด โดยความสามารถในการดูดซับไอน้ำของเปลือก เกิดจากแรงดึงดูดระหว่าง

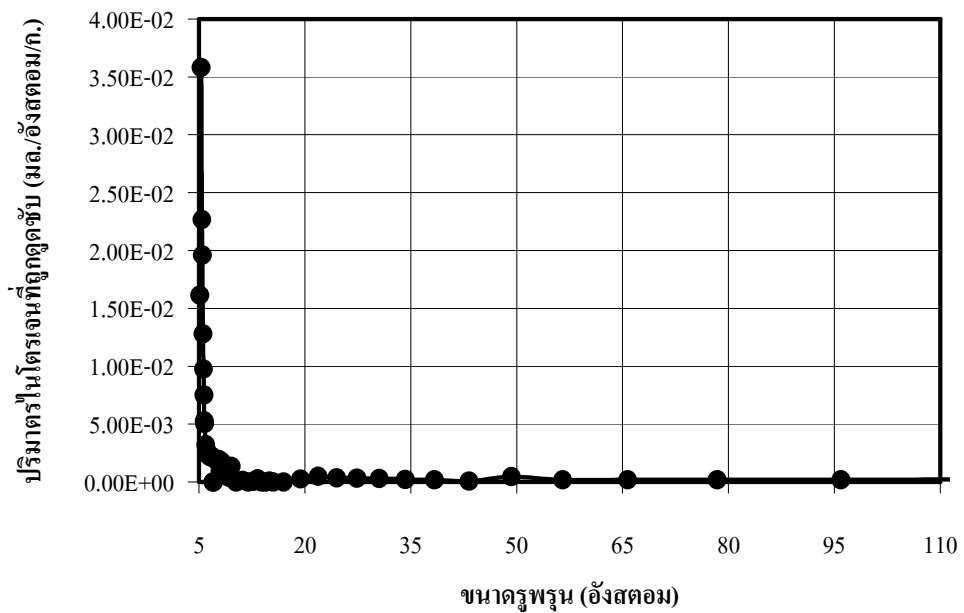
หมู่ไซครอกซิลของโมเลกุลแป้ง กับโมเลกุลของน้ำซึ่งเป็นพันธะไฮโดรเจน (Beery และคณะ, 2001) ดังนั้นเมล็ดข้าวโพดเต็มเมล็ดที่มีเปลือกหุ้มส่วนของแป้งอยู่จึงไม่สามารถดูดซับไอน้ำได้ ซึ่งแสดงว่าไอน้ำสามารถแพร่ผ่านผิวของเปลือกหุ้มเมล็ดข้าวโพดได้ยาก ส่วนปูนซีเมนต์ที่มีส่วนผสมของถ้ากลอยถ่านหินมากขึ้น ทำให้ได้ความเข้มข้นของออลที่ออกจากเบดในช่วงต้นเพิ่มขึ้น แต่มีพื้นที่ได้เส้นโค้งการดูดซับไอน้ำที่น้อยกว่าการใช้เมล็ดข้าวโพดข้าวเหนียวผ่าซีก อย่างไรก็ตามถ้าถ้าถ่ายถ่านหินผสมปูนซีเมนต์ด้วยอัตราส่วน 3 ต่อ 1 โดยปริมาตร ในช่วงนาทีที่ 0 ถึง 5 ให้ความเข้มข้นของออลได้สูงถึง 99.76 ถึง 99.21 เปอร์เซ็นต์โดยน้ำหนัก

วัสดุที่สามารถดูดซับไอน้ำจากไออกซิเจนของอุตสาหกรรมและน้ำ แล้วทำให้ได้ความเข้มข้นของออลสูงขึ้นประगทอื่นๆ ได้แก่ ฟางข้าว ซึ่งความเข้มข้นของออลในช่วงนาทีที่ 0 ถึง 5 มีค่า 98.32 ถึง 96.57 เปอร์เซ็นต์โดยน้ำหนัก ดินขาวเผาที่อุณหภูมิ 500 องศาเซลเซียส ทำให้ได้ความเข้มข้น 97.56 ถึง 96.82 เปอร์เซ็นต์โดยน้ำหนัก ซึ่งความเข้มข้นของออลที่ได้ยังไม่สูงมากพอที่จะนำมาใช้ในการผลิตอุตสาหกรรม สำหรับส่วนของวัสดุประเภท เมล็ดข้าวโพดข้าวเหนียวเต็มเมล็ด ขนาดอ้อย ดินขาวอบแห้ง และดินขาวเผาที่อุณหภูมิ 1,200 องศาเซลเซียส ความเข้มข้นของอุตสาหกรรมและน้ำ แต่ไม่มีความแตกต่างจากความเข้มข้นของอุตสาหกรรมที่ป้อนเข้า ดังนั้นวัสดุเหล่านี้จึงไม่สามารถใช้ดูดซับไอน้ำออกจากไออกซิเจนของอุตสาหกรรมและน้ำได้

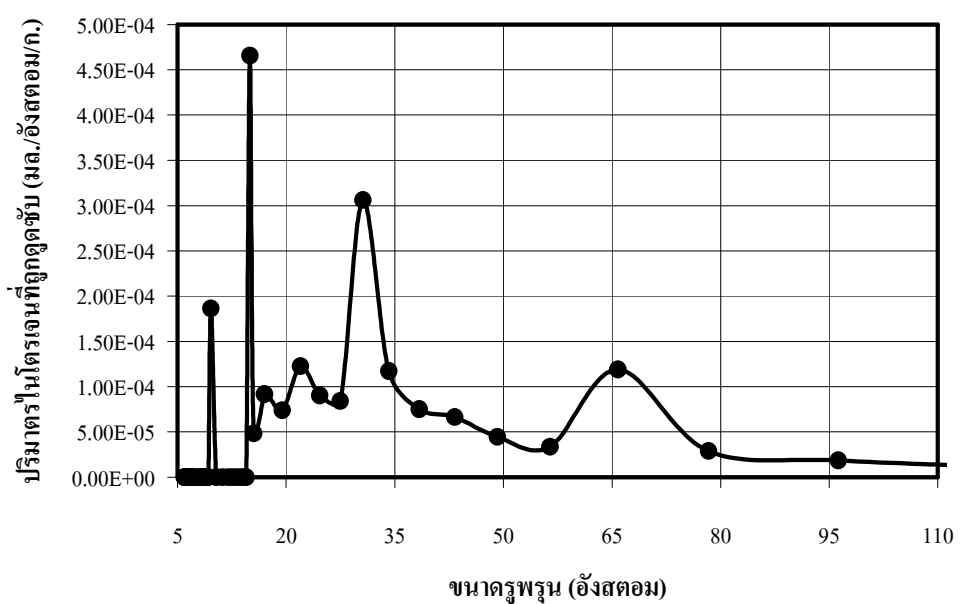
จากการนำวัสดุต่างๆ ที่ใช้ในการทดสอบดังกล่าวแล้วมาทดสอบหา พื้นที่ผิว ปริมาตรรูพูน และขนาดของรูพูน โดยใช้เครื่อง Gas Sorption Analyzer (Autosorp I) ได้ผลดังตารางที่ 7 และภาพที่ 45 ถึง 50

ตารางที่ 7 ค่าพื้นที่ผิว และปริมาตรรูพูนของวัสดุต่างๆ ที่ใช้ในการทดสอบ

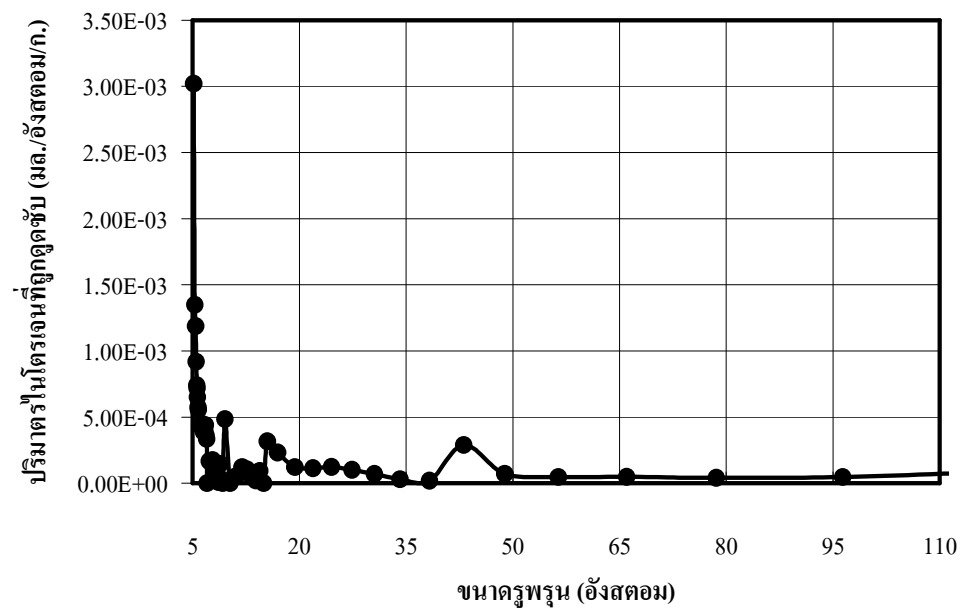
ประเภทของสารดูดซับ	พื้นที่ผิว(BET Surface Area) (ตารางเมตร/กรัม)	ปริมาตรรูพูน(Pore Volume) (มิลลิลิตร/กรัม)
โมเลกุลาร์ซีพ 3A	29.82	0.161
เมล็ดข้าวโพดข้าวเหนียวผ่าซีก	8.36	0.0065
ถ้าถ่ายถ่านหินผสมปูนซีเมนต์ อัตราส่วน 3 ต่อ 1 โดยปริมาตร	9.76	0.071
ดินขาวอบแห้ง	8.37	0.113
ดินขาวเผาที่ 500 °C	38.04	0.495
ดินขาวเผาที่ 1,200 °C	11.81	0.142



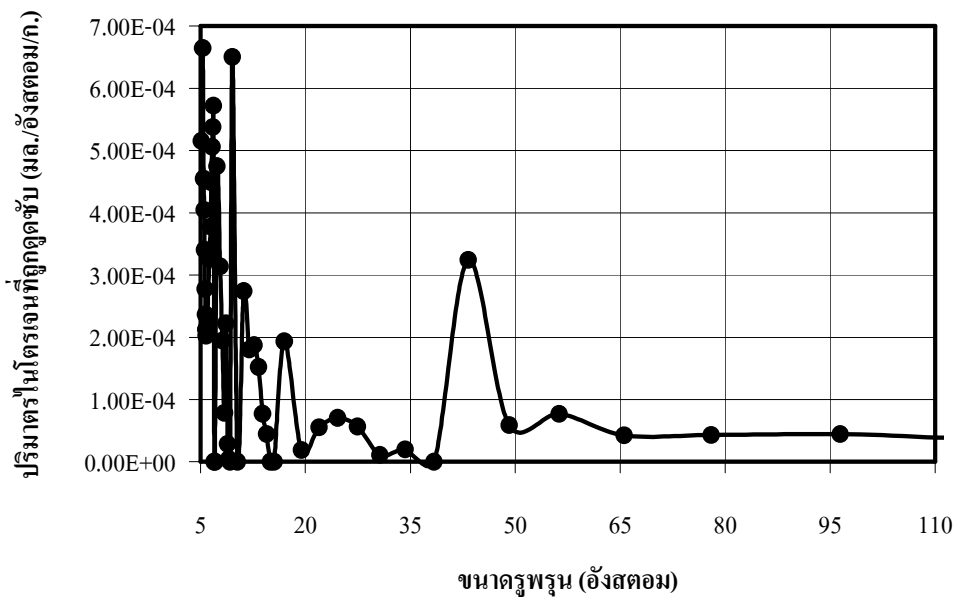
ภาพที่ 45 ขนาดรูพรุนของโมเลกุลาร์ซีพ 3A



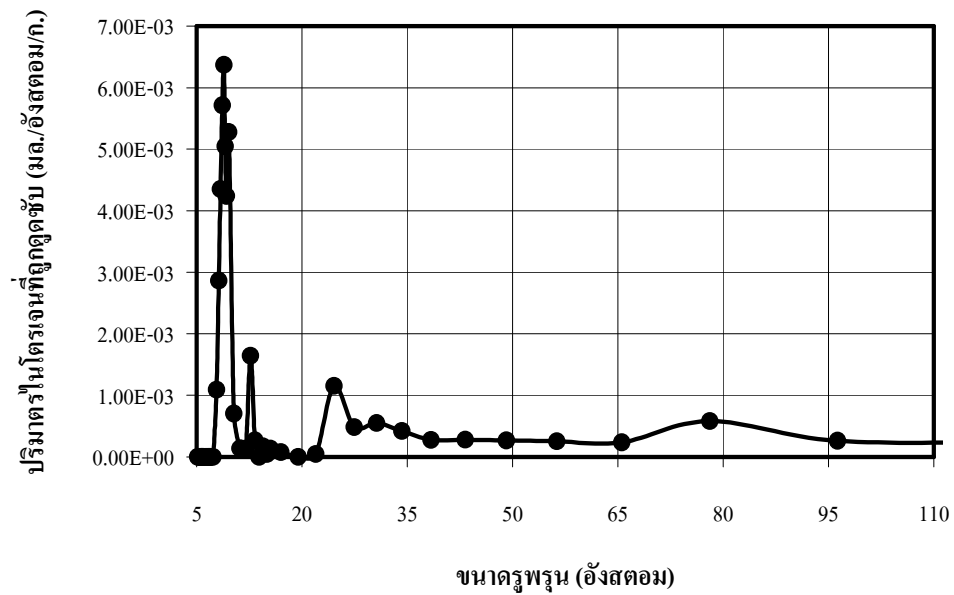
ภาพที่ 46 ขนาดรูพรุนของเมล็ดข้าวโพดข้าวเหนียวผ่าซีก



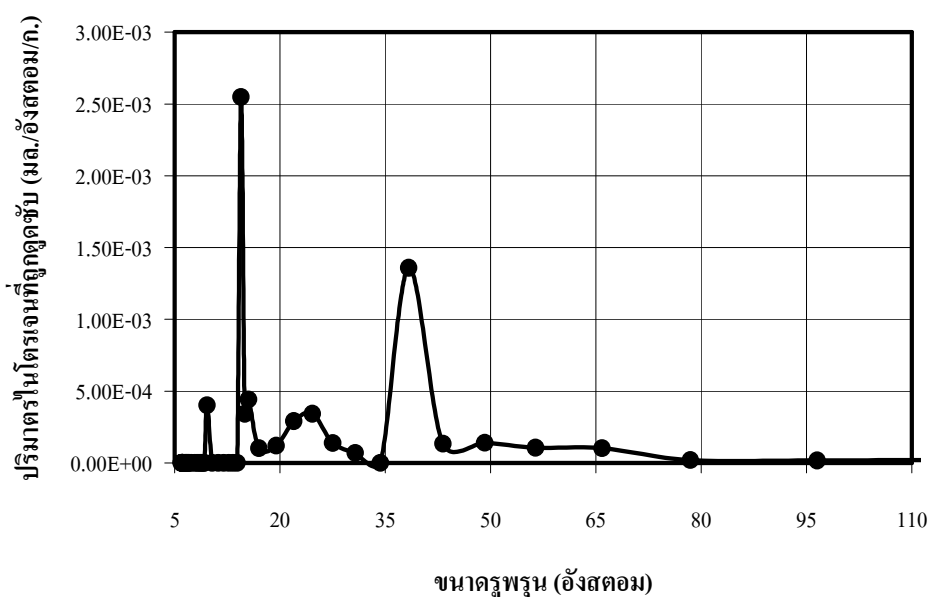
ภาพที่ 47 ขนาดกรวยของวัสดุผสมถ้าลองค่าน Hinกับปูนซีเมนต์อัตราส่วน 3 ต่อ 1 โดยปริมาตร



ภาพที่ 48 ขนาดกรวยของคินขาวอบแห้ง



ภาพที่ 49 ขนาดรัศมีพรุนของคินขาวเผาที่อุณหภูมิ 500 องศาเซลเซียส



ภาพที่ 50 ขนาดรัศมีพรุนของคินขาวเผาที่อุณหภูมิ 1,200 องศาเซลเซียส

จากภาพที่ 45 และภาพที่ 47 พบว่าโมเลกุลาร์ซีพ 3A มีกราฟแสดงความสัมพันธ์ระหว่างปริมาตรของก๊าซในไตรเจนที่ถูกดูดซับต่อน้ำหนักสารดูดซับ กับขนาดรูพรุนที่ใกล้เคียงกันกับวัสดุผสมเด้าโลยถ่านหินกับปูนซีเมนต์ด้วยอัตราส่วน 3 ต่อ 1 โดยปริมาตร คือมีการดูดซับสูงในช่วงขนาดของรูพรุน 5 ถึง 6 อังสตอม (เครื่อง Gas Sorption Analyzer (Autosorp I) ที่ใช้ในการทดลอง มีข้อมูลการวัดขนาดรูพรุนต่ำสุด 5 อังสตอม) ดังนั้นกลไกในการดูดซับจึงจะเป็นเช่นเดียวกัน คือโมเลกุลที่มีขนาดเล็กกว่าขนาดของรูพรุนสามารถแพร่เข้าไปในรูพรุนได้และถูกดูดซับบนพื้นผิว ดูดซับด้วยแรงวัลเดอร์วาล์ส แต่โมเลกุลาร์ซีพ 3A มีการดูดซับปริมาตรของก๊าซในไตรเจนที่สูงกว่ามากเนื่องจากโมเลกุลาร์ซีพ 3A มีพื้นที่ผิวมากกว่า 3 เท่า มีปริมาตรรูพรุนมากกว่า 2.2 เท่า เมื่อเทียบ กับวัสดุผสมเด้าโลยถ่านหินกับปูนซีเมนต์ด้วยอัตราส่วน 3 ต่อ 1 โดยปริมาตร ดังตารางที่ 7

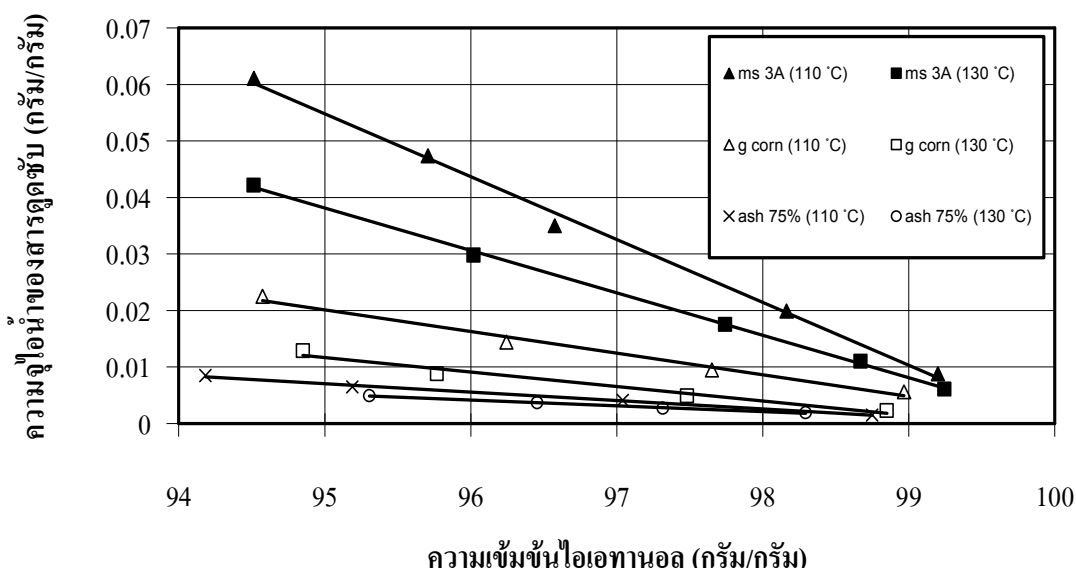
จากภาพที่ 46 ขนาดรูพรุนของเมล็ดข้าวโพดข้าวเหนียวผ่าซีกมีการกระจายตัวที่กว้าง ในช่วงประมาณ 15 ถึง 100 อังสตอม มีพื้นที่ผิวและปริมาตรรูพรุนที่ต่ำมากเมื่อเทียบกับโมเลกุลาร์ซีพ 3A แต่ถึงอย่างไรก็ตามกลไกการดูดซับของเมล็ดข้าวโพดข้าวเหนียวนั้นเกิดจากแรงดึงดูดระหว่างหมู่ไฮดรอกซิลของโมเลกุลแป้งกับโมเลกุลของน้ำซึ่งเป็นพันธะไอลิโตรเจน ซึ่งมีความแตกต่างกันกับกลไกการดูดซับไอน้ำของโมเลกุลาร์ซีพ 3A

จากตารางที่ 7 พบว่าการเผาดินขาวที่อุณหภูมิ 500 และ 1,200 องศาเซลเซียส มีผลต่อพื้นที่ผิวและปริมาตรรูพรุน โดยดินขาวเผาที่อุณหภูมิ 500 องศาเซลเซียสซึ่งเป็นอุณหภูมิกัลไนซ์ของดินขาวจะทำให้ดินขาวมีพื้นที่ผิวเพิ่มขึ้น 4.5 เท่า และมีปริมาตรรูพรุนเพิ่มขึ้น 4.4 เท่าเนื่องจากสารอินทรีย์ในดินขาวจะถูกเผา夷ไปจนหมด ทำให้รูพรุนเกิดเพิ่มขึ้นจากการเผาที่สารอินทรีย์ที่ระเหยไป เมื่อเทียบกับดินขาวอบแห้ง แต่เมื่อเพิ่มอุณหภูมิในการเผาเป็น 1,200 องศาเซลเซียส พื้นที่ผิวและปริมาตรรูพรุนจะลดลงมาใกล้เคียงกับดินขาวอบแห้งเนื่องมาจากการเผาที่อุณหภูมิ 1,200 องศาเซลเซียสนั้นทำให้สารอินทรีย์ในดินขาวหลอมละลายและอุดลงในช่องว่างของรูพรุน จากภาพที่ 48, 49 และ 50 พบว่าดินขาวอบแห้งมีการกระจายขนาดรูพรุนในช่วงกว้างคือ 5 ถึง 20 อังสตอม เมื่อนำมาเผาที่อุณหภูมิ 500 องศาเซลเซียส รูพรุนจะมีการกระจายขนาดในช่วงที่แคบลงคือมีค่าในช่วง 7 ถึง 10 อังสตอม แต่เมื่อนำมาเผาที่อุณหภูมิ 1,200 องศาเซลเซียส พบว่ารูพรุนในช่วงกว้าง 7 ถึง 10 อังสตอม นั้นหายไป เนื่องมาจากการเผาที่อุณหภูมิ 1,200 องศาเซลเซียสนั้นทำให้สารอินทรีย์ในดินขาวหลอมละลายและอุดลงในช่องว่างของรูพรุนในช่วงกว้าง 7 ถึง 10 อังสตอม

จากผลการทดลองในหัวข้อนี้จึงเลือกวัสดุประเภท เมล็ดข้าวโพดข้าวเหนียวผ่าซีก และวัสดุผสมเด้าโลยถ่านหินกับปูนซีเมนต์อัตราส่วน 3 ต่อ 1 หรือ 75 เปอร์เซ็นต์โดยปริมาตร มาทำการ

ทดสอบคุณสมบัติอื่นๆ กือ สมดุลการคุณชับที่อุณหภูมิกองที่ เส้นโถกการคุณชับและเส้นโถกการคายชับไอน้ำ เพื่อใช้เปรียบเทียบกับโนเมเลกุลาร์ซีพ 3A ต่อไป

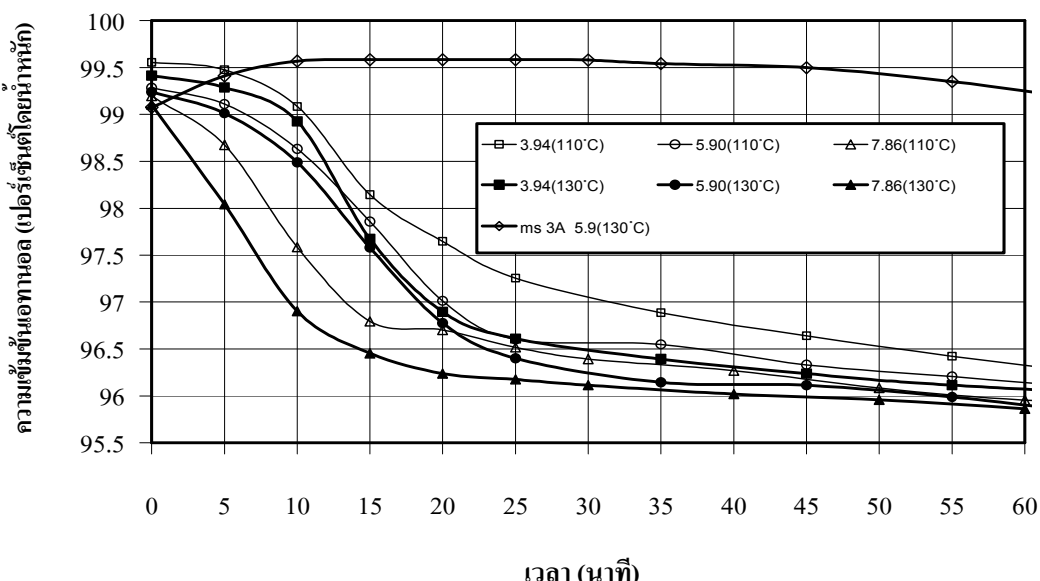
3. การทดสอบหาสมดุลการคุณชับไอน้ำที่อุณหภูมิกองที่ เส้นโถกการคุณชับ และเส้นโถกการคายชับ ไอน้ำของเมล็ดข้าวโพดข้าวเหนียวผ่าซีกและวัสดุผสมถ้าloyถ่านหินกับปูนซีเมนต์อัตราส่วน 3 ต่อ 1 โดยปริมาตร



ภาพที่ 51 สมดุลการคุณชับไอน้ำที่อุณหภูมิ 110 และ 130 องศาเซลเซียส ของเมล็ดข้าวโพดข้าวเหนียวผ่าซีก และวัสดุผสมถ้าloyถ่านหินกับปูนซีเมนต์อัตราส่วน 3 ต่อ 1 โดยปริมาตร เปรียบเทียบกับ โนเมเลกุลาร์ซีพ 3A

จากภาพที่ 51 เมื่อเมล็ดข้าวโพดข้าวเหนียวผ่าซีก หรือวัสดุผสมถ้าloyถ่านหินกับปูนซีเมนต์อัตราส่วน 3 ต่อ 1 โดยปริมาตร กับไออกซ์เจนของเอทานอล และน้ำเข้าสู่สภาวะสมดุลที่ อุณหภูมิกองที่ 110 และ 130 องศาเซลเซียส พบว่า ความสัมพันธ์ระหว่างความจุไอน้ำของสารคุณชับ กับความเข้มข้นของไออกซ์เจน คือเส้นตรงมีแนวโน้มผ่านจุด (100,0) เช่นเดียวกับการใช้โนเมเลกุลาร์ซีพ 3A เป็นสารคุณชับ ซึ่งความชันของเส้นตรงก็คือค่าคงที่ของสมดุลการคุณชับ ดังสมการ จากกฎของเอนรี สำหรับสมดุลการคุณชับไอน้ำของเมล็ดข้าวโพดข้าวเหนียวผ่าซีก มีความชันหรือค่าคงที่ของสมดุลการคุณชับที่อุณหภูมิ 110 องศาเซลเซียส เท่ากับ 0.00384 หากกว่าที่อุณหภูมิ 130 องศาเซลเซียส ซึ่งมีค่าเท่ากับ 0.00256 (ดูข้อมูลการทดลอง ข้อมูลการคำนวณจากตารางผนวกที่ ก2) ซึ่งแนวโน้มสอดคล้องกับผลการทดลองของ Chang et al. (2006) ที่ใช้สารคุณชับเป็น เมล็ดข้าวโพดแห้งบดโดยหาค่าคงที่ของสมดุลการคุณชับไอน้ำที่อุณหภูมิ 82, 91, และ 100 องศาเซลเซียส

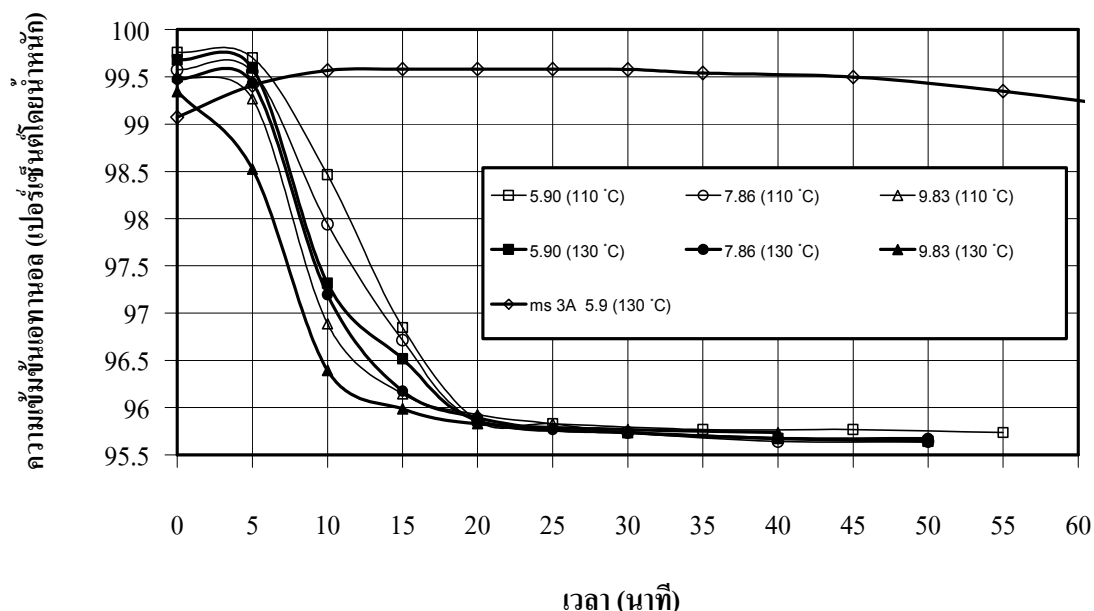
ตามลำดับ เทียบอัตราส่วนแล้วค่าคงที่สมดุลการคุณภาพของเมล็ดข้าวโพดข้าวเหนียวผ่าซีกมีค่าน้อยกว่าโนเมเลกุลาร์ซีพ 3A อยู่ 2.9 เท่า ส่วนสมดุลการคุณภาพไอน้ำของวัสดุผสมถ้าโดยถ้านหินกับปูนซีเมนต์อัตราส่วน 3 ต่อ 1 โดยปริมาตร มีความชันหรือค่าคงที่ของสมดุลการคุณภาพที่อุณหภูมิ 110 องศาเซลเซียส เท่ากับ 0.00149 มากกว่าที่อุณหภูมิ 130 องศาเซลเซียส ซึ่งมีค่าเท่ากับ 0.00102 (คุ้มครอง ข้อมูลการคุณภาพจากตารางผู้ว่าฯ ก3) เทียบอัตราส่วนแล้ว ค่าคงที่สมดุลการคุณภาพของวัสดุผสมถ้าโดยถ้านหินกับปูนซีเมนต์อัตราส่วน 3 ต่อ 1 โดยปริมาตร มีค่าน้อยกว่าโนเมเลกุลาร์ซีพ 3A อยู่ 7.4 เท่า



ภาพที่ 52 เส้นโค้งการคุณภาพไอน้ำจากไออกซ์เจนของอุตสาหกรรมและนำเข้าสู่เมล็ดข้าวโพดข้าวเหนียวผ่าซีก ที่อุณหภูมิ 110 และ 130 องศาเซลเซียส อัตราการป้อนอุตสาหกรรมเพิ่มขึ้น 95.5 เปอร์เซ็นต์โดยนำหนัก 3.94, 5.90, และ 7.86 มิลลิตรต่อนาที เมริยมเทียบกับ โนเมเลกุลาร์ซีพ 3A ที่อุณหภูมิ 130 องศาเซลเซียส อัตราการป้อน 5.90 มิลลิตรต่อนาที

จากภาพที่ 52 การใช้เมล็ดข้าวโพดข้าวเหนียวผ่าซีกเป็นสารคุณภาพ แนวโน้มเส้นกราฟแต่ละสภาวะจะเป็นเส้นโค้งรูปตัว S กลับด้านเหมือนกับการใช้โนเมเลกุลาร์ซีพ 3A แต่ที่แตกต่างกันก็คือขณะเวลาเริ่มต้น ความเข้มข้นอุตสาหกรรมจะมีค่าสูงสุด และลดลงอุณหภูมิที่อัตราการป้อนเดียวกัน จะเห็นได้ว่าที่อุณหภูมิ 110 องศาเซลเซียส ความเข้มข้นอุตสาหกรรมในช่วงต้นจะมีค่าสูงกว่าที่อุณหภูมิ 130 องศาเซลเซียส เนื่องจากความต้านทานรวมของการถ่ายเทมวลในช่วงต้นที่อุณหภูมิ 110 องศาเซลเซียสมีค่าน้อยกว่าที่อุณหภูมิ 130 องศาเซลเซียส ซึ่งความต้านทานรวมนี้เป็นผลรวมของความต้านทานภายในและความต้านทานภายนอก ความต้านทานของการถ่ายเทมวลภายในเกิดจากการแพร่ของโนเมเลกุลไอน้ำในช่องรูพรุน ดังนั้นอุณหภูมิที่สูงขึ้นจะทำให้ความต้านทานภายใน

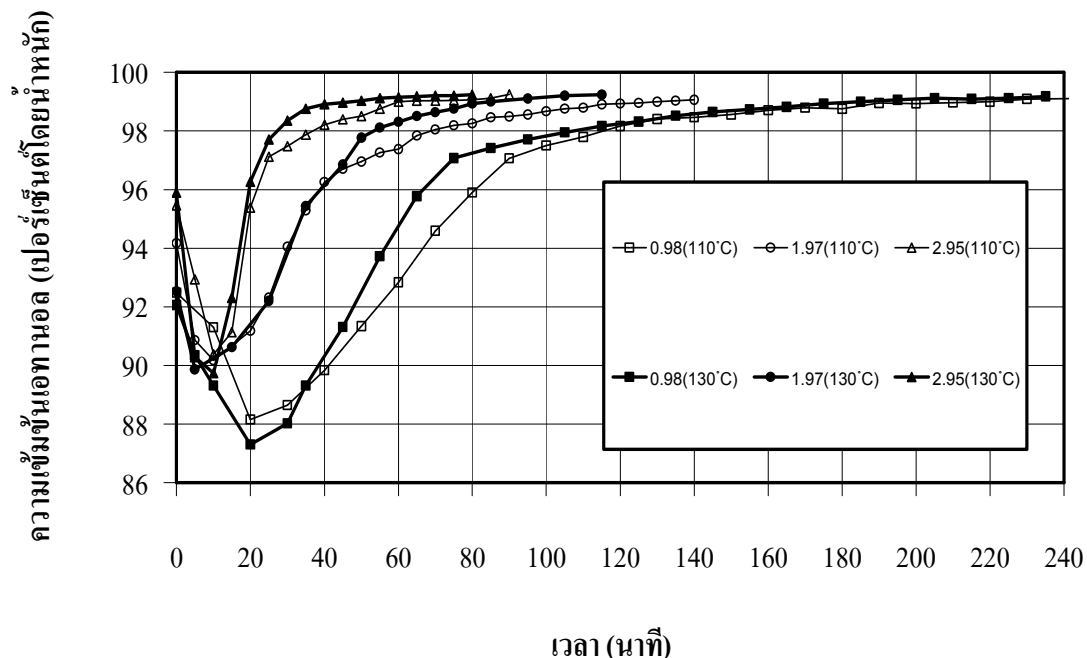
ลดลง ส่วนความต้านทานของการถ่ายเทมวลกายนอกเกิดจากการพาไอน้ำซึ่งอยู่ในวัสดุภาคก้าชเมื่ออุณหภูมิเพิ่มขึ้นความหนืดของก้าชจะเพิ่มขึ้นทำความต้านทานภายนอกมากขึ้น ดังนั้นการทดลองใช้สารคุดซับเมล็ดข้าวโพดข้าวเหนียวผ่าซีก ความต้านทานการถ่ายเทมวลรวมจะมีแนวโน้มเป็นไปตามความความต้านทานภายนอกมากกว่า การผลิตเออทานอลไร์น้ำหนึ้นต้องการผลิตเออทานอลที่มีความเข้มข้นมากกว่า 99.5 เปอร์เซ็นต์ แต่จากการใช้เมล็ดข้าวโพดข้าวเหนียวผ่าซีกเป็นสารคุดซับแล้วที่อัตราการป้อน 5.90 และ 7.86 มิลลิลิตรต่อน้ำที่ ไม่สามารถทำให้ความเข้มข้นของเออทานอลในช่วงต้นเพิ่มขึ้นจนถึง 99.5 เปอร์เซ็นต์ได้ และจากแนวโน้มที่เมื่ออัตราการป้อนลดลงจะทำให้ความเข้มข้นเออทานอลสูงขึ้น จึงทำการทดลองโดยลดอัตราการป้อนลงไปอีกที่ 3.94 มิลลิลิตรต่อน้ำที่ หรือคิดเป็น 40 เปอร์เซ็นต์ของอัตราการป้อนสูงสุด แทนที่จะทำการทดลองที่อัตราการป้อน 9.83 มิลลิลิตรต่อน้ำที่ จึงทำให้ได้ว่าที่อุณหภูมิ 110 องศาเซลเซียส อัตราการป้อน 3.94 มิลลิลิตรต่อน้ำที่ ในช่วงนาทีที่ 0 ถึง 5 จะได้ความเข้มข้น 99.55 ถึง 99.47 เปอร์เซ็นต์โดยน้ำหนัก ส่วนสภาวะอื่นๆ ที่ทำการทดสอบไม่มีสภาวะใดที่ทำให้ได้ความเข้มข้นสูงกว่า 99.5 เปอร์เซ็นต์โดยน้ำหนัก (ดูข้อมูลที่ได้จากการทดลองจากตารางผนวกที่ ข2.1) และจากการเบรย์บเทียบกับการใช้โมเลกุลาร์ซีพ 3A เป็นสารคุดซับ ที่อุณหภูมิ 130 องศาเซลเซียส ที่อัตราการป้อน 5.90 มิลลิลิตรต่อน้ำที่ ซึ่งเป็นสภาวะที่ให้ความเข้มข้นของเออทานอลในช่วงต้นสูงที่สุดในการทดสอบ จะเห็นได้ว่าถึงแม้ว่าจะสามารถใช้เมล็ดข้าวโพดข้าวเหนียวเป็นสารคุดซับ แล้วทำให้ได้เออทานอลเข้มข้นสูงกว่า 99.5 เปอร์เซ็นต์โดยน้ำหนัก แต่ก็ทำได้ในสภาวะที่อัตราการป้อนที่ต่ำกว่าและในช่วงระยะเวลาที่สั้นกว่า การใช้โมเลกุลาร์ซีพ 3A



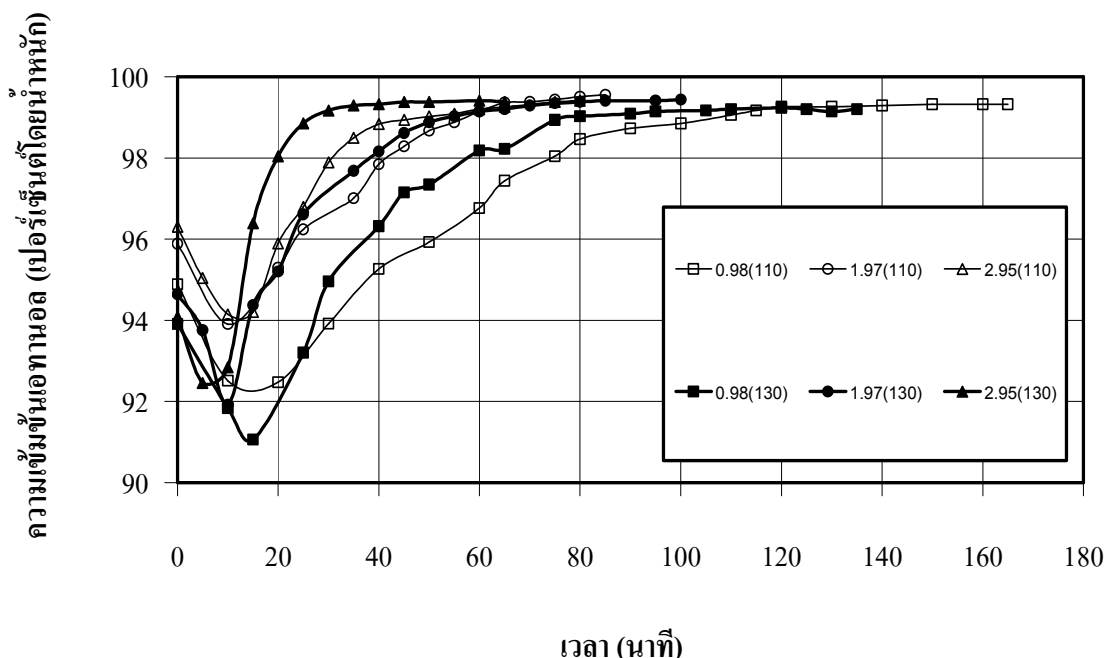
ภาพที่ 53 เส้นโค้งการดูดซับไอน้ำจากไออกซ์เจนของอุตสาหกรรมอาหารและน้ำเข้าสู่วัสดุพลาสติกถ้วยค่าความชื้นกับปูนซีเมนต์อัตราส่วน 3 ต่อ 1 โดยปริมาตร ที่อุณหภูมิ 110 และ 130 องศาเซลเซียส อัตราการป้อนอุตสาหกรรมเพิ่มขึ้น 95.5 เปอร์เซ็นต์โดยน้ำหนัก 5.90, 7.86, และ 9.83 มิลลิลิตรต่อนาที เปรียบเทียบกับไมเลกุลาร์ซีพ 3A ที่อุณหภูมิ 130 องศาเซลเซียส อัตราการป้อน 5.90 มิลลิลิตรต่อนาที

จากภาพที่ 53 การใช้วัสดุพลาสติกถ้วยค่าความชื้นกับปูนซีเมนต์อัตราส่วน 3 ต่อ 1 โดยปริมาตร เป็นสารดูดซับ แนวโน้มเส้นกราฟแต่ละสภาวะเป็นเส้นโค้งรูปตัว S กลับด้าน มีลักษณะต่างๆ เหมือนกับการใช้เม็ดข้าวโพดข้าวเหนียวผ่าซีกเป็นสารดูดซับ นั่นคือจะเวลาเริ่มต้น ความเข้มข้น เอทานอลจะมีค่าสูงสุด และลดลงอุณหภูมิที่อัตราการป้อนเดียวกันจะเห็นได้ว่า อุณหภูมิ 110 องศาเซลเซียส ความเข้มข้นเอทานอลจะมีค่าสูงกว่าที่อุณหภูมิ 130 องศาเซลเซียส ส่วนสภาวะที่ ความเข้มข้นเอทานอลมีค่ามากกว่า 99.5 เปอร์เซ็นต์ ในช่วงนาทีที่ 0 ถึง 5 มี 3 สภาพ คือที่อุณหภูมิ 110 องศาเซลเซียส อัตราการป้อน 5.90 มิลลิลิตรต่อนาที ได้ความเข้มข้น 99.76-99.70 เปอร์เซ็นต์ ที่ อุณหภูมิ 110 องศาเซลเซียส อัตราการป้อน 7.86 มิลลิลิตรต่อนาที ได้ความเข้มข้น 99.57-99.55 เปอร์เซ็นต์ และที่อุณหภูมิ 130 องศาเซลเซียส อัตราการป้อน 5.90 มิลลิลิตรต่อนาที ได้ความเข้มข้น 99.68-99.59 เปอร์เซ็นต์ (ดูข้อมูลที่ได้จากการทดลองจากตารางผนวกที่ บ3.1) และจากการ เปรียบเทียบกับการใช้ไมเลกุลาร์ซีพ 3A เป็นสารดูดซับ ที่อุณหภูมิ 130 องศาเซลเซียส ที่อัตราการ ป้อน 5.90 มิลลิลิตรต่อนาที จะเห็นได้ว่า ถึงแม้ว่าจะสามารถใช้วัสดุพลาสติกถ้วยค่าความชื้นกับปูนซี เมนต์เป็นสารดูดซับแล้วทำให้ได้อุตสาหกรรมเพิ่มขึ้นสูงกว่า 99.5 เปอร์เซ็นต์ ถึง 3 สภาพ แต่ว่ามี ช่วงเวลาการดูดซับที่สั้นกว่า และหลังจากนาทีที่ 5 ความเข้มข้นของอุตสาหกรรมลดลงอย่างรวดเร็ว

กว่าทั้งการใช้โมเลกุลาร์ซีพ 3A และเมล็ดข้าวโพดข้าวเหนี่ยวผ่าซีกเป็นสารคูดซับ ซึ่งก็สอดคล้องกับผลการทดลองหาสมดุลในการคูดซับ โดยเนื่องมาจากการมีความจุไอน้ำที่น้อยกว่า



ภาพที่ 54 เส้นโค้งการคายซับไอน้ำออกจากเมล็ดข้าวโพดข้าวเหนี่ยวผ่าซีก เข้าสู่ไอน้ำของอุตสาหกรรม ไร้น้ำที่ป้อนเข้า ในสภาวะความดันสุญญากาศ -0.4 ถึง -0.3 บาร์ อุณหภูมิ 110 และ 130 องศาเซลเซียส โดยป้อนอุตสาหกรรม ไร้น้ำที่อัตราการป้อน 0.98, 1.97, และ 2.95 มิลลิลิตร ต่อนาที



ภาพที่ 55 เส้นโค้งการคายซับไอน้ำออกจากวัสดุผสมถ้าอย่างที่นิยมกับปูนซีเมนต์อัตราส่วน 3 ต่อ 1 โดยปริมาตร เข้าสู่ไออกอทานอลไร่น้ำที่ป้อนเข้า ในสภาวะความดันสูญญาการ -0.4 ถึง -0.3 บาร์ อุณหภูมิ 110 และ 130 องศาเซลเซียส โดยป้อนอทานอลไร่น้ำที่อัตราการป้อน 0.98, 1.97, และ 2.95 มิลลิลิตรต่อนาที

จากการที่ 54 และ 55 แสดงให้เห็นว่า สารคูดซับหัง 2 ประเภทนี้ สามารถฟื้นฟูสภาพกลับ (regenerate) โดยใช้วิธีการคายซับด้วยการป้อนอทานอลไร่น้ำ ซึ่งแนวโน้มของกราฟจะคล้ายคลึงกับโมเดลกูลาร์ชีพ 3A นั้นคือ แนวโน้มของกราฟแต่ละเส้นจะเป็นเส้นโค้งรูปตัว S โดยในช่วงเวลาเริ่มต้นความเข้มข้นของอทานอลที่ออกจากเบดจะลดลงจนถึงค่าต่ำสุด เมื่อจากมีไอน้ำที่คายซับออกจากเบดที่อ่อนตัวด้วยไอน้ำในปริมาณมาก ซึ่งอัตราการป้อนที่ต่ำจะทำให้ความเข้มข้นต่ำสุดมีค่าน้อยกว่าอัตราการป้อนที่สูง ส่วนผลของอุณหภูมิต่อความเข้มข้นต่ำสุด จะเห็นได้ว่าที่อัตราป้อนเท่ากันอุณหภูมิ 130 องศาเซลเซียส ให้ความเข้มข้นของอทานอลที่จุดต่ำสุดมีค่าน้อยกว่าที่อุณหภูมิ 110 องศาเซลเซียส แสดงให้เห็นว่าที่อุณหภูมิ 130 องศาเซลเซียสมีการคายซับไอน้ำออกจากสารคูดซับหัง 2 ชนิดนี้ได้มากกว่าที่อุณหภูมิ 110 องศาเซลเซียส หลังจากความเข้มข้นถึงค่าต่ำสุดแล้วที่เวลาผ่านไปความเข้มข้นจะเพิ่มขึ้น จนใกล้กับค่าของความเข้มข้นอทานอลไร่น้ำที่ป้อนเข้าเนื่องจากเบดมีสภาพเช้าไอกลั่สภาวะที่ปราศจากไอน้ำ (คุณภาพที่ได้จากการทดลองจากตารางหน่วงที่ ux.2 และ ux.3)

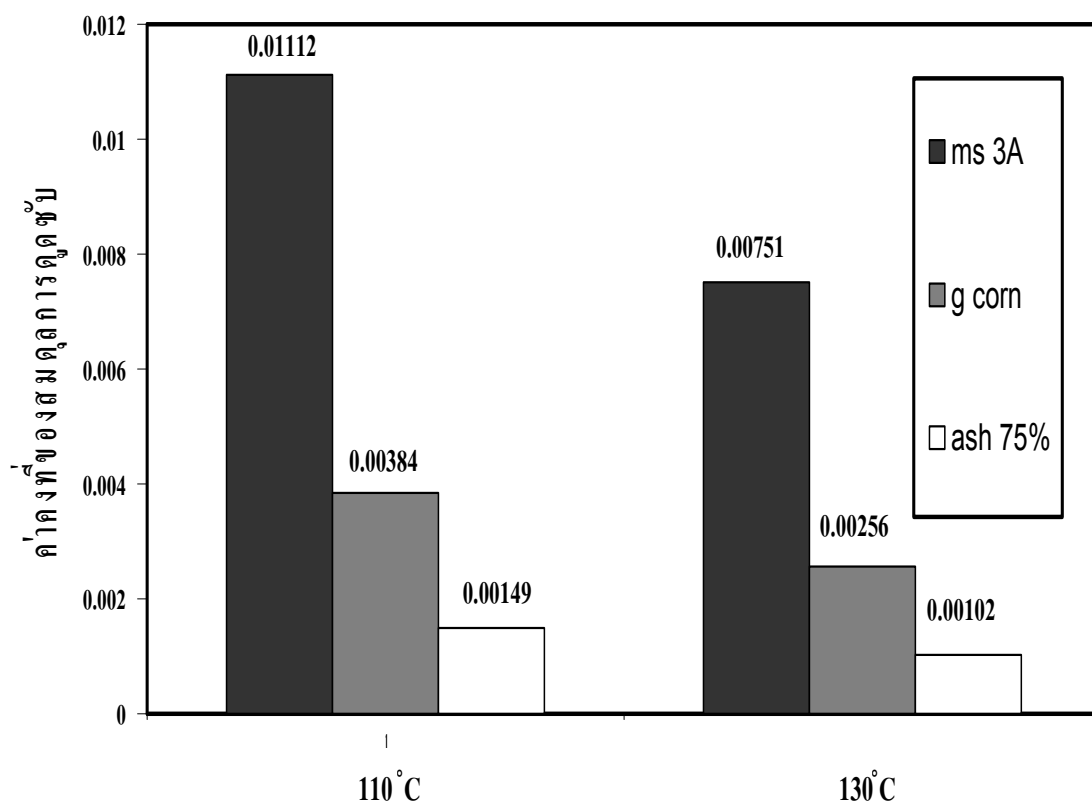
4. การเปรียบเทียบความสามารถในการดูดซับและคายซับไอน้ำของสารดูดซับโนเมเลกุลาร์ซีพ 3A กับวัสดุจากห้องถังอิ่มประเภทเมล็ดข้าวโพดข้าวเหนียวผ่าซีก และวัสดุผสมเล้าโลยถ่านหินกับปูนซีเมนต์อัตราส่วน 3 ต่อ 1 โดยปริมาตร

#### 4.1 การเปรียบเทียบค่าคงที่ของสมดุลการดูดซับไอน้ำที่อุณหภูมิกองที่

ในหัวข้อนี้จะทำการเปรียบเทียบ โดยพิจารณาค่าคงที่ของสมดุลการดูดซับไอน้ำที่อุณหภูมิกองที่ ซึ่งได้จากการดูดซับของสารดูดซับโนเมเลกุลาร์ซีพ 3A ต่อค่าคงที่สมดุลของสารดูดซับเมล็ดข้าวโพดข้าวเหนียวผ่าซีก และวัสดุผสมเล้าโลยถ่านหินกับปูนซีเมนต์อัตราส่วน 3 ต่อ 1 โดยปริมาตร ซึ่งใช้เปรียบเทียบความจุไอน้ำของสารดูดซับกับโนเมเลกุลาร์ซีพ 3A ดังแสดงในตารางที่ 8 และภาพที่ 56

#### ตารางที่ 8 เปรียบเทียบค่าคงที่ของสมดุลการดูดซับไอน้ำของสารดูดซับที่อุณหภูมิกองที่

ชนิดของสารดูดซับ	ค่าคงที่สมดุล		อัตราส่วนค่าคงที่สมดุล	
	110 °C	130 °C	110 °C	130 °C
1. โนเมเลกุลาร์ซีพ 3A	0.01112	0.00751	1	1
2. เมล็ดข้าวโพดข้าวเหนียวผ่าซีก	0.00384	0.00256	2.898	2.932
3. วัสดุผสมเล้าโลยถ่านหินกับปูนซีเมนต์อัตราส่วน 3 ต่อ 1	0.00149	0.00102	7.448	7.377
โดยปริมาตร				



ກາພີ້ 56 ກາຮັກແທ່ງເປົ້າມທີ່ຂອງສາມາດດູດໜັບໄອນ້

ໜໍາຍເຫດ ms 3A ຄືໂມເລກຸລາຣີ່ພ 3A, g corn ຄືເມີລີດໜ້າວໂພດໜ້າວເໜີຍຳຜ່າຊີກ, ash 75% ຄືວັສດຸ  
ພສມເຄົາລອຍຄ່ານີ້ກັບປຸນໜີເມນຕົວຕາມ 3 ຕ່ອ 1 ໂດຍປ່ຽນຕາມ

4.2 ກາຮັກແທ່ງສກວະທີ່ໃຊ້ໃນການທດລອງຫາເສັ້ນ ໂກິງກາຮັກຈົ່ງທີ່ໃຫ້ໄດ້ຄວາມເຂັ້ມຂັ້ນເອທາ  
ນອດທີ່ອອກຈາກເບດມາກກວ່າ 99.5 ເປົ້າເຊື້ນຕົວຕາມ

ເນື່ອງຈາກໃນການພລິຕເອທານອລໄຣນ້ ມີຄວາມຕ້ອງການພລິຕເອທານອລທີ່ມີຄວາມເຂັ້ມຂັ້ນມາກກວ່າ  
99.5 ເປົ້າເຊື້ນຕົວຕາມ ເພື່ອໃຊ້ເປັນເຫື່ອເພີ້ງໃນເຄົ່ອງຍົນຕົວຕາມ ໃນຫ຾້ຂອນີ້ຈຶ່ງໄດ້ກາຮັກແທ່ງສກວະທີ່  
ຄວາມສາມາດໃນກາຮັກຈົ່ງທີ່ໃຫ້ໄດ້ກາຮັກແທ່ງສກວະທີ່ໄດ້ກາຮັກຈົ່ງທີ່ໃຫ້ໄດ້ກາຮັກແທ່ງສກວະທີ່  
ມີຄວາມເຂັ້ມຂັ້ນກັບປຸນໜີເມນຕົວຕາມ 3 ຕ່ອ 1 ໂດຍປ່ຽນຕາມ  
ໂດຍພິຈາລະນາໃນດ້ານຂອງສກວະທີ່ໃຊ້ໃນການທດລອງຫາເສັ້ນ ອຸໝາກຸມ ແລະ  
ໜ່ວຍເວລາທີ່ເອທານອລທີ່ອອກຈາກເບດມີຄວາມເຂັ້ມຂັ້ນສູງກວ່າ 99.5 ເປົ້າເຊື້ນຕົວຕາມ ດັ່ງແສດງໃນ  
ຕາரາງທີ່ 9

ตารางที่ 9 เปรียบเทียบสภาวะที่ใช้ในการทดลองหาเส้นโค้งการคัดซับซึ่งทำให้ได้ความเข้มข้นเอทานอลที่ออกจากการเบนมากกว่า 99.5 เปอร์เซ็นต์โดยน้ำหนัก

ชนิดของสารคัดซับ			
โนเมเลกุลาร์ซีพ 3A	เมล็ดข้าวโพดข้าว	ถั่วเหลืองถ่านหินกับปูนซีเมนต์อัตราส่วน 3 ต่อ 1	
อัตราการป้อน (มล./นท.)	5.9	3.94	5.9
อุณหภูมิ (°ช)	129.6	108.4	108.9
ช่วงเวลา (นท.)	10 – 35	0 - 5	0 - 5
ความเข้มข้น (wt%)	99.57 - 99.54	99.55 - 99.47	99.76 - 99.70
อัตราการป้อน (มล./นท.)	7.86		7.86
อุณหภูมิ (°ช)	130.5		109.1
ช่วงเวลา (นท.)	15 – 30		0 - 5
ความเข้มข้น (wt%)	99.51 - 99.51		99.57 - 99.55
อัตราการป้อน (มล./นท.)		5.9	
อุณหภูมิ (°ช)		128.5	
ช่วงเวลา (นท.)		0 - 5	
ความเข้มข้น (wt%)		99.68 - 99.59	

#### 4.3 การเปรียบเทียบค่าที่ได้จากการทดลองหาเส้นโค้งการคายซับไอน้ำออกจากสารคัดซับ

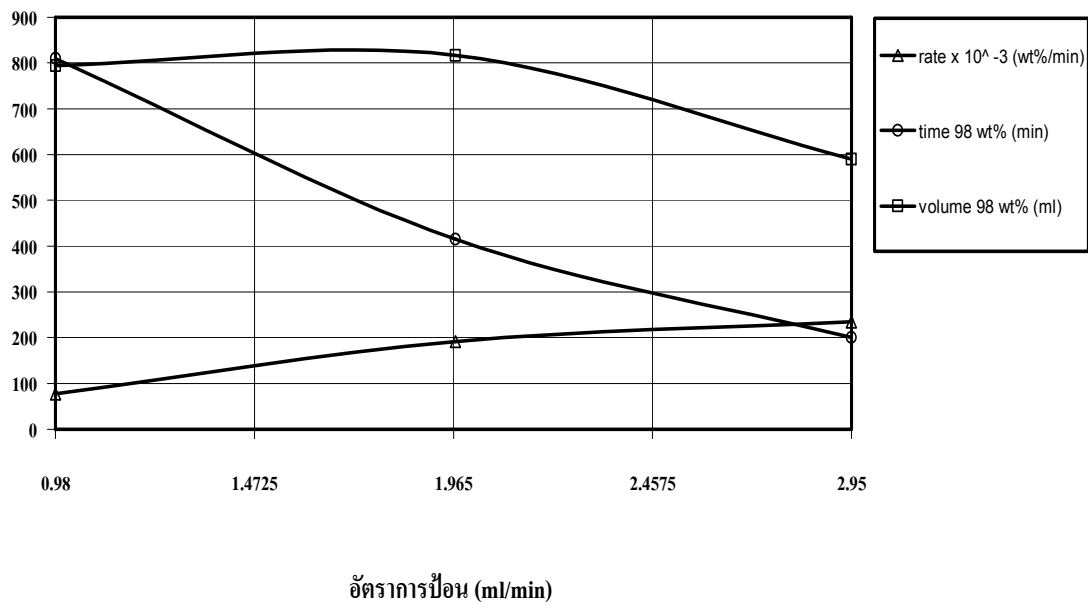
ในหัวข้อนี้จะทำการเปรียบเทียบความสามารถในการคายซับไอน้ำออกจากสารคัดซับโนเมเลกุลาร์ซีพ 3A กับวัสดุจากห้องคิ่นประเภทเมล็ดข้าวโพดข้าวเหนียวผ่าซีก และวัสดุผสมถั่วเหลืองถ่านหินกับปูนซีเมนต์อัตราส่วน 3 ต่อ 1 โดยปริมาตร โดยพิจารณาเปรียบเทียบค่าที่ได้จากการทดลองหาเส้นโค้งการคายซับ 3 ค่า คือ

- อัตราการลดลงของความเข้มข้นเอทานอลที่ออกจากการเบน ตั้งแต่เวลาเริ่มต้นจนถึงเวลาที่ความเข้มข้นลดลงจนถึงจุดต่ำสุด
- เวลาที่ใช้เมื่อความเข้มข้นเอทานอลที่ออกจากการเบนเพิ่มขึ้นจนถึง 98 เปอร์เซ็นต์โดยน้ำหนัก

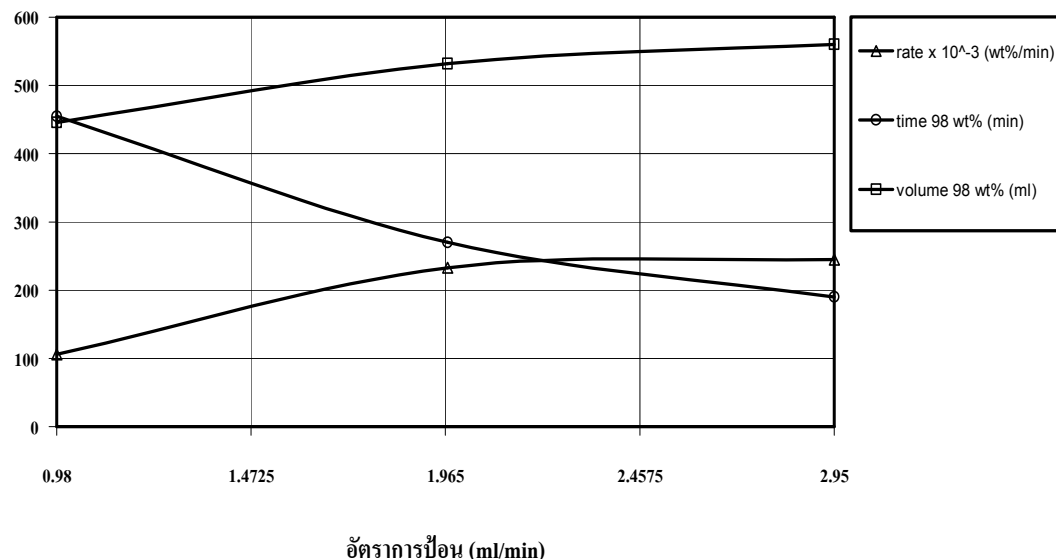
3. ปริมาตรของอุตสาหกรรม ไวน์น้ำ ที่ใช้ป้อน เมื่อความเข้มข้นอุตสาหกรรมที่ออกจากเบดเพิ่มขึ้น จนถึง 98 เปอร์เซ็นต์โดยนำหนัก  
ดังแสดงในตารางที่ 10

ตารางที่ 10 เปรียบเทียบค่าต่างๆ ที่ได้จากการทดลองหาเส้นโค้งการขยายตัว ไอน้ำออกจากสารดูดซับ โมเลกุลาร์ซีพ 3A เมล็ดข้าวโพดข้าวเหนียวผ่าซีก และวัสดุผสมถ้าลดอุณหภูมิกัน ปูนซีเมนต์อัตราส่วน 3 ต่อ 1 โดยปริมาตร

	อุณหภูมิ 110 °ช	อุณหภูมิ 130 °ช			
		อัตราป้อน (มล./นาท.)		อัตราป้อน (มล./นาท.)	
		0.98	1.97	2.95	
โมเลกุลาร์ซีพ 3A	อัตราลดของความเข้มข้น จนถึงจุดต่ำสุด ( wt%/นาท.)	0.077	0.192	0.235	0.106
	เวลาบนความเข้มข้นเพิ่ม 98 wt% (นาท.)	810	415	200	455
	ปริมาตรที่ป้อนที่เวลาบน ความเข้มข้น 98 wt% (มล.)	794	817	590	446
เมล็ดข้าวโพดข้าว เหนียวผ่าซีก	อัตราลดของความเข้มข้น จนถึงจุดต่ำสุด ( wt%/นาท.)	0.216	0.4	0.507	0.237
	เวลาบนความเข้มข้นเพิ่ม 98 wt% (นาท.)	115	70	37	105
	ปริมาตรที่ป้อนที่เวลาบน ความเข้มข้น 98 wt% (มล.)	113	138	109	103
วัสดุผสมถ้าลดอย ถ้านหินกับ	อัตราลดของความเข้มข้น จนถึงจุดต่ำสุด ( wt%/นาท.)	0.12	0.198	0.215	0.189
ปูนซีเมนต์	เวลาบนความเข้มข้นเพิ่ม 98 wt% (นาท.)	75	43	31	59
อัตราส่วน 3 ต่อ 1	ปริมาตรที่ป้อนที่เวลาบน ความเข้มข้น 98 wt% (มล.)	73	85	91	58
โดยปริมาตร	ความเข้มข้น 98 wt% (มล.)			77	59

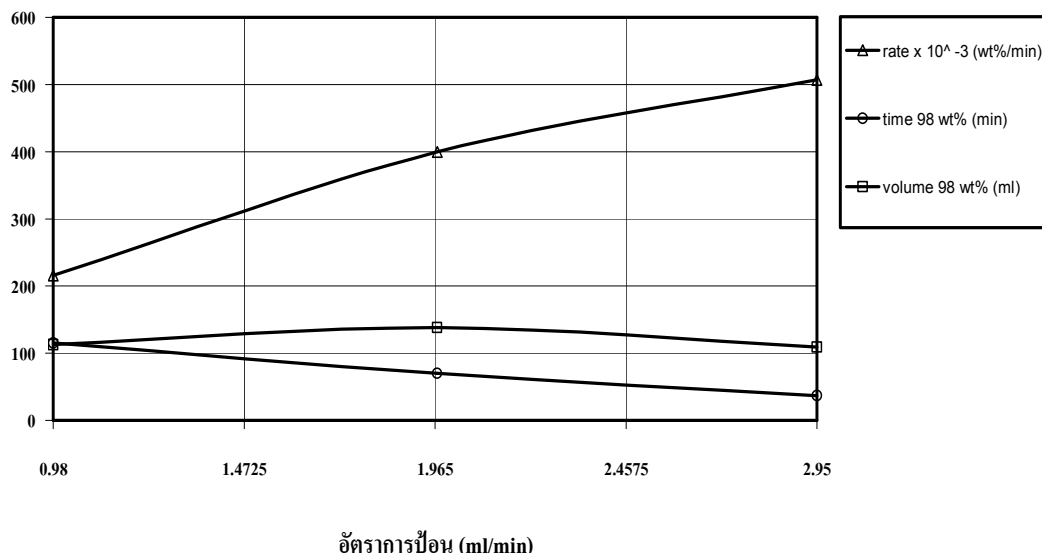


ภาพที่ 57 ความสัมพันธ์ของอัตราการป้อนเอทานอลไร้น้ำที่มีต่ออัตราการลดลงของความเข้มข้นเอทานอลไร้น้ำที่ใช้ในการป้อนขณะเวลาที่ความเข้มข้นเพิ่มขึ้นจนถึง 98 เปอร์เซ็นต์ และปริมาตรของเอทานอลไร้น้ำที่ใช้ในการป้อนขณะเวลาที่ความเข้มข้นเพิ่มขึ้นจนถึง 98 เปอร์เซ็นต์ เพื่อทำการขยายชั้บไอน้ำออกจากโมเลกุลาร์ซีพ 3A ที่อุณหภูมิ 110 องศาเซลเซียส ความดันสุญญากาศ -0.4 ถึง -0.3 บาร์

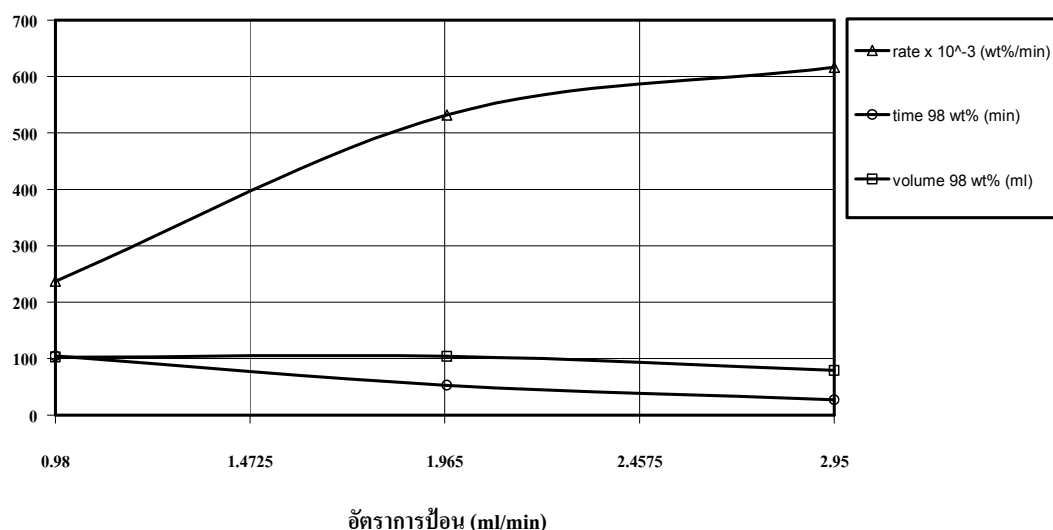


ภาพที่ 58 ความสัมพันธ์ของอัตราการป้อนเอทานอลไร้น้ำที่มีต่อ อัตราการลดลงของความเข้มข้นเอทานอลที่สูงจุดต่อสุด เวลาที่ความเข้มข้นเพิ่มขึ้นจนถึง 98 เปอร์เซ็นต์ และปริมาตรของเอทานอลไร้น้ำที่ใช้ในการป้อนขณะเวลาที่ความเข้มข้นเพิ่มขึ้นจนถึง 98 เปอร์เซ็นต์ เพื่อทำการขยายชั้บไอน้ำออกจากโมเลกุลาร์ซีพ 3A ที่อุณหภูมิ 130 องศาเซลเซียส ความ

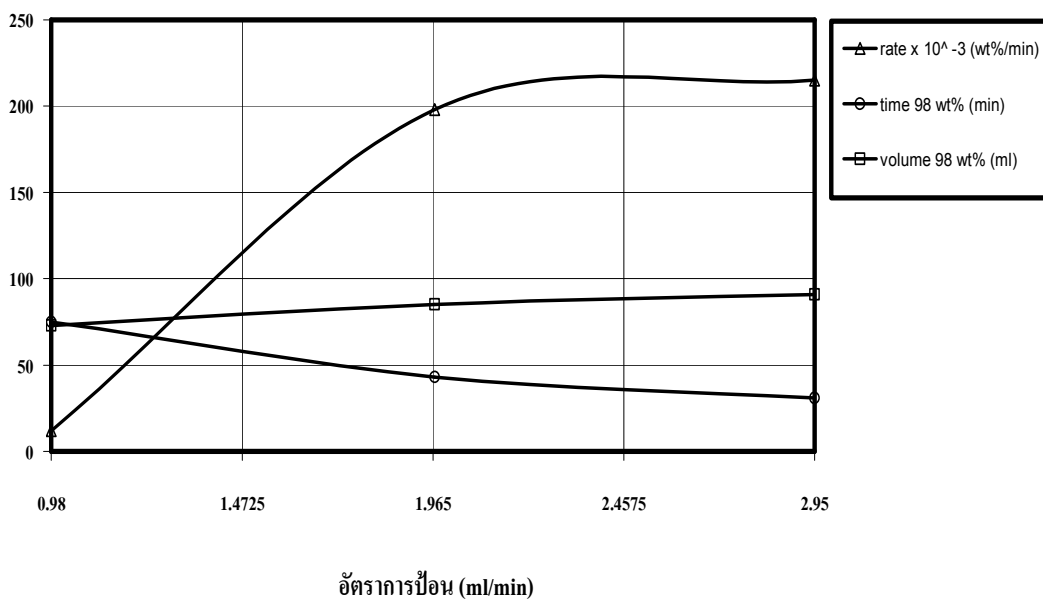
ดันสุญญากาศ-0.4ถึง-0.3บาร์



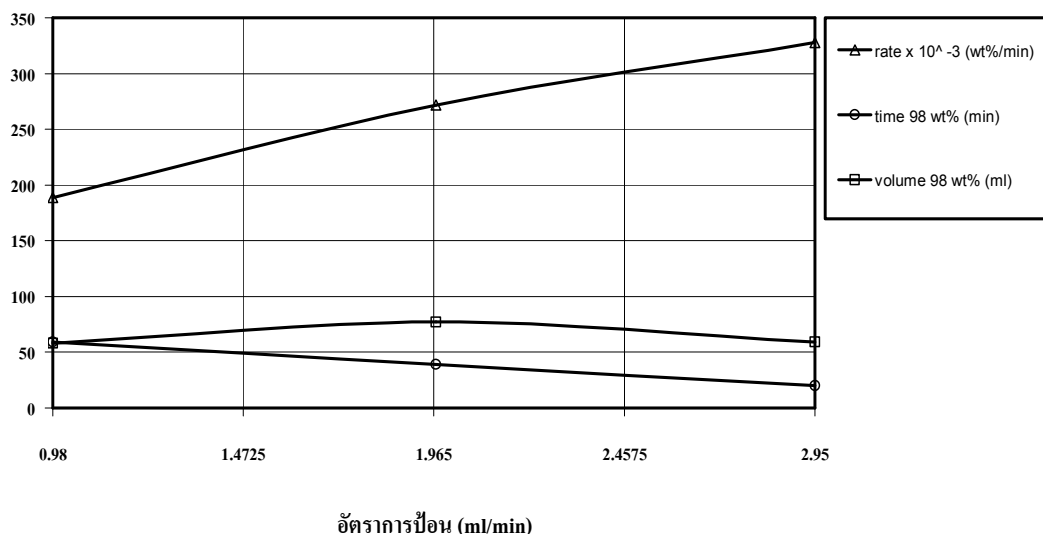
ภาพที่ 59 ความสัมพันธ์ของอัตราการปีอนเอทานอลไร้น้ำที่มีต่อ อัตราการลดลงของความเข้มข้น เอทานอลจนถึงจุดต่ำสุด เวลาที่ความเข้มข้นเพิ่มขึ้นจนถึง 98 เปอร์เซ็นต์ และปริมาตร ของเอทานอลไร้น้ำที่ใช้ในการปีอนขณะเวลาที่ความเข้มข้นเพิ่มขึ้นจนถึง 98 เปอร์เซ็นต์ เพื่อทำการขยายตัว ไอน้ำออกจากเมล็ดข้าวโพดข้าวเหนียวผ่าซีก ที่อุณหภูมิ 110 องศา เชลเซียส ความดันสุญญากาศ -0.4 ถึง -0.3 บาร์



ภาพที่ 60 ความสัมพันธ์ของอัตราการปีอนเอทานอลไร้น้ำที่มีต่อ อัตราการลดลงของความเข้มข้น เอทานอลจนถึงจุดต่ำสุด เวลาที่ความเข้มข้นเพิ่มขึ้นจนถึง 98 เปอร์เซ็นต์ และปริมาตร ของเอทานอลไร้น้ำที่ใช้ในการปีอนขณะเวลาที่ความเข้มข้นเพิ่มขึ้นจนถึง 98 เปอร์เซ็นต์ เพื่อทำการขยายตัว ไอน้ำออกจากเมล็ดข้าวโพดข้าวเหนียวผ่าซีก ที่อุณหภูมิ 130 องศา เชลเซียส ความดันสุญญากาศ -0.4 ถึง -0.3 บาร์



ภาพที่ 61 ความสัมพันธ์ของอัตราการปือเอทานอลไวน์ที่มีต่อ อัตราการลดลงของความเข้มข้นเอทานอลจนถึงจุดต่ำสุด เวลาที่ความเข้มข้นเพิ่มขึ้นจนถึง 98 เปอร์เซ็นต์ และปริมาตรของเอทานอลไวน์ที่ใช้ในการปือขณะเวลาที่ความเข้มข้นเพิ่มขึ้นจนถึง 98 เปอร์เซ็นต์ เพื่อทำการคายซับไอน้ำออกจากวัสดุผสมถ้าถ่านหินกับปูนซีเมนต์อัตราส่วน 3 ต่อ 1 โดยปริมาตรที่อุณหภูมิ 110 องศาเซลเซียส ความดันสุญญากาศ -0.4 ถึง -0.3 บาร์



ภาพที่ 62 ความสัมพันธ์ของอัตราการปือเอทานอลไวน์ที่มีต่อ อัตราการลดลงของความเข้มข้นเอทานอลจนถึงจุดต่ำสุด เวลาที่ความเข้มข้นเพิ่มขึ้นจนถึง 98 เปอร์เซ็นต์ และปริมาตรของเอทานอลไวน์ที่ใช้ในการปือขณะเวลาที่ความเข้มข้นเพิ่มขึ้นจนถึง 98 เปอร์เซ็นต์ เพื่อทำการคายซับไอน้ำออกจากวัสดุผสมถ้าถ่านหินกับปูนซีเมนต์อัตราส่วน 3 ต่อ 1 โดยปริมาตรที่อุณหภูมิ 130 องศาเซลเซียส ความดันสุญญากาศ -0.4 ถึง -0.3 บาร์

จากภาพที่ 57, 59, 60, และ 62 ควรที่จะใช้อัตราการป้อนเอกสารอลไร์น้ำด้วยอัตราการป้อน 2.95 มิลลิลิตรต่อนาที หรือ 30 เบอร์เซ็นต์ของอัตราการป้อนสูงสุด เพราะจะทำให้อัตราการลดลงของความเข้มข้นมีค่าสูงสุด ในขณะที่ใช้เวลาและปริมาตรในการป้อนเอกสารอลไร์น้ำอยู่ที่สุด

จากภาพที่ 58 และ 61 ควรที่จะใช้อัตราการป้อนเอกสารอลไร์น้ำด้วยอัตราการป้อน 1.97 มิลลิลิตรต่อนาที หรือ 20 เบอร์เซ็นต์ของอัตราการป้อนสูงสุด เพราะมีอัตราการลดลงของความเข้มข้นที่สูงใกล้เคียงกับอัตราการป้อน 2.95 มิลลิลิตรต่อนาที อีกทั้งใช้เวลาพอประมาณในขณะที่ปริมาตรในการป้อนไม่สูงเกินไป

## สรุปผลการวิจัย

จากการศึกษาการเปรียบเทียบความสามารถในการดูดซับ และคายซับไอน้ำของสารดูดซับที่ใช้ในอุตสาหกรรมกับวัสดุจากท้องถิ่น โดยใช้เครื่องดูดซับเบดนิ่งแบบเปลี่ยนแปลงความตันในกระบวนการผลิตอุตสาหกรรม ได้ดังนี้

1. ค่าคงที่สมดุลการดูดซับไอน้ำที่อุณหภูมิ 110 และ 130 องศาเซลเซียสของโมเลกุลาร์ซีพ 3A มีค่าสูงกว่าเมล็ดข้าวโพดข้าวเหนียวผ่าซีก 2.9 เท่า และสูงกว่าวัสดุผสมเดือยถ่านหินกับปูนซีเมนต์อัตราส่วน 3 ต่อ 1 โดยปริมาตร 7.4 เท่า

2. จากเส้นโค้งการดูดซับไอน้ำของโมเลกุลาร์ซีพ 3A ที่อุณหภูมิกึ่งที่ อัตราการป้อนที่ลดลงจะทำให้ความเข้มข้นอุตสาหกรรมที่ออกจากเบดในช่วงต้นสูงขึ้น และที่อัตราการป้อนคงที่ อุณหภูมิ 130 องศาเซลเซียสจะทำให้ได้ความเข้มข้นอุตสาหกรรมที่ออกจากเบดในช่วงต้นสูงขึ้นกว่าที่อุณหภูมิ 110 องศาเซลเซียส ส่วนเส้นโค้งการดูดซับของเมล็ดข้าวโพดข้าวเหนียวผ่าซีก และวัสดุผสมเดือยถ่านหินกับปูนซีเมนต์อัตราส่วน 3 ต่อ 1 โดยปริมาตร ที่อุณหภูมิกึ่งที่ อัตราการป้อนที่ลดลงจะทำให้ความเข้มข้นอุตสาหกรรมที่ออกจากเบดในช่วงต้นสูงขึ้นเช่นเดียวกัน แต่ที่อัตราป้อนคงที่ อุณหภูมิ 110 องศาเซลเซียสจะทำให้ได้ความเข้มข้นของอุตสาหกรรมที่ออกจากเบดในช่วงต้นสูงขึ้นกว่าที่อุณหภูมิ 130 องศาเซลเซียส

3. จากเส้นโค้งการคายซับไอน้ำในสภาพความดันสุญญากาศ -0.4 ถึง -0.3 บาร์ พบร่วงสุดคุดซับทั้ง 3 ชนิดสามารถฟื้นฟูสภาพกลับได้โดยการป้อนอุตสาหกรรมไวน้ำ และมีการคายซับไอน้ำที่ อุณหภูมิ 130 องศาเซลเซียสได้ดีกว่าที่ อุณหภูมิ 110 องศาเซลเซียส

4. วัสดุที่สามารถดูดซับไอน้ำจากไออกซิเจนของอุตสาหกรรมและน้ำ แล้วทำให้ได้ความเข้มข้นอุตสาหกรรมสูงขึ้นประเภทอื่นๆ ได้แก่ ฟางข้าว ซึ่งความเข้มข้นอุตสาหกรรมในช่วงนาทีที่ 0 ถึง 5 มีค่า 98.32 ถึง 96.57 เปอร์เซ็นต์โดยน้ำหนัก คินขาวเผาที่ อุณหภูมิ 500 องศาเซลเซียส ทำให้ได้ความเข้มข้น 97.56 ถึง 96.82 เปอร์เซ็นต์โดยน้ำหนัก ซึ่งความเข้มข้นอุตสาหกรรมที่ได้ยังไม่สูงมากพอที่จะนำมาใช้ในการผลิตอุตสาหกรรมไวน้ำ ส่วนวัสดุประเภท เมล็ดข้าวโพดข้าวเหนียวเต้มเมล็ด chan ooy คินขาวอบแห้ง และคินขาวเผาที่ อุณหภูมิ 1,200 องศาเซลเซียส ความเข้มข้นของอุตสาหกรรมที่ออกเบดแทนไม่มีความแตกต่างจากความเข้มข้นของอุตสาหกรรมที่ป้อนเข้า ดังนั้นวัสดุเหล่านี้จึงไม่สามารถใช้คุดซับไอน้ำออกจากไออกซิเจนของอุตสาหกรรมและน้ำได้

## ข้อเสนอแนะและแนวทางในการวิจัยในอนาคต

1. นำสารคุดซับจากวัสดุท้องถิ่นประเภทเมล็ดข้าวโพดข้าวเหนียวผ่าซีก และวัสดุผสมถ้าloy ถ่านหินกับปูนซีเมนต์อัตราส่วน 3 ต่อ 1 โดยปริมาตรไปทำการทดสอบในอุปกรณ์ต้นแบบเพื่อใช้ผลิตเอทานอลไร้น้ำ อีกทั้งทดสอบการเสื่อมสภาพของสารคุดซับเหล่านี้
2. ทำการวิจัยเพื่อปรับปรุงคุณภาพของเมล็ดข้าวโพดข้าวเหนียวผ่าซีก และวัสดุผสมถ้าloy ถ่านหินกับปูนซีเมนต์ในด้านการเพิ่มพื้นที่ผิว เพื่อเพิ่มประสิทธิภาพในการคุดซับให้สูงขึ้น
3. ทำการวิจัยเพื่อใช้ก้าชในโตรเจน หรือการรับอนไดออกไซด์มาใช้ในการคายซับไอน้ำออก จาสารคุดซับทดสอบการใช้เอทานอลไร้น้ำ เพื่อเพิ่มประสิทธิผลในการผลิตเอทานอลไร้น้ำ

## เอกสารและสิ่งอ้างอิง

ธีระพงษ์ นามโท. 2542. การผลิตซีโอลีต์ชนิด ZSM-5 จากถ่านหินลิกไนต์. วิทยานิพนธ์ปริญญาโท, มหาวิทยาลัยเกษตรศาสตร์.

ธีรภัทร ศรีนรคุตร. 2547. การศึกษาผลของสายพันธุ์และอายุมันสำปะหลังที่มีต่อการผลิตเอทานอลในระดับโรงงานต้นแบบ. ฝ่ายเทคโนโลยีชีวภาพ สถาบันวิจัยวิทยาศาสตร์และเทคโนโลยีแห่งประเทศไทย, กรุงเทพฯ.

นิรุติ วนิชกิจ. 2546. การสังเคราะห์ซีโอลีต์ชนิด ZSM-5 จากดินขาว. วิทยานิพนธ์ปริญญาโท, มหาวิทยาลัยเกษตรศาสตร์.

มณฑิมา แสงเกตุ. 2546. การใช้เชื้อพันธุกรรมจากข้าวโพดต่างประเทศเพื่อปรับปรุงสายพันธุ์อินเบรดและลูกผสมของข้าวโพดข้าวเหนียว. วิทยานิพนธ์ปริญญาโท, มหาวิทยาลัยเกษตรศาสตร์.

วิทยา เรืองพรวิสุทธิ์. 2547. ปฏิกริยาเร่ง เคมีเกี่ยวกับผิวและปีตอเรเคมี. พิมพ์ครั้งที่ 1. สำนักพิมพ์ ส.ส.ท., กรุงเทพฯ.

ศูนย์เทคโนโลยีโลหะและวัสดุแห่งชาติ (เอ็มเทค). 2547. สถานภาพปัจจุบันและข้อเสนอสู่อนาคต ด้านเชื้อเพลิงและเทคโนโลยีเชื้อเพลิงของประเทศไทย. พิมพ์ครั้งที่ 1. สำนักงานพัฒนา วิทยาศาสตร์และเทคโนโลยีแห่งชาติ (สวทช.), ปทุมธานี.

สมชัย อัครทิวา. 2546. ความรู้พื้นฐานทางวิศวกรรมของปฏิกริยาเชิงเร่ง. สำนักพิมพ์ห้อง, กรุงเทพฯ.

Alpay, E., N. Hag, L.S. Kershenbaum and N.F. Kirkby. 1996. Adsorption parameters for strongly adsorbed hydrocarbon vapours on some commercial adsorbents. **Gas Separation & Purification.** 10(1): 25-33.

- Banat, F.A., F.A.A. Al-Rub and J. Simandl. 2000. Analysis of vapor-liquid equilibrium of ethanol-water system via headspace gas chromatography: effect of molecular sieves. **Separation and Purification Technology.** 18: 111-118.
- Beery, K.E., M. Gulati, E.P. Kvam and M.R. Ladisch. 1998. Effect of enzyme modification of corn grits on their properties as an adsorbent in a skarstrom pressure swing cycle dryer. **Adsorption.** 4: 321-335.
- Beery, K.E. and M.R. Ladish. 2001. Chemistry and properties of starch based desiccants. **Enzyme and Microbial Technology.** 28: 573-581.
- Carmo, M.J. and J.C. Gubulin. 2002. Ethanol-water separation in the PSA process. **Adsorption.** 8: 235-248.
- Chang, H., X.G. Yuan, H. Tian and A.W. Zeng. 2006. Experiment and prediction of breakthrough curves for packed bed adsorption of water vapor on cornmeal. **Chemical Engineering and Processing.** 45: 747-754.
- Geankoplis, C.J. 2003. **Transport Processes and Separation Process Principles (Includes Unit Operations)** Fourth Edition. Prentice Hall, New Jersey.
- Ladish, M.R. 1997. Biobased adsorbents for drying of gases. **Enzyme and Microbial Technology.** 20: 162-164.
- Ligero, E.L. and T.M.K. Ravagnani. 2003. Dehydration of ethanol with salt extractive distillation – a comparative analysis between process with salt recovery. **Chemical Engineering and Processing.** 42: 543-552.
- Lu, L., Q. Shao, L. Huang and X. Lu. 2007. Simulation of adsorption and separation of ethanol-water mixture with zeolite and carbon nanotube. **Fluid Phase Equilibria.** 261: 191-198.

McCabe, W.L., J.C. Smith and P. Harriott. 2005. **Unit operations of Chemical Engineering** seventh edition. McGraw-Hill, Toronto.

Naono, H., M. Hakuman, M. Shimoda, K. Nakai and S. Kondo. 1996. Separation of water and ethanol by the adsorption technique: selective desorption of water from micropores of active carbon. **Journal of Colloid and Interface Science**. 182: 230-238.

Perry, R.H., D.W. Green and J.O. Maloney. 1997. **Perry's Chemical Engineers' Handbook** seventh edition. McGraw-Hill, New York.

Rakshit, S.K. , P. Ghosh and V.S. Bisaria. 1993. Ethanol separation by selective adsorption of water. **Bioprocess Engineering**. 8: 279-282.

Sarbak, Z., A. Stanczyk and M. Kramer-Wachowiak. 2004. Characterisation of surface properties of various fly ashes. **Powder Technology**. 145: 82-87.

Seader, J.D. and E.J. Henley. 2002. **Separation Process Principles**. John Wiley & Sons, New York.

Sowerby, B. and B.D. Crittenden. 1988. An experimental comparison of type A molecular sieves for drying the ethanol-waer azeotrope. **Gas Separation & Purification**. 2: 77-83.

Steenbruggen, G. and G.G. Hollman. 1998. The synthesis of zeolites from fly ash and the properties of the zeolites from fly ash and the properties of the zeolite products. **Geochemical Exploration**. 62: 305-309.

Tsuyumoto, M., A. Teramoto and P. Meares. 1997. Dehydration of ethanol on a pilot-plant scale, using a new type of hollow-fiber membrnen. **Journal of Membrane Science**. 133: 83-94.

ภาคพนวก

### ภาคผนวก ก

**ผลการทดลองและการคำนวณหาสมดุลของการดูดซับไอน้ำจากไออกซ์เจนของอุตสาหกรรมชั้น TT ของสารดูดซับในสภาพะอุณหภูมิคงที่**

**ตารางผนวกที่ ก1 ผลการทดลองและการคำนวณหาสมดุลการดูดซับโดยใช้สารดูดซับในอุตสาหกรรมชนิด โอมากุลาร์ซีพ 3A**

ข้อมูลชุดที่	1	2	3	4	5	6	7	8	9	10
ข้อมูลการคำนวณค่าคงที่ในตรีเจนร์่อน										
อุณหภูมิน้ำมันร้อน ( °ช)	150	150	150	150	150	150	150	150	150	150
อุณหภูมิ TT2 ( °ช)	119.8	120.2	119.9	119.3	118.3	120.5	118.9	120.6	124.3	119.8
อุณหภูมิ TT3 ( °ช)	123	123.8	123.2	122.9	122.1	123.8	122.2	123.7	127.2	123
อุณหภูมิ TT4 ( °ช)	136.8	137.2	136.2	136.5	136.5	137.8	136.6	137	139.6	137.5
อุณหภูมิ TT5 ( °ช)	132.5	133.5	132	132.5	132.4	133.7	132.5	133.3	136.4	133
อุณหภูมิเฉลี่ยเบด ( °ช)	128.0	128.7	127.8	127.8	127.3	128.9	127.5	128.6	131.9	128.3
ความตัน PG1 (บาร์)	0.2	0.22	0.2	0.2	0.2	0.2	0.2	0.2	0.2	0.2
ความตัน PG2 (บาร์)	0.08	0.1	0.08	0.08	0.08	0.08	0.08	0.08	0.08	0.08
ความตันคร่อมเบด (บาร์)	0.12	0.12	0.12	0.12	0.12	0.12	0.12	0.12	0.12	0.12
อัตราไอล N <sub>2</sub> (1/นท.)	2.2	2.2	2.2	2.2	2.2	2.2	2.2	2.2	2.2	2.2
ข้อมูลของขั้นตอนสมดุลการดูดซับ										
ความเข้มข้นเริ่มต้น (wt%)	89.2	91.5	93.4	96.3	98.4	90.8	93.3	96.1	97.6	98.7
อัตราการป้อน (มล./นท.)	4.91	4.91	4.91	4.91	4.91	4.91	4.91	4.91	4.91	4.91
ปริมาตรเริ่มต้น (มล.)	600	600	600	600	600	600	600	600	600	600
อุณหภูมิน้ำมันร้อน ( °ช)	150	150	150	150	150	175	175	175	175	175
อุณหภูมิ TT1 ( °ช)	106.5	107.1	107.5	106.8	106.6	135.5	137.3	134	136.3	135.8
อุณหภูมิ TT2 ( °ช)	110	115	113.7	111.7	115.2	136.2	134.8	133.2	134.2	132.8
อุณหภูมิ TT3 ( °ช)	116.8	111.2	113	115.2	111.2	131.1	131.8	140	143	139.2
อุณหภูมิ TT4 ( °ช)	106.3	107.3	107.5	106.5	106.5	124.8	124.4	122.7	122.2	122.4
อุณหภูมิ TT5 ( °ช)	107.8	109	105.3	108	109	126.5	125.1	125.2	125.5	124.6
อุณหภูมิเฉลี่ยเบด ( °ช)	110.2	110.6	111.6	110.3	110.5	129.6	129.0	130.3	131.2	129.7
ความตัน PG1 (บาร์)	0.16	0.19	0.17	0.15	0.12	0.15	0.18	0.16	0.14	0.17
ความตัน PG2 (บาร์)	0.2	0.23	0.2	0.19	0.17	0.2	0.25	0.2	0.2	0.21

### ตารางผนวกที่ ก1 (ต่อ)

ข้อมูลของขั้นตอนสมดุลการคุณภาพ										
ความดันคร่อมเบด (บาร์)	0.04	0.04	0.03	0.04	0.05	0.05	0.07	0.04	0.06	0.04
ความเข้มข้นสมดุล (wt%)	94.5	95.7	96.6	98.1	99.2	94.5	96.0	97.7	98.6	99.2
ค่าที่คำนวณจากการทดลอง (บรรจุสารคุณภาพ โภมเดกูลาร์ซีพ 3A จำนวน 429.97 กรัม)										
น้ำหนักน้ำรีมตื้น (g)	50.5	39.4	30.3	16.8	7.4	42.7	30.7	17.7	10.7	6.0
น้ำหนักน้ำที่สมดุล (g)	24.2	19.1	15.3	8.2	3.6	24.5	17.9	10.2	6.0	3.4
น้ำหนักน้ำที่คุณภาพไว(g)	26.3	20.4	15.0	8.5	3.8	18.1	12.8	7.5	4.7	2.6
ความจุอน้ำ	0.06	0.04	0.03	0.02	0.008	0.042	0.029	0.017	0.011	0.006

**ตารางผนวกที่ ก2 ผลการทดลองและการคำนวณหาสมดุลการดูดซับโดยใช้สารดูดซับจากวัสดุ  
ท้องถิ่นชนิดเม็ดข้าวโพดข้าวเหนียวผ่าซีก**

ข้อมูลชุดที่	1	2	3	4	5	6	7	8
ข้อมูลการคายซับด้วยก๊าซในไตรเจนร้อน								
อุณหภูมิของน้ำมันร้อน ( °ช)	150	150	150	150	150	150	150	150
อุณหภูมิที่ตำแหน่ง TT2 ( °ช)	120.5	122.5	125.2	125.2	125.6	127	126.9	127.1
อุณหภูมิที่ตำแหน่ง TT3 ( °ช)	125.6	126	127.8	127.6	128.2	129.5	128.8	129.5
อุณหภูมิที่ตำแหน่ง TT4 ( °ช)	135.8	137.6	138.7	139.2	139	140.5	139.5	139.8
อุณหภูมิที่ตำแหน่ง TT5 ( °ช)	130.8	132	133.4	134.2	134	135.3	134.4	134.6
อุณหภูมิเฉลี่ยของเบด ( °ช)	128.18	129.53	131.28	131.55	131.7	133.08	132.4	132.75
ความดันตำแหน่ง PG1(บาร์)	0.2	0.22	0.2	0.2	0.2	0.2	0.2	0.2
ความดันตำแหน่ง PG2(บาร์)	0.1	0.1	0.1	0.09	0.1	0.1	0.1	0.08
ความดันคร่อมเบด (บาร์)	0.1	0.12	0.1	0.11	0.1	0.1	0.1	0.12
อัตราไอลainไตรเจน (l/nท.)	2.2	2.2	2.2	2.2	2.2	2.2	2.2	2.2
ข้อมูลของขันตอนสมดุลการดูดซับ								
ความเข้มข้นเริ่มต้น (wt%)	93.463	95.517	97.163	98.672	94.209	95.327	97.231	98.73
อัตราการป้อน (ml./nท.)	4.91	4.91	4.91	4.91	4.91	4.91	4.91	4.91
ปริมาตรเริ่มต้น (ml.)	600	600	600	600	600	600	600	600
อุณหภูมิของน้ำมันร้อน ( °ช)	150	150	150	150	175	175	175	175
อุณหภูมิที่ตำแหน่ง TT1 ( °ช)	119.5	118.4	106	106.3	124.4	135.3	133.8	133.6
อุณหภูมิที่ตำแหน่ง TT2 ( °ช)	126.2	125	121.7	123.6	148.4	143	145.5	145.3
อุณหภูมิที่ตำแหน่ง TT3 ( °ช)	125.7	124.5	122.5	122.8	149.4	142.8	144.9	145.8
อุณหภูมิที่ตำแหน่ง TT4 ( °ช)	91.8	92.8	96.9	94.2	109.3	117.2	112.6	111.9
อุณหภูมิที่ตำแหน่ง TT5 ( °ช)	92.5	94.7	95.8	95.6	109.1	114.2	113.5	113.5
อุณหภูมิเฉลี่ยของเบด ( °ช)	109.05	109.25	109.23	109.05	129.05	129.3	129.13	129.13
ความดันตำแหน่ง PG1(บาร์)	0.2	0.22	0.2	0.2	0.22	0.22	0.22	0.2
ความดันตำแหน่ง PG2(บาร์)	0.3	0.32	0.3	0.3	0.35	0.32	0.32	0.32
ความดันคร่อมเบด (บาร์)	0.1	0.1	0.1	0.1	0.13	0.1	0.1	0.12
ความเข้มข้นที่สมดุล (wt%)	94.574	96.244	97.651	98.968	94.851	95.768	97.482	98.85
ค่าที่คำนวณจากการทดลอง (บรรจุสารดูดซับเม็ดข้าวโพดข้าวเหนียวผ่าซีก จำนวน 241.62 กรัม)								
น้ำหนักน้ำเริ่มต้น (g)	30.21	20.607	12.984	6.0537	26.71	21.491	12.671	5.7884
น้ำหนักน้ำที่สภาวะสมดุล (g)	24.781	17.135	10.697	4.6903	23.589	19.373	11.493	5.2351
น้ำหนักน้ำที่ถูกดูดซับไว้ (g)	5.429	3.4722	2.2872	1.3634	3.1219	2.1177	1.1782	0.5533
ความชื้นในน้ำ	0.0225	0.0144	0.0095	0.0056	0.0129	0.0088	0.0049	0.0023

**ตารางผนวกที่ ก3 ผลการทดสอบและการคำนวนหาสมดุลการดูดซับโดยใช้สารดูดซับจากวัสดุ**  
**ท้องถิ่นนิวเคลียร์สมเด็จอย่ากันหินกับปูนซีเมนต์อัตราส่วน 3 ต่อ 1 โดย**  
**ปริมาตร**

ข้อมูลชุดที่	1	2	3	4	5	6	7	8
ข้อมูลการคายซับด้วยก๊าซในไตรเจนร้อน								
อุณหภูมิของน้ำมันร้อน ( °ช)	150	150	150	150	150	150	150	150
อุณหภูมิที่ตำแหน่ง TT2 ( °ช)	125.6	124.6	125.7	126.1	125	125.8	126.5	126.6
อุณหภูมิที่ตำแหน่ง TT3 ( °ช)	127.2	125.9	126.8	127.1	126.3	127.1	127.7	127.9
อุณหภูมิที่ตำแหน่ง TT4 ( °ช)	137.4	137.3	138.6	138.1	137.8	138	139	139.3
อุณหภูมิที่ตำแหน่ง TT5 ( °ช)	130.7	130.7	132	131.6	131.5	131.6	132.4	132.8
อุณหภูมิเฉลี่ยของเบด ( °ช)	130.23	129.63	130.78	130.73	130.15	130.63	131.4	131.65
ความดันตำแหน่ง PG1(บาร์)	0.2	0.2	0.2	0.2	0.2	0.2	0.2	0.2
ความดันตำแหน่ง PG2(บาร์)	0.1	0.1	0.1	0.1	0.1	0.1	0.1	0.1
ความดันคร่อมเบด (บาร์)	0.1	0.1	0.1	0.1	0.1	0.1	0.1	0.1
อัตราไอล์ไนโตรเจน (l/นาท.)	2.2	2.2	2.2	2.2	2.2	2.2	2.2	2.2
ข้อมูลของขันตอนสมดุลการดูดซับ								
ความเข้มข้นเริ่มต้น (wt%)	93.626	94.755	96.764	98.642	94.978	96.206	97.133	98.164
อัตราการป้อน (ml./นาท.)	4.91	4.91	4.91	4.91	4.91	4.91	4.91	4.91
ปริมาตรเริ่มต้น (ml.)	600	600	600	600	600	600	600	600
อุณหภูมิของน้ำมันร้อน ( °ช)	150	150	150	150	175	175	175	175
อุณหภูมิที่ตำแหน่ง TT1 ( °ช)	116.2	118.5	119.3	117.2	133.1	133.1	134.7	134.4
อุณหภูมิที่ตำแหน่ง TT2 ( °ช)	123.8	123.7	123.2	124.7	144.4	144.5	145.1	145.5
อุณหภูมิที่ตำแหน่ง TT3 ( °ช)	123.9	123.1	125.3	123.1	142.6	144.6	145.8	145.5
อุณหภูมิที่ตำแหน่ง TT4 ( °ช)	95.4	95.7	94.6	94.7	115.6	117.6	113	115.4
อุณหภูมิที่ตำแหน่ง TT5 ( °ช)	95.6	94.6	94.6	95.6	115.5	117.3	113.6	115.1
อุณหภูมิเฉลี่ยของเบด ( °ช)	109.68	109.28	109.43	109.53	129.53	131	129.38	130.38
ความดันตำแหน่ง PG1(บาร์)	0.15	0.15	0.15	0.15	0.2	0.18	0.18	0.2
ความดันตำแหน่ง PG2(บาร์)	0.22	0.22	0.22	0.22	0.3	0.28	0.28	0.28
ความดันคร่อมเบด (บาร์)	0.07	0.07	0.07	0.07	0.1	0.1	0.1	0.08
ความเข้มข้นที่สมดุล (wt%)	94.182	95.189	97.041	98.75	95.305	96.455	97.316	98.294
ค่าที่คำนวนจากการทดสอบ (บรรจุสารดูดซับวัสดุผสมถ้าหลอยกานหิน และปูนซีเมนต์อัตราส่วน 3 ต่อ 1 โดยปริมาตร จำนวน 321.80 กรัม)								
น้ำหนักน้ำเริ่มต้น (g)	29.444	24.157	14.826	6.191	23.117	17.408	13.123	8.3807
น้ำหนักน้ำที่สภาวะสมดุล (g)	26.717	22.058	13.518	5.6924	21.538	16.224	12.262	7.777

### ตารางผนวกที่ ก3 (ต่อ)

ค่าที่คำนวณจากการทดลอง (บรรจุสารดูดซับวัสดุผสมถ้าลอยถ่านหิน และปูนซีเมนต์อัตราส่วน 3 ต่อ 1 โดยปริมาตร จำนวน 321.80 กรัม)							
น้ำหนักน้ำที่ถูกดูดซับไว้(g)	2.7271	2.1	1.308	0.4986	1.5794	1.1845	0.8607
ความจุไอน้ำ	0.0085	0.0065	0.0041	0.0015	0.0049	0.0037	0.0027

ตัวอย่างการคำนวณหาความจุไอน้ำของสารดูดซับในการทดลองหาสมดุลการดูดซับไอน้ำที่  
อุณหภูมิคงที่ของโอมเลกูลาร์ชีพ 3A ชุดการทดลองที่ 10

#### สมมติฐานที่ใช้ในการคำนวณ

1. ระบบประกอบด้วยอุตสาหกรรมน้ำ และสารดูดซับ
2. มวลของระบบไม่มีการสูญเสีย
3. ระบบมีปริมาตรสารละลายน้ำในตัน 600 มิลลิลิตร
4. สารดูดซับดูดซับเฉพาะน้ำ ไม่มีการดูดซับอุตสาหกรรมน้ำ
5. ที่สมดุลการดูดซับไอน้ำ ระบบมีอุณหภูมิคงที่

#### สัญลักษณ์ที่ใช้

$$\begin{aligned}
 w_a &= \text{น้ำหนักสารดูดซับ} \\
 w_e &= \text{น้ำหนักอุตสาหกรรมน้ำ} \\
 w_{w1} &= \text{น้ำหนักน้ำในสารละลายน้ำ} \\
 w_{w2} &= \text{น้ำหนักน้ำในสารดูดซับ} \\
 w_s &= \text{น้ำหนักสารละลายน้ำในตัน} = w_e + w_{w1} + w_{w2} \\
 w_w &= \text{น้ำหนักน้ำ} = w_{w1} + w_{w2} \\
 c_i &= \text{ความเข้มข้นสารละลายน้ำในตัน} \\
 c_{eq} &= \text{ความเข้มข้นสารละลายน้ำที่สมดุลการดูดซับไอน้ำ}
 \end{aligned}$$

### ตัวอย่างการคำนวณ

- บรรจุอุทานอลไวร์น้ำในขวดปีองอุทานอลปริมาตร 600 มิลลิลิตรชั่งน้ำหนักได้ 454.25 กรัม
- บรรจุอุทานอล 85 เปอร์เซ็นต์โดยน้ำหนักในขวดปีองอุทานอลปริมาตร 600 มิลลิลิตรชั่งน้ำหนักได้ 472.36 กรัม

- ความเข้มข้นอุทานอลต่างกัน  $100-85 = 15\% \text{w/w}$  น้ำหนักจะต่างกัน  $454.25-472.36 = -18.11 \text{ g}$

$$(454.25 - \text{น้ำหนักของสารละลายอุทานอลในขวดปีอง}) / (100 - \text{ความเข้มข้นของอุทานอล})$$

$$= -18.11 / 15$$

$$= -1.2073$$

หรือ

$$\text{น้ำหนักของสารละลายอุทานอลในขวดปีอง} = 454.25 + 1.2073(100 - \text{ความเข้มข้นของอุทานอล})$$

$$c_i = 98.672 \% \text{wt}$$

$$c_{eq} = 99.245 \% \text{wt}$$

$$w_s = 454.25 + 1.2073(100 - c_i) = 454.25 + 1.2073(100 - 98.672)$$

$$= 455.853 \text{ กรัม}$$

$$w_w = w_s (100 - c_i) / 100 = w_s (100 - 98.672) / 100$$

$$= 6.054 \text{ กรัม}$$

$$w_e = w_s - w_w = 455.853 - 6.054$$

$$= 449.799 \text{ กรัม}$$

ที่สภาวะสมดุลการดูดซับ ในสารละลาย (ไม่รวมในสารดูดซับ)

$$c_{eq} = \frac{100w_e}{w_e + w_{w1}} \quad \text{หรือ} \quad w_{w1} = \frac{100w_e}{c_{eq}} - w_e$$

$$w_{w1} = \frac{100(449.799)}{99.245} - 449.799$$

$$= 3.422 \text{ กรัม}$$

$$\begin{aligned}w_{w2} &= w_w - w_{w1} = 6.054 - 3.422 \\&= 2.632 \text{ กรัม}\end{aligned}$$

ดังนั้นความจุของไอน้ำที่ถูกดูดซับต่อน้ำหนักของสารดูดซับ

$$= \frac{w_{w2}}{w_a} = \frac{2.632}{429.97} = 0.00612$$

## ภาคผนวก ข

ผลการทดลองหาเส้นโค้งการดูดซับ และเส้นโค้งการรายซับใหม่ของสารดูดซับที่ใช้ในการทดลอง

### ข 1 โภมเลกุลาร์ชีพ 3A

#### ตารางผนวกที่ ข 1 ผลการทดลองหาเส้นโค้งการดูดซับของโภมเลกุลาร์ชีพ 3A

ข้อมูลชุดที่	1	2	3	4	5	6
อัตราป้อน (ml./นาท.)	5.9 (60)	7.86 (80)	9.83 (100)	5.9 (60)	7.86 (80)	9.83 (100)
ความเข้มข้นป้อน (wt%)	95.5	95.5	95.5	95.5	95.5	95.5
อุณหภูมิในมันร้อน ( °ช)	150	150	150	175	175	175
อุณหภูมิ TT1 ( °ช)	107.5	109.2	119	138.6	139.5	142.6
อุณหภูมิ TT2 ( °ช)	112.7	111.6	114.7	138.8	141.9	139.5
อุณหภูมิ TT3 ( °ช)	111.3	113.1	112.4	140.5	138.2	141.3
อุณหภูมิ TT4 ( °ช)	104.6	104.9	102.3	118.8	118.9	118.5
อุณหภูมิ TT5 ( °ช)	108.6	106.7	105.3	120.3	123	120.5
อุณหภูมิเฉลี่ย ( °ช)	109.3	109.075	108.675	129.6	130.5	129.95
ความดัน PG1 (บาร์)	0.15	0.1	0.25	0.15	0.15	0.3
ความดัน PG2 (บาร์)	0.38	0.45	0.7	0.4	0.55	0.8
ความดันตก (บาร์)	0.23	0.35	0.45	0.25	0.4	0.5

ข้อมูลความเข้มข้นของอุตสาหกรรมที่ออกจากการเบคกันเวลา ของข้อมูลชุดที่ 1

เวลา (นาท.)	ความเข้มข้น						
0	98.879	80	98.731	200	96.517	380	95.911
5	99.102	90	98.562	210	96.362	400	95.878
10	99.201	100	98.403	220	96.269	420	95.861
15	99.223	110	98.194	230	96.225	440	95.843
20	99.223	120	98.014	240	96.195	460	95.818

**ตารางผนวกที่ ข1 (ต่อ)**

<b>ข้อมูลความเข้มข้นของอุณหภูมิที่ออกจากเบดกับเวลา ของข้อมูลชุดที่ 1</b>							
เวลา (นาท.)	ความเข้มข้น	เวลา (นาท.)	ความเข้มข้น	เวลา (นาท.)	ความเข้มข้น	เวลา (นาท.)	ความเข้มข้น
25	99.223	130	97.772	250	96.132	480	95.796
30	99.198	140	97.56	260	96.102	500	95.776
35	99.198	150	97.347	280	96.038	520	95.758
40	99.158	160	97.163	300	96.015	540	95.742
50	99.108	170	96.979	320	95.978	560	95.724
60	98.963	180	96.795	340	95.948	580	95.704
70	98.852	190	96.672	360	95.933		

<b>ข้อมูลความเข้มข้นของอุณหภูมิที่ออกจากเบดกับเวลา ของข้อมูลชุดที่ 2</b>							
เวลา (นาท.)	ความเข้มข้น	เวลา (นาท.)	ความเข้มข้น	เวลา (นาท.)	ความเข้มข้น	เวลา (นาท.)	ความเข้มข้น
0	98.523	55	98.731	165	96.424	345	95.853
5	98.998	65	98.501	185	96.237	365	95.832
10	99.102	75	98.352	205	96.144	385	95.815
15	99.132	85	98.194	225	96.05	405	95.789
20	99.132	95	97.904	245	95.988	425	95.765
25	99.132	105	97.672	265	95.951	445	95.738
30	99.109	115	97.369	285	95.925		
35	99.052	125	97.102	305	95.908		
45	98.989	145	96.764	325	95.878		

<b>ข้อมูลความเข้มข้นของอุณหภูมิที่ออกจากเบดกับเวลา ของข้อมูลชุดที่ 3</b>							
เวลา (นาท.)	ความเข้มข้น	เวลา (นาท.)	ความเข้มข้น	เวลา (นาท.)	ความเข้มข้น	เวลา (นาท.)	ความเข้มข้น
0	98.314	50	98.463	140	96.548	300	95.898
5	98.79	60	98.164	160	96.331	320	95.866
10	98.879	70	97.832	180	96.206	340	95.841
15	98.968	80	97.56	200	96.113	360	95.827
20	98.997	90	97.316	220	96.05	380	95.801

**ตารางผนวกที่ ข1 (ต่อ)**

<b>ข้อมูลความเข้มข้นของอุตสาหกรรมที่ออกจากเบดกับเวลา ของข้อมูลชุดที่ 3</b>							
เวลา (นาท.)	ความเข้มข้น	เวลา (นาท.)	ความเข้มข้น	เวลา (นาท.)	ความเข้มข้น	เวลา (นาท.)	ความเข้มข้น
25	98.997	100	97.102	240	95.988		
30	98.909	110	96.887	260	95.948		
40	98.761	120	96.733	280	95.913		

<b>ข้อมูลความเข้มข้นของอุตสาหกรรมที่ออกจากเบดกับเวลา ของข้อมูลชุดที่ 4</b>							
เวลา (นาท.)	ความเข้มข้น	เวลา (นาท.)	ความเข้มข้น	เวลา (นาท.)	ความเข้มข้น	เวลา (นาท.)	ความเข้มข้น
0	99.075	45	99.498	125	97.498	235	95.978
5	99.409	55	99.349	135	97.213	255	95.91
10	99.567	65	99.142	145	97.004	275	95.871
15	99.583	75	98.983	155	96.759	295	95.831
20	99.583	85	98.779	165	96.617	315	95.778
25	99.583	95	98.455	175	96.407	335	95.749
30	99.579	105	98.154	195	96.189	355	95.735
35	99.541	115	97.792	215	96.013		

<b>ข้อมูลความเข้มข้นของอุตสาหกรรมที่ออกจากเบดกับเวลา ของข้อมูลชุดที่ 5</b>							
เวลา (นาท.)	ความเข้มข้น	เวลา (นาท.)	ความเข้มข้น	เวลา (นาท.)	ความเข้มข้น	เวลา (นาท.)	ความเข้มข้น
0	98.82	40	99.351	110	97.225	210	95.88
5	99.174	50	99.204	120	97.01	230	95.789
10	99.381	60	98.879	130	96.764	250	95.758
15	99.511	70	98.463	140	96.517	270	95.708
20	99.516	80	98.104	150	96.393	290	95.695
25	99.513	90	97.863	170	96.113		
30	99.509	100	97.56	190	95.957		

**ตารางผนวกที่ ข1 (ต่อ)**

<b>ข้อมูลความเข้มข้นของอุกกาบาตที่ออกจากการเบดกั้นเวลา ของข้อมูลชุดที่ 6</b>							
เวลา (นาท.)	ความเข้มข้น	เวลา (นาท.)	ความเข้มข้น	เวลา (นาท.)	ความเข้มข้น	เวลา (นาท.)	ความเข้มข้น
0	98.672	30	99.145	85	97.063	175	95.875
5	99.086	35	98.968	95	96.764	195	95.783
10	99.398	45	98.582	105	96.486	215	95.751
15	99.424	55	98.104	115	96.301	235	95.711
20	99.438	65	97.59	135	96.144		
25	99.408	75	97.316	155	95.988		

**ตารางผนวกที่ ข2 ผลการทดสอบหาเส้นโค้งการคายซับของโภมเลกูลาร์ซีพ 3A**

ข้อมูลชุดที่	1	2	3	4	5	6
อัตราปืน (มล./นท.)	0.98 (10)	1.97 (20)	2.95 (30)	0.98 (10)	1.97 (20)	2.95 (30)
ความเข้มข้นปืน (wt%)	99.9	99.9	99.9	99.9	99.9	99.9
อุณหภูมิน้ำมันร้อน ( °ช)	160	160	160	185	185	185
อุณหภูมิ TT1 ( °ช)	103.5	97.3	103.6	125.8	115.5	128.2
อุณหภูมิ TT2 ( °ช)	97.6	95.6	95.7	125.1	118.8	111.7
อุณหภูมิ TT3 ( °ช)	100.1	99.1	96.7	127.1	123.6	113.9
อุณหภูมิ TT4 ( °ช)	121.2	120.9	121.6	145.3	145.6	145.1
อุณหภูมิ TT5 ( °ช)	121.8	121.6	122.2	145.7	145.9	145.5
อุณหภูมิเฉลี่ย ( °ช)	110.175	109.3	109.05	135.8	133.475	129.05
ความดัน PG1 (บาร์)	-0.4 ~ -0.3	-0.4 ~ -0.3	-0.4 ~ -0.3	-0.4 ~ -0.3	-0.4 ~ -0.3	-0.4 ~ -0.3
ความดัน PG2 (บาร์)	-0.4 ~ -0.3	-0.4 ~ -0.3	-0.4 ~ -0.3	-0.4 ~ -0.3	-0.4 ~ -0.3	-0.4 ~ -0.3

**ข้อมูลความเข้มข้นของอุตสาหกรรมที่ออกจากการเบดกับเวลา ของข้อมูลชุดที่ 1**

เวลา (นท.)	ความเข้มข้น						
0	93.358	260	94.467	580	97.256	900	98.239
10	92.134	280	94.859	600	97.31	920	98.288
20	90.555	300	94.996	620	97.463	940	98.335
30	89.452	320	95.205	640	97.499	960	98.379
40	89.103	340	95.539	660	97.529	980	98.433
50	88.964	360	95.697	680	97.499	1000	98.463
60	88.734	380	95.837	700	97.62	1020	98.495
80	88.964	400	95.881	720	97.698	1040	98.544
100	90.555	420	96.167	740	97.732	1060	98.582
120	91.64	440	96.258	760	97.798	1080	98.618
140	92.442	460	96.495	780	97.893	1100	98.653
160	92.938	480	96.764	800	97.983	1120	98.687
180	93.234	500	96.856	820	98.013	1140	98.72

**ตารางผนวกที่ ข2 (ต่อ)**

<b>ข้อมูลความเข้มข้นของอุณหภูมิที่ออกจากเบดกับเวลา ของข้อมูลชุดที่ 1</b>							
เวลา (นาท.)	ความเข้มข้น	เวลา (นาท.)	ความเข้มข้น	เวลา (นาท.)	ความเข้มข้น	เวลา (นาท.)	ความเข้มข้น
200	93.593	520	97.051	840	98.074		
220	94.048	540	97.071	860	98.133		
240	94.434	560	97.195	880	98.187		
<b>ข้อมูลความเข้มข้นของอุณหภูมิที่ออกจากเบดกับเวลา ของข้อมูลชุดที่ 2</b>							
เวลา (นาท.)	ความเข้มข้น	เวลา (นาท.)	ความเข้มข้น	เวลา (นาท.)	ความเข้มข้น	เวลา (นาท.)	ความเข้มข้น
0	94.826	115	94.455	325	97.56	605	98.869
5	91.586	125	94.673	345	97.789	625	98.919
10	90.621	135	94.978	365	97.953	645	98.977
15	90.508	145	95.296	385	97.969	665	99.031
20	90.343	155	95.232	405	97.983	685	99.087
25	89.747	165	95.737	425	98.074	705	99.135
30	89.068	175	95.806	445	98.194	725	99.178
35	89.578	185	96.102	465	98.314	745	99.215
45	90.447	205	96.517	485	98.374	765	99.245
55	91.109	225	96.702	505	98.463	785	99.278
65	92.166	245	96.979	525	98.523	805	99.318
85	92.865	265	97.163	545	98.578	825	99.349
95	93.691	285	97.316	565	98.781	835	99.371
105	94.17	305	97.469	585	98.815		
<b>ข้อมูลความเข้มข้นของอุณหภูมิที่ออกจากเบดกับเวลา ของข้อมูลชุดที่ 3</b>							
เวลา (นาท.)	ความเข้มข้น	เวลา (นาท.)	ความเข้มข้น	เวลา (นาท.)	ความเข้มข้น	เวลา (นาท.)	ความเข้มข้น
0	95.163	70	95.548	230	98.224	430	99.098
5	93.658	80	96.019	250	98.344	450	99.142
10	91.975	90	96.459	270	98.463	470	99.186
15	91.636	100	96.764	290	98.523	490	99.224

**ตารางผนวกที่ ข2 (ต่อ)**

<b>ข้อมูลความเข้มข้นของอุณหภูมิที่ออกจากการเบคกับเวลา ของข้อมูลชุดที่ 3</b>							
เวลา (นาท.)	ความเข้มข้น	เวลา (นาท.)	ความเข้มข้น	เวลา (นาท.)	ความเข้มข้น	เวลา (นาท.)	ความเข้มข้น
20	92.098	110	96.949	310	98.612	510	99.264
25	92.839	130	97.255	330	98.82	530	99.298
30	93.255	150	97.469	350	98.879	550	99.337
40	93.561	170	97.802	370	98.938	570	99.369
50	94.306	190	97.923	390	98.996	590	99.401
60	94.883	210	98.104	410	99.048		

<b>ข้อมูลความเข้มข้นของอุณหภูมิที่ออกจากการเบคกับเวลา ของข้อมูลชุดที่ 4</b>							
เวลา (นาท.)	ความเข้มข้น	เวลา (นาท.)	ความเข้มข้น	เวลา (นาท.)	ความเข้มข้น	เวลา (นาท.)	ความเข้มข้น
0	88.578	105	89.103	245	94.946	525	98.553
10	87.389	115	89.597	265	95.643	545	98.612
15	86.652	125	90.143	285	96.113	565	98.672
20	86.253	135	90.726	305	96.206	585	98.82
25	85.608	145	91.066	325	96.672	605	98.879
30	85.081	155	91.643	345	96.918	625	98.934
35	84.863	165	92.098	365	97.255	645	98.984
40	85.101	175	92.508	385	97.347	665	99.031
45	85.525	185	93.102	405	97.651	685	99.074
55	86.217	195	93.561	425	97.863	705	99.115
65	86.934	205	93.723	445	97.923	725	99.152
75	87.512	215	94.177	465	98.134		
85	87.977	225	94.467	485	98.374		
95	88.569	235	94.691	505	98.433		

**ตารางผนวกที่ ข2 (ต่อ)**

**ข้อมูลความเข้มข้นของอุตสาหกรรมที่ออกจากเบดกัมเวลา ของข้อมูลชุดที่ 5**

เวลา (นาท.)	ความเข้มข้น						
0	90.315	75	91.032	165	95.263	315	98.523
5	89.034	85	91.552	175	95.706	335	98.731
10	87.522	95	92.008	185	96.083	355	98.761
15	86.813	105	92.685	195	96.424	375	98.876
25	86.976	115	93.365	215	96.856	395	98.971
35	87.977	125	94.009	235	97.377	415	99.059
45	89.098	135	94.434	255	97.832	435	99.134
55	89.697	145	94.696	275	98.074	455	99.215
65	90.143	155	94.996	295	98.344	475	99.283

**ข้อมูลความเข้มข้นของอุตสาหกรรมที่ออกจากเบดกัมเวลา ของข้อมูลชุดที่ 6**

เวลา (นาท.)	ความเข้มข้น						
0	91.652	55	93.893	145	97.255	305	99.135
5	90.432	65	94.627	165	97.62	325	99.263
10	89.198	75	95.264	185	97.953	345	99.375
15	90.831	85	95.706	205	98.194	365	99.486
20	91.652	95	96.113	225	98.433	385	99.584
25	92.132	105	96.455	245	98.612		
35	92.674	115	96.579	265	98.85		
45	93.365	125	96.826	285	98.998		

## ข 2 เมล็ดข้าวโพดข้าวเหนียวผ่าซีก

### ตารางผนวกที่ ข3 ผลการทดลองหาเส้นโค้งการคัดซับของเมล็ดข้าวโพดข้าวเหนียวผ่าซีก

ข้อมูลชุดที่	1	2	3	4	5	6
อัตราปื้อน (ml./นท.)	3.94 (40)	5.9 (60)	7.86 (80)	3.94 (40)	5.9 (60)	7.86 (80)
ความเข้มข้นปื้อน (wt%)	95.5	95.5	95.5	95.5	95.5	95.5
อุณหภูมิในมันร้อน ( °ช)	150	150	150	175	175	175
อุณหภูมิ TT1 ( °ช)	98.1	105.8	107.3	110.9	130.2	134.6
อุณหภูมิ TT2 ( °ช)	126.3	127.2	126.8	140.3	141.8	143.3
อุณหภูมิ TT3 ( °ช)	125.3	125.8	125.8	139.4	140.8	142.1
อุณหภูมิ TT4 ( °ช)	91.1	91.6	94.8	112.2	113.7	114
อุณหภูมิ TT5 ( °ช)	90.9	91.8	94.8	114.6	113.4	117.7
อุณหภูมิเฉลี่ย ( °ช)	108.4	109.1	110.6	126.6	127.4	129.3
ความดัน PG1 (บาร์)	0.08	0.2	0.3	0.08	0.2	0.32
ความดัน PG2 (บาร์)	0.12	0.3	0.5	0.15	0.34	0.56
ความดันตก (บาร์)	0.04	0.1	0.2	0.07	0.14	0.24

#### ข้อมูลความเข้มข้นของอุตสาหกรรมที่ออกจากการเบดกับเวลา ของข้อมูลชุดที่ 1

เวลา (นท.)	ความเข้มข้น						
0	99.554	20	97.648	55	96.424	95	95.956
5	99.474	25	97.255	65	96.238		
10	99.085	35	96.887	75	96.113		
15	98.144	45	96.641	85	95.988		

#### ข้อมูลความเข้มข้นของอุตสาหกรรมที่ออกจากการเบดกับเวลา ของข้อมูลชุดที่ 2

เวลา (นท.)	ความเข้มข้น						
0	99.282	15	97.856	35	96.548	65	96.082
5	99.109	20	97.013	45	96.331	75	96.019
10	98.632	25	96.602	55	96.206	85	95.988

**ตารางผนวกที่ ข3 (ต่อ)**

<b>ข้อมูลความเข้มข้นของอุปทานออลที่ออกจากเบดกับเวลา ของข้อมูลชุดที่ 3</b>							
เวลา (นาท.)	ความเข้มข้น	เวลา (นาท.)	ความเข้มข้น	เวลา (นาท.)	ความเข้มข้น	เวลา (นาท.)	ความเข้มข้น
0	99.193	15	96.795	30	96.393	60	95.956
5	98.674	20	96.702	40	96.269	70	95.925
10	97.583	25	96.517	50	96.082		
<b>ข้อมูลความเข้มข้นของอุปทานออลที่ออกจากเบดกับเวลา ของข้อมูลชุดที่ 4</b>							
เวลา (นาท.)	ความเข้มข้น	เวลา (นาท.)	ความเข้มข้น	เวลา (นาท.)	ความเข้มข้น	เวลา (นาท.)	ความเข้มข้น
0	99.412	15	97.672	35	96.393	75	95.957
5	99.286	20	96.895	45	96.237	95	95.925
10	98.924	25	96.61	55	96.113		
<b>ข้อมูลความเข้มข้นของอุปทานออลที่ออกจากเบดกับเวลา ของข้อมูลชุดที่ 5</b>							
เวลา (นาท.)	ความเข้มข้น	เวลา (นาท.)	ความเข้มข้น	เวลา (นาท.)	ความเข้มข้น	เวลา (นาท.)	ความเข้มข้น
0	99.238	15	97.579	35	96.144	65	95.831
5	99.012	20	96.775	45	96.113	85	95.637
10	98.487	25	96.4	55	95.988		
<b>ข้อมูลความเข้มข้นของอุปทานออลที่ออกจากเบดกับเวลา ของข้อมูลชุดที่ 6</b>							
เวลา (นาท.)	ความเข้มข้น	เวลา (นาท.)	ความเข้มข้น	เวลา (นาท.)	ความเข้มข้น	เวลา (นาท.)	ความเข้มข้น
0	99.101	15	96.455	30	96.113	60	95.863
5	98.041	20	96.238	40	96.019		
10	96.902	25	96.175	50	95.957		

**ตารางผนวกที่ ข4 ผลการทดลองหาสีน้ำเงิน โค้กิ่งการคายซับของเมล็ดข้าวโพดข้าวเหนียวผ่าซีก**

ข้อมูลชุดที่	1	2	3	4	5	6
อัตราปืน (มล./นท.)	0.98 (10)	1.97 (20)	2.95 (30)	0.98 (10)	1.97 (20)	2.95 (30)
ความเข้มข้นปืน (wt%)	99.9	99.9	99.9	99.9	99.9	99.9
อุณหภูมิน้ำมันร้อน ( °ช)	160	160	160	185	185	185
อุณหภูมิ TT1 ( °ช)	97.3	102.8	104	112.8	115.5	128.2
อุณหภูมิ TT2 ( °ช)	98.1	93	88.2	119.9	115.2	108.6
อุณหภูมิ TT3 ( °ช)	101.4	96.8	90.9	121.2	112.9	102.7
อุณหภูมิ TT4 ( °ช)	122	121.8	123.1	137.5	138.2	137.5
อุณหภูมิ TT5 ( °ช)	122.6	122.5	122.7	138.2	138.1	137.8
อุณหภูมิเฉลี่ย ( °ช)	111.025	108.525	106.225	129.2	126.1	121.65
ความตัน PG1 (บาร์)	-0.4 ~ -0.3	-0.4 ~ -0.3	-0.4 ~ -0.3	-0.4 ~ -0.3	-0.4 ~ -0.3	-0.4 ~ -0.3
ความตัน PG2 (บาร์)	-0.4 ~ -0.3	-0.4 ~ -0.3	-0.4 ~ -0.3	-0.4 ~ -0.3	-0.4 ~ -0.3	-0.4 ~ -0.3

**ข้อมูลความเข้มข้นของอุตสาหกรรมที่ออกจากการเบดกับเวลา ของข้อมูลชุดที่ 1**

เวลา (นท.)	ความเข้มข้น						
0	92.475	70	94.591	140	98.463	210	98.968
10	91.303	80	95.894	150	98.553	220	98.997
20	88.154	90	97.063	160	98.701	230	99.086
30	88.648	100	97.499	170	98.79	250	99.116
40	89.833	110	97.793	180	98.75		
50	91.336	120	98.164	190	98.95		
60	92.835	130	98.403	200	98.938		

**ข้อมูลความเข้มข้นของอุตสาหกรรมที่ออกจากการเบดกับเวลา ของข้อมูลชุดที่ 2**

เวลา (นท.)	ความเข้มข้น						
0	94.169	40	96.259	75	98.194	110	98.79
5	90.862	45	96.702	80	98.254	115	98.909
10	90.168	50	96.949	85	98.463	120	98.938
20	91.178	55	97.255	90	98.493	125	98.958
25	92.309	60	97.377	95	98.553	130	98.997
30	94.048	65	97.842	100	98.672	135	99.027
35	95.286	70	98.043	105	98.761	140	99.056

**ตารางผนวกที่ ข4 (ต่อ)**

**ข้อมูลความเข้มข้นของอุณหภูมิที่ออกจากการเบดกับเวลา ของข้อมูลชุดที่ 3**

เวลา (นาท.)	ความเข้มข้น						
0	95.454	25	97.111	50	98.503	75	99.037
5	92.938	30	97.477	55	98.761	80	99.067
10	90.384	35	97.872	60	98.997	85	99.115
15	91.135	40	98.204	65	99.027	90	99.245
20	95.386	45	98.394	70	99.027		

**ข้อมูลความเข้มข้นของอุณหภูมิที่ออกจากการเบดกับเวลา ของข้อมูลชุดที่ 4**

เวลา (นาท.)	ความเข้มข้น						
0	92.056	55	93.723	125	98.314	195	99.056
5	90.345	65	95.769	135	98.523	205	99.115
10	89.313	75	97.072	145	98.642	215	99.086
20	87.303	85	97.408	155	98.731	225	99.115
30	88.022	95	97.711	165	98.82	235	99.175
35	89.308	105	97.953	175	98.938		
45	91.306	115	98.164	185	98.997		

**ข้อมูลความเข้มข้นของอุณหภูมิที่ออกจากการเบดกับเวลา ของข้อมูลชุดที่ 5**

เวลา (นาท.)	ความเข้มข้น						
0	92.528	45	96.853	70	98.634	105	99.198
5	89.868	50	97.772	75	98.761	115	99.233
15	90.623	55	98.115	80	98.938		
25	92.201	60	98.305	85	98.998		
35	95.432	65	98.503	95	99.102		

**ข้อมูลความเข้มข้นของอุณหภูมิที่ออกจากการเบดกับเวลา ของข้อมูลชุดที่ 6**

เวลา (นาท.)	ความเข้มข้น						
0	95.896	25	97.711	50	99.027	75	99.204
5	90.281	30	98.354	55	99.115	80	99.233
10	89.735	35	98.761	60	99.145		
15	92.307	40	98.909	65	99.174		
20	96.269	45	98.968	70	99.204		

### ข 3 วัสดุผสมถ้าloyถ่านหินกับปูนซีเมนต์อัตราส่วน 3 ต่อ 1 โดยปริมาตร

#### ตารางผนวกที่ ข5 ผลการทดลองหาเส้นโค้งการคัดซับของวัสดุผสมถ้าloyถ่านหินกับปูนซีเมนต์ อัตราส่วน 3 ต่อ 1 โดยปริมาตร

ข้อมูลชุดที่	1	2	3	4	5	6
อัตราปืน (มล./นท.)	5.9 (60)	7.86 (80)	9.83 (100)	5.9 (60)	7.86 (80)	9.83 (100)
ความเข้มข้นปืน (wt%)	95.5	95.5	95.5	95.5	95.5	95.5
อุณหภูมิน้ำมันร้อน ( °ช)	150	150	150	175	175	175
อุณหภูมิ TT1 ( °ช)	118.7	119.4	121.8	121.5	132.3	134.3
อุณหภูมิ TT2 ( °ช)	122.5	120.3	121.5	145.3	146.3	147.5
อุณหภูมิ TT3 ( °ช)	122.8	121.3	121.3	145.1	146.3	146.9
อุณหภูมิ TT4 ( °ช)	95.1	97.5	99.3	112.9	115.8	116.8
อุณหภูมิ TT5 ( °ช)	95.1	97.3	99.5	110.6	115.4	115.9
อุณหภูมิเฉลี่ย ( °ช)	108.9	109.1	110.4	128.5	131.0	131.8
ความดัน PG1 (บาร์)	0.14	0.3	0.26	0.1	0.25	0.35
ความดัน PG2 (บาร์)	0.25	0.48	0.52	0.25	0.5	0.65
ความดันตอก (บาร์)	0.11	0.18	0.26	0.15	0.25	0.3

#### ข้อมูลความเข้มข้นของอุตสาหกรรมเบดกับเวลา ของข้อมูลชุดที่ 1

เวลา (นท.)	ความเข้มข้น						
0	99.759	15	96.848	35	95.768		
5	99.701	20	95.863	45	95.768		
10	98.463	25	95.831	55	95.737		

#### ข้อมูลความเข้มข้นของอุตสาหกรรมเบดกับเวลา ของข้อมูลชุดที่ 2

เวลา (นท.)	ความเข้มข้น						
0	99.574	10	97.941	20	95.863	40	95.643
5	99.555	15	96.713	30	95.737	50	95.643

#### ข้อมูลความเข้มข้นของอุตสาหกรรมเบดกับเวลา ของข้อมูลชุดที่ 3

เวลา (นท.)	ความเข้มข้น						
0	99.504	10	96.887	20	95.925	30	95.737
5	99.268	15	96.144	25	95.831	40	95.674

**ตารางผนวกที่ ๖ (ต่อ)**

**ข้อมูลความเสี่ยงขั้นของอุทกภัยที่ออกจากการเบดกันเวลา ของข้อมูลชุดที่ ๔**

เวลา (นาท.)	ความเสี่ยงขั้น						
0	99.68	10	97.316	25	95.863	45	95.674
5	99.592	20	96.517	35	95.737	55	95.643

**ข้อมูลความเสี่ยงขั้นของอุทกภัยที่ออกจากการเบดกันเวลา ของข้อมูลชุดที่ ๕**

เวลา (นาท.)	ความเสี่ยงขั้น						
0	99.474	15	96.175	30	95.737		
5	99.433	20	95.894	50	95.674		
10	97.194	25	95.768	60	95.674		

**ข้อมูลความเสี่ยงขั้นของอุทกภัยที่ออกจากการเบดกันเวลา ของข้อมูลชุดที่ ๖**

เวลา (นาท.)	ความเสี่ยงขั้น						
0	99.345	10	96.393	20	95.831	40	95.737
5	98.524	15	95.988	30	95.768		

**ตารางผนวกที่ ข6 ผลการทดสอบหาเส้นโค้งการคายซับของวัสดุผสมถ้าloyถ่านหินกับปูนซีเมนต์  
อัตราส่วน 3 ต่อ 1 โดยปริมาตร**

ข้อมูลชุดที่	1	2	3	4	5	6
อัตราปืน (มล./นท.)	0.98 (10)	1.97 (20)	2.95 (30)	0.98 (10)	1.97 (20)	2.95 (30)
ความเข้มข้นปืน (wt%)	99.9	99.9	99.9	99.9	99.9	99.9
อุณหภูมิน้ำมันร้อน ( °ช)	160	160	160	185	185	185
อุณหภูมิ TT1 ( °ช)	89.3	91.6	99.5	90.7	100.7	110.5
อุณหภูมิ TT2 ( °ช)	89.7	87	87.3	112.5	111.8	110.1
อุณหภูมิ TT3 ( °ช)	87.3	90.3	89.6	115	114.5	114.2
อุณหภูมิ TT4 ( °ช)	128.5	126.3	126.1	145	143	144
อุณหภูมิ TT5 ( °ช)	129	127.5	127	146.5	145.8	139.8
อุณหภูมิเฉลี่ย ( °ช)	108.625	107.775	107.5	129.75	128.775	127.025
ความดัน PG1 (บาร์)	-0.4 ~ -0.3	-0.4 ~ -0.3	-0.4 ~ -0.3	-0.4 ~ -0.3	-0.4 ~ -0.3	-0.4 ~ -0.3
ความดัน PG2 (บาร์)	-0.4 ~ -0.3	-0.4 ~ -0.3	-0.4 ~ -0.3	-0.4 ~ -0.3	-0.4 ~ -0.3	-0.4 ~ -0.3

**ข้อมูลความเข้มข้นของอุตสาหกรรมที่ออกจากการเบดกับเวลา ของข้อมูลชุดที่ 1**

เวลา (นท.)	ความเข้มข้น						
0	94.883	50	95.925	90	98.731	130	99.263
10	92.508	60	96.764	100	98.85	140	99.292
20	92.475	65	97.438	110	99.056	150	99.321
30	93.918	75	98.043	115	99.174	160	99.321
40	95.264	80	98.463	120	99.263	165	99.321

**ข้อมูลความเข้มข้นของอุตสาหกรรมที่ออกจากการเบดกับเวลา ของข้อมูลชุดที่ 2**

เวลา (นท.)	ความเข้มข้น						
0	95.885	35	97.01	55	98.879	75	99.438
10	93.908	40	97.843	60	99.144	80	99.511
20	95.296	45	98.284	65	99.365	85	99.555
25	96.237	50	98.672	70	99.38		

**ตารางผนวกที่ ๖ (ต่อ)**

**ข้อมูลความเข้มข้นของอุณหภูมิที่ออกจากการเบดกับเวลา ของข้อมูลชุดที่ ๓**

เวลา (นาท.)	ความเข้มข้น						
0	96.3	20	95.894	40	98.831	60	99.204
5	95.042	25	96.795	45	98.938	65	99.263
10	94.144	30	97.892	50	99.027	75	99.38
15	94.202	35	98.493	55	99.086	80	99.409

**ข้อมูลความเข้มข้นของอุณหภูมิที่ออกจากการเบดกับเวลา ของข้อมูลชุดที่ ๔**

เวลา (นาท.)	ความเข้มข้น						
0	93.906	40	96.316	75	98.938	110	99.204
10	91.841	45	97.153	80	99.027	120	99.233
15	91.065	50	97.344	90	99.086	125	99.204
25	93.201	60	98.182	95	99.145	130	99.145
30	94.957	65	98.226	105	99.174	135	99.204

**ข้อมูลความเข้มข้นของอุณหภูมิที่ออกจากการเบดกับเวลา ของข้อมูลชุดที่ ๕**

เวลา (นาท.)	ความเข้มข้น						
0	94.643	25	96.61	55	99.027	80	99.38
5	93.755	35	97.681	60	99.145	85	99.409
10	91.918	40	98.164	65	99.204	95	99.409
15	94.37	45	98.612	70	99.292	100	99.438
20	95.201	50	98.879	75	99.351		

**ข้อมูลความเข้มข้นของอุณหภูมิที่ออกจากการเบดกับเวลา ของข้อมูลชุดที่ ๖**

เวลา (นาท.)	ความเข้มข้น						
0	94.091	20	98.043	40	99.321	65	99.38
5	92.452	25	98.85	45	99.38		
10	92.839	30	99.174	50	99.38		
15	96.393	35	99.292	60	99.409		

## ภาคผนวก ค

**ผลการทดลองการดูดซับไอน้ำจากไออกซ์เจนของอุตสาหกรรมผลิตอาหารออลไร่น้ำ  
เปรียบเทียบกับสารดูดซับโนเมเลกุลาร์ชีพ 3A ที่ใช้ในอุตสาหกรรมผลิตอาหารออลไร่น้ำ**

จากการทดสอบเส้นโค้งการดูดซับโดยใช้โนเมเลกุลาร์ชีพ 3A พบว่า ที่อัตราการป้อน 5.90 มิลลิลิตรต่อน้ำที่ อุณหภูมิ 130 องศาเซลเซียส จะให้ความเพิ่มขึ้นของอุตสาหกรรมผลิตอาหารออลไร่น้ำ ดังนั้นสภาวะนี้จึงได้ถูกนำมาใช้ในการทดสอบการดูดซับโดยใช้สารดูดซับที่ห้องกินนิดต่างๆ ซึ่งมี ข้อมูลการทดลอง 11 ชุด ดังนี้

ข้อมูลชุดที่ 1	โนเมเลกุลาร์ชีพ 3A
ข้อมูลชุดที่ 2	ปูนซีเมนต์
ข้อมูลชุดที่ 3	เก้าโลยถ่านหินผสมปูนซีเมนต์ด้วยอัตราส่วน 1 ต่อ 1 โดยปริมาตร
ข้อมูลชุดที่ 4	เก้าโลยถ่านหินผสมปูนซีเมนต์ด้วยอัตราส่วน 3 ต่อ 1 โดยปริมาตร
ข้อมูลชุดที่ 5	ดินขาวอบแห้ง
ข้อมูลชุดที่ 6	ดินขาวเผาที่อุณหภูมิ 500 องศาเซลเซียส
ข้อมูลชุดที่ 7	ดินขาวเผาที่อุณหภูมิ 1,200 องศาเซลเซียส
ข้อมูลชุดที่ 8	เมล็ดข้าวโพดข้าวเหนียวผ่าซีก
ข้อมูลชุดที่ 9	เมล็ดข้าวโพดข้าวเหนียวเต็มเมล็ด
ข้อมูลชุดที่ 10	ฟางข้าว
ข้อมูลชุดที่ 11	ชาบอ้อย

**ตารางผนวกที่ ค1 สภาวะที่ใช้ทำการทดสอบการดูดซึบไอน้ำจากไออดสมของ.ethanol และน้ำ จาก การทดสอบชุดต่างๆ**

ข้อมูลชุดที่	1	2	3	4	5	6
อัตราป้อน (ml./นาท.)	5.9 (60)	5.9 (60)	5.9 (60)	5.9 (60)	5.9 (60)	5.9 (60)
ความเข้มข้นป้อน (wt%)	95.5	95.5	95.5	95.5	95.5	95.5
อุณหภูมิน้ำมันร้อน ( °ช)	175	175	175	175	175	175
อุณหภูมิ TT1 ( °ช)	138.6	130.6	131.5	131.8	132.3	128.3
อุณหภูมิ TT2 ( °ช)	138.8	141.9	143.7	140.7	142.2	142.6
อุณหภูมิ TT3 ( °ช)	140.5	140.2	142.6	140.5	141.2	141.3
อุณหภูมิ TT4 ( °ช)	118.8	117.4	113.4	112.8	114.9	116.3
อุณหภูมิ TT5 ( °ช)	120.3	120.7	119.6	118	120.9	119.5
อุณหภูมิเฉลี่ย ( °ช)	129.6	130.05	129.825	128	129.8	129.925
ความคัน PG1 (บาร์)	0.15	0.15	0.15	0.14	0.1	0.15
ความคัน PG2 (บาร์)	0.4	0.28	0.25	0.28	0.25	0.28
ความคันตก (บาร์)	0.25	0.13	0.1	0.14	0.15	0.15

ข้อมูลชุดที่	7	8	9	10	11
อัตราป้อน (ml./นาท.)	5.9 (60)	5.9 (60)	5.9 (60)	5.9 (60)	5.9 (60)
ความเข้มข้นป้อน (wt%)	95.5	95.5	95.5	95.5	95.5
อุณหภูมิน้ำมันร้อน ( °ช)	175	175	175	175	175
อุณหภูมิ TT1 ( °ช)	135.5	132.2	133.1	129.1	130.5
อุณหภูมิ TT2 ( °ช)	143.1	143.8	142.1	140.5	141.5
อุณหภูมิ TT3 ( °ช)	141.9	141.8	141.1	140	140.5
อุณหภูมิ TT4 ( °ช)	118.2	115.7	118.2	110.6	110.3
อุณหภูมิ TT5 ( °ช)	119.5	118.4	120.8	116.3	115.5
อุณหภูมิเฉลี่ย ( °ช)	130.675	129.925	130.55	126.85	126.95
ความคัน PG1 (บาร์)	0.1	0.2	0.2	0.22	0.15
ความคัน PG2 (บาร์)	0.25	0.35	0.32	0.38	0.35
ความคันตก (บาร์)	0.15	0.15	0.12	0.16	0.2

**ตารางผนวกที่ ค2 ผลความเข้มข้นของอุตสาหกรรมที่ออกจากการเบด จากการทดสอบชุดต่างๆ**

<b>ข้อมูลความเข้มข้นของอุตสาหกรรมที่ออกจากการเบดกับเวลา ของข้อมูลชุดที่ 1 (ไมเลกุลาร์ซีพ 3A)</b>							
เวลา (นาท.)	ความเข้มข้น	เวลา (นาท.)	ความเข้มข้น	เวลา (นาท.)	ความเข้มข้น	เวลา (นาท.)	ความเข้มข้น
0	99.075	45	99.498	125	97.498	235	95.978
5	99.409	55	99.349	135	97.213	255	95.91
10	99.567	65	99.142	145	97.004	275	95.871
15	99.583	75	98.983	155	96.759	295	95.831
20	99.583	85	98.779	165	96.617	315	95.778
25	99.583	95	98.455	175	96.407	335	95.749
30	99.579	105	98.154	195	96.189	355	95.735
35	99.541	115	97.792	215	96.013		

<b>ข้อมูลความเข้มข้นของอุตสาหกรรมที่ออกจากการเบดกับเวลา ของข้อมูลชุดที่ 2 (ปูนซีเมนต์)</b>							
เวลา (นาท.)	ความเข้มข้น	เวลา (นาท.)	ความเข้มข้น	เวลา (นาท.)	ความเข้มข้น	เวลา (นาท.)	ความเข้มข้น
0	99.497	10	96.082	20	95.831	40	95.588
5	98.598	15	95.925	30	95.674	50	95.531

<b>ข้อมูลความเข้มข้นของอุตสาหกรรมที่ออกจากการเบดกับเวลา ของข้อมูลชุดที่ 3 (ถ้าลองถ่านหินผสมปูนซีเมนต์ 1 ต่อ 1)</b>							
เวลา (นาท.)	ความเข้มข้น	เวลา (นาท.)	ความเข้มข้น	เวลา (นาท.)	ความเข้มข้น	เวลา (นาท.)	ความเข้มข้น
0	99.602	10	96.144	20	95.831	40	95.738
5	99.086	15	95.925	30	95.768	50	95.6

<b>ข้อมูลความเข้มข้นของอุตสาหกรรมที่ออกจากการเบดกับเวลา ของข้อมูลชุดที่ 4 (ถ้าลองถ่านหินผสมปูนซีเมนต์ 3 ต่อ 1)</b>							
เวลา (นาท.)	ความเข้มข้น	เวลา (นาท.)	ความเข้มข้น	เวลา (นาท.)	ความเข้มข้น	เวลา (นาท.)	ความเข้มข้น
0	99.759	10	96.548	20	95.831	35	95.768
5	99.211	15	95.957	25	95.8	45	95.668

<b>ข้อมูลความเข้มข้นของอุตสาหกรรมที่ออกจากการเบดกับเวลา ของข้อมูลชุดที่ 5 (ดินขาวอบแห้ง)</b>							
เวลา (นาท.)	ความเข้มข้น	เวลา (นาท.)	ความเข้มข้น	เวลา (นาท.)	ความเข้มข้น	เวลา (นาท.)	ความเข้มข้น
0	95.278	15	95.405	30	95.448	60	95.485
5	95.327	20	95.422	40	95.463		
10	95.333	25	95.448	50	95.485		

### ตารางผนวกที่ ค2 (ต่อ)

ข้อมูลความเข้มข้นของอุปทานอลท์ที่ออกจากเบดกับเวลา ของข้อมูลชุดที่ 6 (ดินขาวเผาที่อุณหภูมิ 500 องศาเซลเซียส)							
เวลา (นาท.)	ความเข้มข้น	เวลา (นาท.)	ความเข้มข้น	เวลา (นาท.)	ความเข้มข้น	เวลา (นาท.)	ความเข้มข้น
0	97.56	10	95.831	20	95.674		
5	96.826	15	95.737	35	95.611		
ข้อมูลความเข้มข้นของอุปทานอลท์ที่ออกจากเบดกับเวลา ของข้อมูลชุดที่ 7 (ดินขาวเผาที่อุณหภูมิ 1,200 องศาเซลเซียส)							
เวลา (นาท.)	ความเข้มข้น	เวลา (นาท.)	ความเข้มข้น	เวลา (นาท.)	ความเข้มข้น	เวลา (นาท.)	ความเข้มข้น
0	95.863	15	95.887	30	95.611		
5	96.163	20	95.732	45	95.58		
10	95.998	25	95.643	60	95.58		
ข้อมูลความเข้มข้นของอุปทานอลท์ที่ออกจากเบดกับเวลา ของข้อมูลชุดที่ 8 (เมล็ดข้าวโพดข้าวเหนียวเผาผ่าซีก)							
เวลา (นาท.)	ความเข้มข้น	เวลา (นาท.)	ความเข้มข้น	เวลา (นาท.)	ความเข้มข้น	เวลา (นาท.)	ความเข้มข้น
0	99.238	15	97.579	35	96.144	65	95.831
5	99.012	20	96.875	45	96.113	85	95.637
10	98.687	25	96.4	55	95.988		
ข้อมูลความเข้มข้นของอุปทานอลท์ที่ออกจากเบดกับเวลา ของข้อมูลชุดที่ 9 (เมล็ดข้าวโพดข้าวเหนียวเต็มเมล็ด)							
เวลา (นาท.)	ความเข้มข้น	เวลา (นาท.)	ความเข้มข้น	เวลา (นาท.)	ความเข้มข้น	เวลา (นาท.)	ความเข้มข้น
0	95.631	15	95.568	35	95.568		
5	95.568	20	95.568	45	95.568		
10	95.568	25	95.568	55	95.568		
ข้อมูลความเข้มข้นของอุปทานอลท์ที่ออกจากเบดกับเวลา ของข้อมูลชุดที่ 10 (ฟางข้าว)							
เวลา (นาท.)	ความเข้มข้น	เวลา (นาท.)	ความเข้มข้น	เวลา (นาท.)	ความเข้มข้น	เวลา (นาท.)	ความเข้มข้น
0	98.323	10	96.163	25	95.548		
5	96.569	15	95.58				
ข้อมูลความเข้มข้นของอุปทานอลท์ที่ออกจากเบดกับเวลา ของข้อมูลชุดที่ 11 (ชานอ้อย)							
เวลา (นาท.)	ความเข้มข้น	เวลา (นาท.)	ความเข้มข้น	เวลา (นาท.)	ความเข้มข้น	เวลา (นาท.)	ความเข้มข้น
0	95.611	10	95.517	25	95.517		
5	95.548	15	95.517				

## ภาคผนวก ง

### การคำนวณหาอัตราการป้อนของเครื่องคุณภาพเบดนิ่งที่ใช้ในการทดลอง

การคำนวณหาอัตราการป้อนของอุตสาหกรรมเครื่องคุณภาพเบดนิ่งที่ใช้ในการทดลอง คำนวณจากข้อมูลที่ได้จากการทดลองโดยใช้ชุดข้อมูลน้ำหนักของบริษัทของแก่นและก่อซอล์ฟ์ เจ้าของน้ำพองจังหวัดของแก่น

#### ง1 การคำนวณหาปริมาตรของเครื่องคุณภาพเบดนิ่ง

$$\begin{aligned}
 \text{สัดส่วนระหว่างความสูงต่อเส้นผ่านศูนย์กลาง} \left( \frac{h}{d} \right) &= 4.5/1 \\
 \text{ความสูงของเครื่องคุณภาพ} (h) &= 4.5 \quad \text{เมตร} \\
 \text{เส้นผ่านศูนย์กลางของเครื่องคุณภาพ} (d) &= 1 \quad \text{เมตร} \\
 \text{ปริมาตรของเครื่องคุณภาพ} &= V = \frac{\pi}{4} d^2 h = \frac{\pi}{4} (1^2)(4.5) \\
 &= 3.5343 \quad \text{ลูกบาศก์เมตร} \\
 &= 3,534,300 \quad \text{มิลลิลิตร}
 \end{aligned}$$

#### ง2 คุณสมบัติของอุตสาหกรรมและสภาพการทำงานของเครื่องคุณภาพเบดนิ่ง

$$\begin{aligned}
 \text{ความหนาแน่นของอุตสาหกรรมเหลวที่ } 20 \text{ องศาเซลเซียส} (\rho) &= 0.79 \quad \text{กรัมต่อมิลลิลิตร} \\
 \text{น้ำหนักโมเลกุลของอุตสาหกรรม} (M) &= 46 \quad \text{กรัมต่อมิลลิลิตร} \\
 \text{อัตราการป้อนของอุตสาหกรรม} (F) &= 108,000 \quad \text{ลิตรต่อวัน} \\
 &= 75,000 \quad \text{มิลลิลิตรต่อนาที} \\
 \text{อัตราการป้อนเชิงมวลที่ } 20 \text{ องศาเซลเซียส} &= m = F\rho \\
 &= 75,000 \times 0.79 \\
 &= 59,250 \quad \text{กรัมต่อนาที} \\
 \text{อัตราการป้อนเชิงโมล} &= \dot{M} = \frac{m}{M} \\
 &= \frac{59,250}{46} \\
 &= 1,288 \quad \text{โมลต่อนาที}
 \end{aligned}$$

ความดันสัมบูรณ์ของเครื่องดูดซับ ( $p$ )	=	1.5	บาร์
อุณหภูมิภายในเบด(113-118 องศาเซลเซียส)เฉลี่ย ( $T$ )	=	115	องศาเซลเซียส
	=	388.15	เคลวิน

### ๔๓ การคำนวณหาอัตราการป้อนออกanolในสภาวะไอ

$$\begin{aligned}
 \text{ค่าคงที่ของก๊าซ} (R) &= 83.14 \quad (\text{มิลลิลิตร})(\text{บาร์})/(\text{โมล}) \\
 (\text{เคลวิน})\text{อัตราการป้อนออกanol} \\
 F &= \dot{M} \left( \frac{RT}{p} \right) \\
 &= 1,288 \times (83.14 \times 388.15 / 1.5) \\
 &= 27,710,788 \quad \text{มิลลิลิตรต่อนาที}
 \end{aligned}$$

### ๔๔ การคำนวณหาเวลาที่ใช้ในการดูดซับ

$$\begin{aligned}
 \text{สัดส่วนช่องว่างของเบด} (\varepsilon) &= 0.4 \\
 \text{ปริมาตรช่องว่างภายในเบด} \\
 V_{void} &= \varepsilon V \\
 &= 0.4 \times 3,534,300 \\
 &= 1,413,720 \quad \text{มิลลิลิตร} \\
 \text{เวลาที่ใช้ในการดูดซับ} \\
 t &= \frac{V_{void}}{F} \\
 &= 1,413,720 / 27,710,788 \\
 &= 0.051 \quad \text{นาที}
 \end{aligned}$$

### ๔๕ การคำนวณหาปริมาตรของเครื่องดูดซับเบดนิ่งที่ใช้ในการทดลอง

$$\begin{aligned}
 \text{ใช้สัดส่วนระหว่างความสูงต่อเส้นผ่านศูนย์กลาง เช่นเดียวกันกับเครื่องดูดซับเบดนิ่งของ} \\
 \text{บริษัทขอนแก่นแอลกอฮอล์} \left( \frac{h}{d} \right) &= 4.5/1 \\
 \text{ความสูงของเครื่องดูดซับ} (h) &= 22.86 \quad \text{เซนติเมตร} \\
 \text{เส้นผ่านศูนย์กลางของเครื่องดูดซับ} (d) &= 5.08 \quad \text{เซนติเมตร} \\
 \text{ปริมาตรของเครื่องดูดซับ} \\
 V &= \frac{\pi}{4} d^2 h = \frac{\pi}{4} (5.08^2)(22.86) \\
 &= 463.33 \quad \text{มิลลิลิตร}
 \end{aligned}$$

ปริมาตรช่องว่างภายในเบด

$$\begin{aligned} V_{void} &= \varepsilon V \\ &= 0.4 \times 463.33 \\ &= 185.332 \quad \text{มิลลิลิตร} \end{aligned}$$

#### ง6 การคำนวณหาอัตราการป้อนเอกสารในสภาวะของเหลว

อัตราการป้อนเอกสารในสภาวะไอ

$$\begin{aligned} F &= \frac{V_{void}}{t} \\ &= 185.332 / 0.051 \\ &= 3,632.78 \quad \text{มิลลิลิตรต่อนาที} \end{aligned}$$

อัตราการป้อนเชิงโมล

$$\begin{aligned} \dot{M} &= \frac{Fp}{RT} \\ &= (3,632.78 \times 1.5) / (83.14 \times 388.15) \\ &= 0.1688 \quad \text{โมลต่อนาที} \end{aligned}$$

อัตราการป้อนเชิงมวล

$$\begin{aligned} \dot{m} &= \dot{M} M \\ &= 0.1688 \times 46 \\ &= 7.7674 \quad \text{กรัมต่อนาที} \end{aligned}$$

อัตราการป้อนเอกสารในสภาวะของเหลว

$$\begin{aligned} F &= \frac{\dot{m}}{\rho} \\ &= 7.7674 / 0.79 \\ &= 9.8322 \quad \text{มิลลิลิตรต่อนาที} \end{aligned}$$

ดังนี้จากการคำนวณข้างต้นทำให้ได้อัตราการป้อนสูงสุด (100 เปอร์เซ็นต์) ของเครื่องคูดซับเบนนิ่งที่ใช้ในการทดลองมีค่าเท่ากับ 9.8322 มิลลิลิตรต่อนาที

ภาคผนวก ๑

การสอนเที่ยบหาอัตราการไฟลจิงของปั๊มป้อนออกานอล

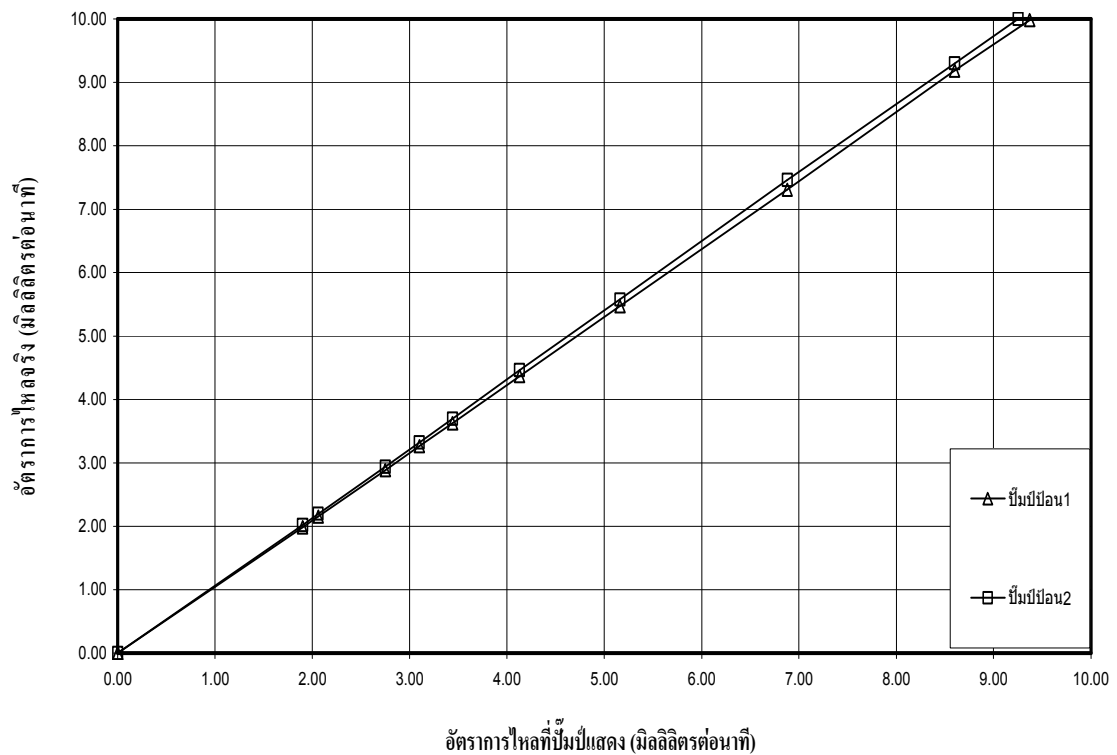
เนื่องจากในการวิจัยการคุณชับไอน้ำจากไอกลมของอุทกานอลและน้ำ ของสารคุณชับที่ใช้ในอุตสาหกรรมผลิตอุทกานอลไรัน้ำชนิดโมเลกุลาร์ซีพ 3A เปรียบเทียบกับวัสดุคุณชับที่ห้องถินในเครื่องคุณชับเบดคนึงแบบเปลี่ยนแปลงความดันครั้งนี้ อัตราการไหลของปั๊มป้อนอุทกานอลเป็นตัวแปรสำคัญที่มีผลต่อความถูกต้องของข้อมูลเด่น โถงการคุณชับและคายชับ จึงต้องมีการสอบเทียบหาอัตราการไหลจริงของปั๊มเปรียบเทียบกับอัตราการไหลที่ปั๊มแสดง เพื่อให้ได้ข้อมูลอัตราการไหลที่มีความเที่ยงตรงไว้ใช้งานต่อไป

ตารางผนวกที่ 1 ผลจากการสอบเทียบหาอัตราการไข่ลงของปั๊มป้อนอากาศในเครื่องที่ 1

**ตารางผนวกที่ จ2 ผลจากการสอบเทียบหาอัตราการ ไฟลจริงของปั๊มป้อนเอทานอลเครื่องที่ 2**

อัตราไฟลตั้งค่า (มิลลิลิตร/นาที)	เวลาที่ใช้ครั้งที่1		เวลาที่ใช้ครั้งที่2		เวลาที่ใช้ครั้งที่3		เฉลี่ย (มิลลิลิตร/นาที)	
	หน่วย (นาที: วินาที)	หน่วย (นาที)	หน่วย (นาที: วินาที)	หน่วย (นาที)	หน่วย (นาที: วินาที)	หน่วย (นาที)		
	0.00	0:00	0.00	0:00	0.00	0:00	0.00	
1.90	12:20	12.33	12:23	12.38	12:23	12.38	12.37	2.02
2.06	11:21	11.35	11:24	11.40	11:23	11.38	11.38	2.20
2.75	8:29	8.48	8:32	8.53	8:31	8.52	8.51	2.94
3.10	7:30	7.50	7:32	7.53	7:32	7.53	7.52	3.32
3.44	6:44	6.73	6:47	6.78	6:47	6.78	6.77	3.69
4.13	5:35	5.58	5:37	5.62	5:36	5.60	5.60	4.46
5.16	4:28	4.47	4:29	4.48	4:3	4.50	4.48	5.58
6.88	3:20	3.33	3:21	3.35	3:22	3.37	3.35	7.46
8.60	2:42	2.70	2:41	2.68	2:41	2.68	2.69	9.30
9.25	2:30	2.50	2:30	2.50	2:30	2.50	2.50	10.00

หมายเหตุ ในการคำนวณหาอัตราการ ไฟลใช้การวัดปริมาตรจากขาด้วดปริมาตรขนาด 25 มิลลิลิตร



ภาพผนวกที่ จ1 กราฟแสดงการสอบเทียบหาอัตราการไหลดจริงของปั๊มปี๊ดดงอุตสาหกรรมที่ 1

และ 2

## ภาคผนวก ฉ

### การทดลองหาความสัมพันธ์ระหว่างค่าดัชนีการหักเหของแสงกับความเข้มข้นของสารละลายเอทานอล

เนื่องจากในการวิจัยการคุณภาพไอน้ำจากไออกซินอยด์ของยาต้านอัลตราโซนิก 3A เปรียบเทียบกับวัสดุคุณภาพจากท้องถินในเครื่องคุณภาพเบคนิ่งแบบเปลี่ยนความดันนี้ คุณสมบัติสำคัญที่ต้องมีการวิเคราะห์หาก็คือความเข้มข้นของสารละลายเอทานอล โดยตัวอย่างที่ใช้ทำการวิเคราะห์นั้นมีปริมาณที่น้อย ทำให้มีการคิดหาวิธีที่จะวิเคราะห์หาความเข้มข้นของสารละลายเอทานอลที่มีการใช้ตัวอย่างในการวิเคราะห์ในปริมาณน้อยๆ ได้

การวิเคราะห์ดัชนีหักเหของแสงโดยใช้เครื่องวัดดัชนีหักเหของของเหลว (Refractometer) ก็เป็นวิธีวิเคราะห์อีกวิธีหนึ่งที่นิยมใช้กันมากเนื่องจากวัดค่าได้ง่ายรวดเร็ว และใช้ตัวอย่างในการวิเคราะห์น้อย ในการวิเคราะห์ผลิตภัณฑ์ปัตโตตรเลี่ยมเพื่อหารองค์ประกอบก็มีการใช้วิธีนี้ เช่นกัน ดังที่กล่าวข้างต้นจึงได้ทำการทดลองวัดค่าดัชนีหักเหของแสงของสารละลายเอทานอลกับน้ำที่ได้เตรียมไว้ ที่ความเข้มข้นต่างๆ เพื่อสร้างความสัมพันธ์ที่จะใช้ในการสอบเทียบระหว่างค่าดัชนีหักเหของแสงของสารละลายเอทานอลกับความเข้มข้นของสารละลายเอทานอล ซึ่งอาจจะสามารถใช้วิเคราะห์ค่าในงานวิจัยนี้ได้ต่อไป

#### ฉ1 วัตถุประสงค์

เพื่อสร้างกราฟความสัมพันธ์ระหว่าง ค่าดัชนีการหักเหของแสงของสารละลายเอทานอล กับความเข้มข้นของสารละลายเอทานอล เพื่อใช้ในการสอบเทียบระหว่างค่าดัชนีหักเหของแสงของสารละลายเอทานอลเมื่อสามารถวัดค่าดัชนีหักเหของแสงของสารละลายเอทานอลได้

#### ฉ2 อุปกรณ์ที่ใช้

- |  |    |         |
|--|----|---------|
| 1. ขวดแก้วใสพร้อมฝาจุกขนาด 50 มล.            | 20 | ขวด     |
| 2. บิวเตตพร้อมชุดขาดึงขนาด 50 มล.            | 1  | ชุด     |
| 3. เครื่องเบเย่สาร(Vortex Mixer CTL 107)     | 1  | เครื่อง |
| 4. เครื่องวัดดัชนีหักเหของสาร(Refractometer) | 1  | เครื่อง |
| 5. หลอดหยดสาร                                | 1  | หลอด    |

### ฉบับที่ใช้

1. เอทานอลไร้น้ำ 99.9 เปอร์เซ็นต์โดยน้ำหนักจากบริษัท Merck
2. น้ำกลั่นบริสุทธิ์ (Deionized Water)

### ฉบับที่

1. เตรียมสารละลายนอกอลกอที่สัดส่วนโดยปริมาตรดังตารางผนวก ฉบับที่ 1 ลงในขวดแก้วใสขนาด 50 มิลลิลิตร 20 ขวด โดยมีสัดส่วนของเอทานอลไร้น้ำและน้ำกลั่นบริสุทธิ์เป็นดังนี้

ตารางผนวก ฉบับที่ 1 แสดงการเตรียมสารละลายนอกอลกอที่ความเข้มข้นโดยปริมาตรค่าต่างๆ

ขวดที่	ปริมาตรรวม	ปริมาตรน้ำกลั่น	ปริมาตรเอทานอล	ความเข้มข้นโดยปริมาตร
	(มิลลิลิตร)	(มิลลิลิตร)	(มิลลิลิตร)	(เปอร์เซ็นต์)
1	50	50	0	0
2	50	45	5	10
3	50	40	10	20
4	50	35	15	30
5	50	30	20	40
6	50	25	25	50
7	50	20	30	60
8	50	15	35	70
9	50	10	40	80
10	50	5	45	90
11	50	4.5	45.5	91
12	50	4	46	92
13	50	3.5	46.5	93
14	50	3	47	94
15	50	2.5	47.5	95
16	50	2	48	96
17	50	1.5	48.5	97

**ตารางผนวก ฉบับที่ 1 (ต่อ)**

ข่าวดที่	ปริมาตรรวม (มิลลิลิตร)	ปริมาตรน้ำกลั่น (มิลลิลิตร)	ปริมาตรอุทานอล (มิลลิลิตร)	ความเจ้มข้นโดยปริมาตร (เบอร์เซ็นต์)
18	50	1	49	98
19	50	0.5	49.5	99
20	50	0	50	100

2. นำสารละลายอุทานอลที่เตรียมไว้ไปวิเคราะห์หาค่าดัชนีหักเหของแสง โดยใช้เครื่องวัดค่าดัชนีหักเหของแสง (Refractometer)



ภาพผนวกที่ ฉบับที่ 1 เครื่องวัดค่าดัชนีหักเหของแสงของเหลว (Refractometer)

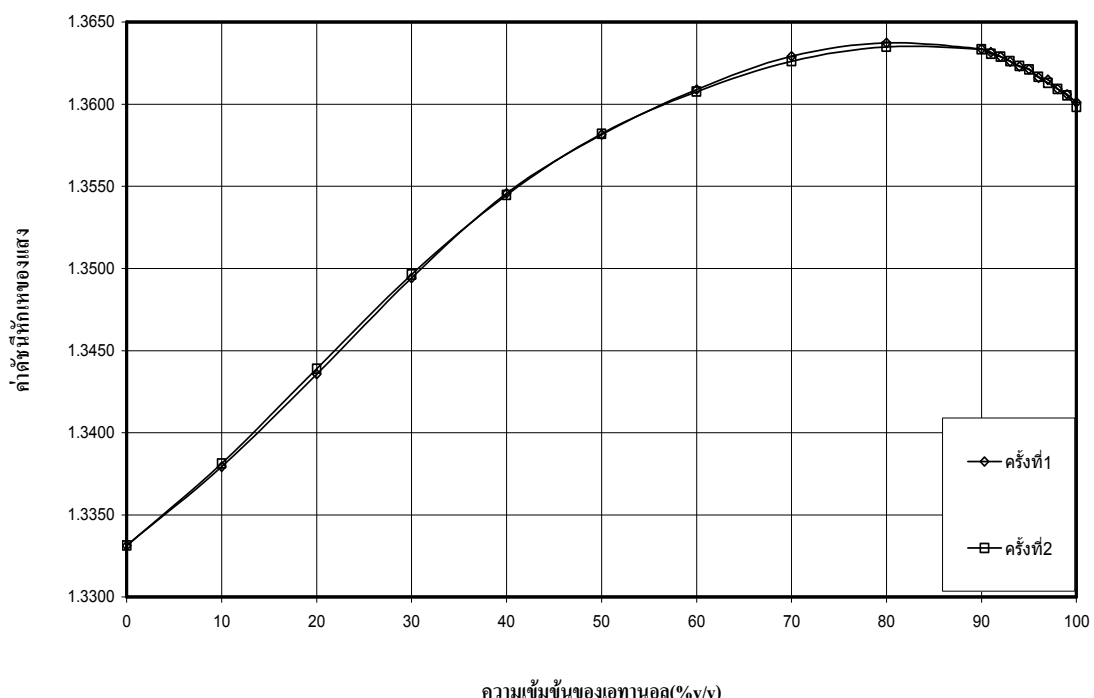
## ฉบับ 5 ผลการทดลอง

**ตารางผนวก ฉบับ 2 แสดงค่าดัชนีหักเหของแสงของสารละลายนอกความเข้มข้นต่างๆ ที่ 25 องศาเซลเซียส ในการทดลองครั้งที่ 1**

ความเข้มข้น(%v/v)	ค่าดัชนีหักเหของแสงของสารละลายนอกที่ 25 องศาเซลเซียส						ค่าเฉลี่ย
	1	2	3	4	5	6	
0	1.3331	1.3331	1.3332	1.3331	1.3331	1.3331	1.3331
10	1.3380	1.3379	1.3379	1.3379	1.3380	1.3379	1.3379
20	1.3436	1.3436	1.3432	1.3436	1.3436	1.3438	1.3436
30	1.3494	1.3496	1.3494	1.3492	1.3495	1.3494	1.3494
40	1.3546	1.3546	1.3544	1.3546	1.3547	1.3546	1.3546
50	1.3580	1.3582	1.3582	1.3581	1.3582	1.3582	1.3582
60	1.3609	1.3609	1.3611	1.3609	1.3609	1.3607	1.3609
70	1.3629	1.3629	1.3629	1.3630	1.3629	1.3629	1.3629
80	1.3637	1.3640	1.3637	1.3634	1.3639	1.3637	1.3637
90	1.3633	1.3634	1.3634	1.3633	1.3634	1.3634	1.3634
91	1.3632	1.3631	1.3632	1.3632	1.3631	1.3632	1.3632
92	1.3629	1.3629	1.3628	1.3629	1.3629	1.3630	1.3629
93	1.3626	1.3628	1.3626	1.3626	1.3624	1.3626	1.3626
94	1.3625	1.3623	1.3623	1.3623	1.3623	1.3621	1.3623
95	1.3621	1.3622	1.3621	1.3621	1.3622	1.3621	1.3621
96	1.3616	1.3616	1.3617	1.3617	1.3616	1.3616	1.3616
97	1.3616	1.3614	1.3615	1.3615	1.3615	1.3615	1.3615
98	1.3609	1.3610	1.3610	1.3609	1.3609	1.3609	1.3609
99	1.3606	1.3606	1.3606	1.3606	1.3606	1.3606	1.3606
100	1.3601	1.3601	1.3602	1.3601	1.3601	1.3601	1.3601

**ตารางผนวก ฉบับที่ 3 แสดงค่าดัชนีหักเหของแสงของสารละลายนอกความเข้มข้นต่างๆ ที่ 25 องศาเซลเซียส ในการทดลองครั้งที่ 2**

ความเข้มข้น(%v/v)	ค่าดัชนีหักเหของแสงของสารละลายนอกที่ 25 องศาเซลเซียส						ค่าเฉลี่ย
	1	2	3	4	5	6	
0	1.3331	1.3332	1.3331	1.3331	1.3331	1.3332	1.3331
10	1.3382	1.3382	1.3381	1.3381	1.3381	1.3381	1.3381
20	1.3439	1.3439	1.3439	1.3439	1.3438	1.3440	1.3439
30	1.3497	1.3497	1.3496	1.3496	1.3496	1.3496	1.3496
40	1.3545	1.3545	1.3544	1.3544	1.3545	1.3545	1.3545
50	1.3582	1.3582	1.3582	1.3583	1.3582	1.3581	1.3582
60	1.3607	1.3607	1.3608	1.3608	1.3608	1.3608	1.3608
70	1.3626	1.3626	1.3626	1.3626	1.3627	1.3626	1.3626
80	1.3635	1.3635	1.3635	1.3635	1.3635	1.3635	1.3635
90	1.3634	1.3634	1.3633	1.3633	1.3633	1.3633	1.3633
91	1.3631	1.3631	1.3630	1.3630	1.3631	1.3631	1.3631
92	1.3629	1.3629	1.3629	1.3628	1.3629	1.3630	1.3629
93	1.3626	1.3626	1.3626	1.3626	1.3627	1.3627	1.3626
94	1.3624	1.3624	1.3623	1.3623	1.3623	1.3623	1.3623
95	1.3621	1.3621	1.3623	1.3621	1.3621	1.3620	1.3621
96	1.3617	1.3617	1.3617	1.3617	1.3616	1.3616	1.3617
97	1.3613	1.3613	1.3613	1.3613	1.3613	1.3613	1.3613
98	1.3609	1.3609	1.3610	1.3610	1.3609	1.3609	1.3609
99	1.3606	1.3606	1.3605	1.3605	1.3605	1.3605	1.3605
100	1.3598	1.3600	1.3598	1.3598	1.3598	1.3598	1.3598



ภาพผนวกที่ ฉ2 ความสัมพันธ์ของค่าดัชนีหักเหของแสงกับความเข้มข้นของสารละลายเอทานอล  
ที่อุณหภูมิ 25 องศาเซลเซียส

#### ฉ6 สรุปผลการทดลอง

1. สามารถใช้กราฟความสัมพันธ์ระหว่างค่าดัชนีหักเหของแสงกับความเข้มข้นของสารละลายเอทานอลได้ในช่วงค่าดัชนีหักเหของแสงอยู่ระหว่าง 1.3331 ถึง 1.3590 หรือความเข้มข้นระหว่าง 0 ถึง 55 เปอร์เซ็นต์ซึ่งความสัมพันธ์จะยังคงเป็นความสัมพันธ์เชิงเส้น

2. ในช่วงความเข้มข้นของสารละลายเอทานอล 55 ถึง 100 เปอร์เซ็นต์ ความสัมพันธ์ระหว่างค่าดัชนีหักเหของแสงกับความเข้มข้นของสารละลายเอทานอลไม่เป็นเชิงเส้นซึ่งจะเป็นเส้นโค้งวกกลับทำให้ค่าดัชนีหักเหของแสงของสารละลายเอทานอลหนึ่งค่าจะสัมพันธ์กับค่าความเข้มข้นของสารละลายเอทานอลสองค่า ทำให้ไม่สามารถบ่งชี้ค่าที่แน่นอนได้

3. สำหรับในงานวิจัยการคุณซับไอน้ำจากไออกซ์โซเนตและน้ำของสารคุณซับโนเมกุลาร์ซีพ 3A เทียบกับวัสดุคุณซับจากห้องปฏิบัติในเครื่องคุณซับเบนนิ่งแบบเปลี่ยนความดัน จะทำการวิเคราะห์ความเข้มข้นของเอทานอลในช่วงความเข้มข้น 95.5 ถึง 99.5 เปอร์เซ็นต์ซึ่งอยู่ในช่วงความสัมพันธ์เชิงเส้น แต่ถึงอย่างไรก็ตามในช่วงนี้หากหักเหของสารละลายเอทานอลค่อนข้างหายากคืออยู่ในช่วง 1.3603 ถึง 1.3619 จึงยังไม่เหมาะสมที่จะนำมาใช้ในงานวิจัยครั้งนี้

## ภาคผนวก ช

### ข้อมูลทางด้านความปลอดภัยในการทำงานเกี่ยวกับอุตสาหกรรม

#### ช1 ข้อควรระวังทั่วไปจากอันตรายที่สามารถเกิดขึ้นได้

##### ช1.1 การเกิดไฟไหม้และการระเบิด

อุตสาหกรรมทั่วไปในสถานะของก๊าซและของเหลวสามารถติดไฟได้ จึงสามารถเป็นสาเหตุให้เกิดไฟไหม้หรือการระเบิดได้ถ้าองค์ประกอบของสารเชื้อเพลิง ออกซิเจน และประกายไฟหรือความร้อนอยู่ในสภาพที่เหมาะสม ดังนั้นจึงไม่ควรอนุญาตให้มีประกายไฟ เช่นการสูบบุหรี่ในบริเวณรอบๆ สารอุตสาหกรรม และยังควรจัดให้มีถังดับเพลิงอยู่ใกล้ๆ และตรวจสอบให้อยู่ในสภาพพร้อมใช้งานอยู่เสมอ

##### ช1.2 อาการผิดปกติเนื่องจากการสูดดมโดยอุตสาหกรรมเข้าไป

เมื่อมีการสูดดมโดยอุตสาหกรรมเข้าไปมากเกินไปจะทำให้เกิดอาการเวียนศีรษะ อาเจียน หรืออาจจะถึงกับทำให้หมดสติได้ ดังนั้นมือต้องทำงานในสภาพที่มีกลิ่นโดยอุตสาหกรรมทำในสถานที่ ๆ มีการระบายน้ำอากาศที่ดี และถ้าพบผู้ที่เกิดอาการเวียนศีรษะ อาเจียน หรือหมดสติในสภาพที่มีโดยอุตสาหกรรมควรรีบนำผู้ป่วยออกไปในสถานที่ที่มีอากาศบริสุทธิ์ ถ้าอาการไม่ดีขึ้นให้รีบนำไปพบแพทย์ต่อไป

#### ช2 MSDS(Material Safety Data Sheet)

##### ช2.1 คุณสมบัติทางฟิสิกส์

-จุดเดือดที่ความดันบรรยายกาศ:	79	° ซ
-จุดหลอมเหลวที่ความดันบรรยายกาศ:	-117	° ซ
-ความถ่วงจำเพาะในสถานะของเหลว ( $\text{น้ำ} = 1$ ):	0.8	
-ความสามารถในการละลายในน้ำ:	สามารถละลายน้ำได้	
-ความดันไอที่อุณหภูมิ $20^{\circ}\text{ซ}$ :	5.8	kPa

-ความถ่วงจำเพาะในสถานะก๊าซ (อากาศ = 1):	1.6
-สัดส่วนความถ่วงจำเพาะระหว่างไอของเอทานอลกับของผสมระหว่างอากาศกับเอทานอลอัตรา อุณหภูมิ $20^{\circ}\text{C}$ (อากาศ = 1):	1.03
-จุดวิป:	13 $^{\circ}\text{C}$
-อุณหภูมิจุดระเบิดอัตโนมัติ:	363 $^{\circ}\text{C}$
-Explosive limits, vol% in air:	3.3-19
-Octanol/water partition coefficient as log Pow:	-0.32
-ลักษณะปรากฏ:	เป็นของเหลวใสไม่มีสี

## ประวัติการศึกษาและการทำงาน

ชื่อ นายพงศ์นรินทร์ จำรักษ์

เกิดวันที่ 3 เดือนเมษายน พ.ศ. 2514

สถานที่เกิด อำเภอคำเนินสะดวก จังหวัดราชบุรี

ประวัติการศึกษา วศ.บ. (วิศวกรรมเคมี) มหาวิทยาลัยเทคโนโลยีพระจอมเกล้าธนบุรี  
(พ.ศ. 2538)

ประวัติการทำงาน วิศวกรฝ่ายผลิต โรงงานน้ำมันหล่อลื่นพื้นฐาน บริษัทอุตสาหกรรม-  
ปิโตรเคมิกัล ไทยจำกัด มหาชน จังหวัดระยอง

ทุนการศึกษาที่ได้รับ ทุนวิจัยโครงการอุดหนุนอุด ฝ่ายเทคโนโลยีชีวภาพ สถาบันวิจัย  
วิทยาศาสตร์และเทคโนโลยีแห่งประเทศไทย